UNIVERSIDADE DE SÃO PAULO FACULDADE, DE FILOSOFIA CIÊNCIAS E LETRAS

BOLETIM N.º 186

MINERALOGIA 13

INDICE

	Pg.
Coutinho, J. M. V. — Meta-conglomerado e rochas associadas no município de São Paulo	5
PICHLER, E. e SOUZA CAMPOS, J. E. — Apreciação geológica e petrográfica de algumas rochas básicas de Santos	57
Franco, R. R. — Contribuição ao conhecimento de estruturas migmatíticas no complexo brasileiro	81
CAMARGO, W. G. R. — Aplicações da trigonometria esferica em problemas da simetria cristalográfica	97
Franco, R. R. e Camargo, W. G. R. — Arsenopirita de Juca Vieira, Caeté, Minas Gerais, Brasil	107
Franco, R. R. — Sôbre uma rocha com escapolita de Acopiára, Estado do Ceará	111
COUTINHO, J. M. V. — Lantanita de Curitiba, Paraná	119



SÃO PAULO — BRASIL 1955 Os Boletins da Faculdade de Filosofia, Ciências e Letras da Universidade de São Paulo, são editades pelos Departamentos das suas diversas secções.

Toda correspondência deverá ser dirigida para o Departamento respectivo da Faculdade de Filosofia, Ciências e Letras - Caixa Postal 8.105, São Paulo. Brasil.

The "Boletins da Faculdade de Filosofia, Ciências e Letras da Universidade de São Paulo" are edited by the different Departments of the Faculty.

All correspondence should be addressed to the Department concerned, Caixa Postal 8.105, São Paulo, Brasil.

UNIVERSIDADE DE SÃO PAULO

Reitor: - Prof. Dr. Alipio Corrêa Netto

FACULDADE DE FILOSOFIA, CIÊNCIAS E LETRAS

Diretor: - Prof. Dr. Eurípedes Simões de Paula Secretário: - Lic. Odilon Nogueira de Mattos

DEPARTAMENTO DE MINERALOGIA E PETROGRAFIA

Diretor: - Prof. Dr. Reynaldo Ramos de Saldanha da Gama

Professor auxiliar: - Dr. Rui Ribeiro Franco

Assistentes: - Dr. William Gerson Rolim de Camargo Dr. José Moacyr Vianna Coutinho Lic. João Ernesto de Souza Campos

Auxiliar de ensino: - Sr. Antonio Moraes Rêgo

Estagiários

Lic. Francisco K. Takeda Lic. ndo Evaristo Ribeiro Filho Lic. ndo Plinio Soares Moreira

UNIVERSIDADE DE SÃO PAULO FACULDADE, DE FILOSOFIA CIÊNCIAS E LETRAS

BOLETIM N.º 186

MINERALOGIA 13

ÍNDICE

	Pg.
COUTINHO, J. M. V. — Meta-conglomerado e rochas associadas no município de São Paulo	5
PICHLER, E. e SOUZA CAMPOS, J. E. — Apreciação geológica e petrográfica de algumas rochas básicas de Santos	57
FRANCO, R. R. — Contribuição ao conhecimento de estruturas migmatíticas no complexo brasileiro	81
CAMARGO, W. G. R. — Aplicações da trigonometria esferica em problemas da simetria cristalográfica	97
Franco, R. R. e Camargo, W. G. R. — Arsenopirita de Juca Vieira, Caeté, Minas Gerais, Brasil	107
Franco, R. R. — Sôbre uma rocha com escapolita de Acopiára, Estado do Ceará	111
COUTINHO, J. M. V. — Lantanita de Curitiba, Paraná	119





SÃO PAULO — BRASIL 1955 SECÇÃO GRÁFICA da Faculdade de Filosofia, Ciências e Letras da Universidade de São Paulo, *imprimiu*

Faculdade de Filosofia Ciências e Letras Biblioteca Central

META-CONGLOMERADO E ROCHAS ASSOCIADAS NO MUNICÍPIO DE SÃO PAULO

José Moacyr Vianna Coutinho

(Departamento de Mineralogia e Petrografia, Universidade de São Paulo) e colaboração de

FRANCISCO K. TAKEDA

INDICE

I — INTRODUÇÃO II — GEOLOGIA DA REGIÃO	6. 7
III — PETROGRAFIA	
1 — Meta-conglomerado	
A — Descrição geral da rocha	9
B — Seixos graníticos	10
C — Seixos quartziticos	12
D — Outros seixos	14
E — Matriz	
a — Grosseira	15
b — Fina	16
F — Comparação com outros meta-conglomerados no Brasil	17
2 — Outras rochas metamórficas na série Açunquí	40
A — Meta-grauwackes e meta-arkósios	19
B — Quartzitos	21
C — Rochas pseudo-cornubianíticas	21
D — Filitos	$\frac{22}{23}$
E — Epidositos	23 24
F — Anfibolitos	$\frac{24}{27}$
3 — Granito Pirituba	41
A — Veios de quartzo	28
B — Pegmatitos e Aplitos	28
5 — Rochas de idade possivelmente pré-conglomerática	28
IV — INTERPRETAÇÃO E PETROLOGIA	2.0
•	0.0
1 — Gênese dos meta-sedimentos	29 31
2 — Gênese do epidosito	33
3 — Gênese dos anfibolitos	33
4 — Metamorfismo A — Regional	33
B — Local	,
5 — Tectônica	
6 — Següência de eventos e correlações	
V — SUMMARY	42
, sommitte	
VI — BIBLIOGRAFIA	46

I - INTRODUÇÃO

Em Março de 1953, o prof. Otávio Barbosa e o prof. Fernando de Almeida, viajando separadamente com intervalo de poucas horas pela atual via Anhanguera, rodovia que liga as cidades de São Paulo e Campinas, tiveram sua atenção despertada por matacões de rocha fresca deixados a descoberto em escavações realizadas recentemente à altura do km 18.

A mais ligeira inspeção revelou àqueles cientistas, um conglomerado polimictico deformado e metamorfizado; um meta-conglomerado em suma.

A importância do achado não necessita ser aqui ressaltada, bastando dizer que se trata de um dos primeiros conglomerados polimícticos metamorfizados encontrados entre as rochas pré-devonianas brasileiras. Sua importância cresce, se se tratar, como algumas evidências indicam, de um conglomerado basal. Por outro lado, é o conglomerado por sua própria natureza uma das rochas que melhor se prestam ao estudo das causas, processos e maneiras de deformação tectônica que eventualmente o tenham afetado bem como às rochas que porventura se lhe associarem.

O prof. Leinz, após tomar conhecimento da ocorrência e inspecioná-la em diversas visitas, acreditou tratar-se de material digno de um estudo mais detido e sugeriu-nos o assunto. Realizamos então algumas excursões com o fim de determinar não só as direções estruturais, espessura e outras feições daquela rocha, como também as relações de campo com as rochas associadas. Surgiram dai outros problemas, que, por intimamente ligados com as interrogações petrológicas referentes ao conglomerado, serão também abordados. Tal é o caso da natureza e origem dos meta-grauwackes, meta-arkosios, quartzitos, filitos e outros xistos, e ainda o problema dos anfibolitos e granitos presentes na região.

Obtiveram-se alguns dados tectônicos que sugerem algumas poucas conclusões sôbre a situação espacial do meta-conglomerado e rochas associadas, do ponto de vista estritamente dinâmico. Muitas outras evidências podem ainda ser obtidas e relacionadas estatisticamente, ainda

no setor da tectônica macro e microscópica (petrofabric). Entretanto, nós as reservamos para um futuro trabalho mais especializado, e por isso mesmo, demandando mais tempo que o tomado pelo estudo que ora nos propomos a fazer.

O mapa incluso representa a segunda tentativa de mapeamento geológico da região. Evidentemente é mais exato que o trecho correspondente na folha da antiga Comissão Geográfica e Geológica 1:100.000, mas ainda assim não passa de um esbôço, já que foi elaborado depois de apenas algumas poucas excursões ao campo, efetuadas com o intuito, mais de esclarecer alguns pontos duvidosos do que pròpriamente de mapear em detalhe. Assim, observa-se que foram colhidos dados principalmente ao longo de estradas; via Anhanguera, picada ligando esta à estação de Taipas, Estrada de Ferro Santos-Jundiaí, caminho de subida do morro do Jaraguá e leito da Estrada de Ferro Santos-Jundiaí ,até o limite visível no mapa. Como se pode prever, os contornos rochosos e certas linhas de falha são apenas deduções obtidas à luz de um conjunto de evidências petrográficas, geológicas e geomorfológicas. Entretanto, para os fins em mira, o mapa servirá como base de trabalho que reputamos relativamente seguro.

Registramos aqui nossos agradecimentos aos técnicos pela eficiência e rapidez com que fabricaram as lâminas necessárias, ao prof. Sérgio Amaral pela revisão e sugestões que fêz a êste trabalho, ao prof. Rui Ribeiro Franco, diretor dêste Departamento pelos mesmos motivos e ainda pelo apôio e facilidades que nos concedeu. Desejamos agradecer especialmente ao prof. Viktor Leinz diretor do Departamento de Geologia desta Faculdade, que como mestre e amigo jamais hesitou em prestar a ajuda valiosa de sua critica.

II — GEOLOGIA DA REGIÃO

O meta-conglomerado que aflora à altura do km 18 da via Anhanguera parece integrar-se em espessa formação meta-sedimentar, que aflora (mapa) principalmente ao sul do Estado de São Paulo como uma faixa rumo NE-SW penetrando o Estado do Paraná. É a chamada série Açunguí, tratada por alguns autores em São Paulo, como série São Roque.

As características petrográficas gerais da série Açunguí já foram evidenciadas por diversos autores (21, 23). Em resumo ela é formada por

antigos sedimentos que produziram por metamorfismo epi e mesozonal, filitos, calcários metamórficos e quartzitos, principalmente. A maior área de exposição está situada no Paraná e sul do Estado de São Paulo, mas, segundo a Carta Geológica do Estado de São Paulo(IGG, 1947), ela ainda aflora continuamente rumo NE em uma língua limitada ao norte por sedimentos gondwânicos e ao sul por batolitos graníticos. À altura das raizes da Mantiqueira, já perto do Estado de Minas Gerais, nada se sabe com certeza sôbre a existência e relações geológicas daquela série.

Na zona ao norte da cidade de São Paulo, na área do rio Tietê (21) a série Açunguí pode ser reconhecida numa distância de 30 km. entre Jundiaí e São Paulo, constituindo aí as serras do Japí, Cristais, Botujurú e Juquerí numa cadeia de serras paralelas ao norte da serra da Cantareira.

Na região representada pelo mapa a série mostra meta-conglomerados, xistos quartzo-feldspaticos (meta-grauwackes e meta-arkosios), quartzitos e raros filitos. Mais ao norte porém, dominam os tipos mais finos de meta-sedimento clástico (filitos) e também, calcários.

A impressão pois, é a de uma sequência estratigrafica normal, com conglomerados na base e calcários no topo.

Intercalados nestas rochas, encontramos anfibolitos em afloramentos normalmente restritos. Entretanto foi delineado um volumoso corpo anfibolítico a NE da região em mapa.

A sudeste aflora o granito porfiroide tipo Pirituba, que neste local mostra contactos discordantes com a xistosidade das encaixantes. Trata-se de um estreito prolongamento do batolito da Cantareira. A via Anhanguera corta-o perpendicularmente numa extensão não superior a 1500 metros.

Um certo número de aplitos, pegmatitos e veios de quartzo cortam as rochas metamórficas ao norte da borda batolítica. Não nos preocupamos em faze-los representar no mapa, já por formarem diques e veios muito finos, e por isso em escala incompatível, já porque suas atitudes não foram estudadas estatisticamente.

Ainda afloram na zona abrangida pelo mapa, xistos que, por razões que analisaremos adiante, preferimos diferenciar da seqüência que tem por base o meta-conglomerado. Afloram a NE (Taipas) e SE da região abrangida pelo mapa. Como se pode verificar nos cortes da via Anhanguera entre a borda sul do batolito granítico e o bairro do Alto

da Lapa ,são estes os xistos que formam principalmente o embasamento fossilizado dos depósitos da bacia de São Paulo.

III — PETROGRAFIA

1 — Meta-conglomerado

A - Descrição geral da rocha

Esta rocha apresenta-se fresca em três locais nas proximidades dos contactos com o batolito granítico. Em outros pontos na região, ela só foi diagnosticada porque o solo proveniente de sua alteração ainda mostrava fàcilmente perceptível, a estrutura da rocha original.

O meta-conglomerado é normalmente rico de seixos de tamanho e forma variável. Entretanto não observamos nenhum seixo medindo mais que 50 cms, sendo mais comuns os de dimensões entre um e dez centímetros. A forma elipsoídica é a dominante. O tectonismo posterior à sedimentação os deformou em certo grau, mas o arredondamento original ainda é perfeitamente reconstruível e visível, (fotos n.ºs 3 e 4) apesar das saliências afiladas formando vértices agudos em alguns seixos nas junções das camadas da matriz e apesar também, da tendência observada em outros seixos, de se alargarem na parte mediana, assumindo formas retangulares em secção.

Nos afloramentos observados, os seixos ou dominam ou equivalem à matriz, em proporção volumétrica. Há porém uma gradação de tipos intermediários entre ruditos e arenitos. São exemplos disto alguns tipos de meta-conglomerado com seixos meudos e numerosos, meta-arkosics com alguns seixos esparsos, etc.

A descrição abaixo se refere apenas aos afloramentos de meta-conglomerado fresco encontrados ao lado da via Anhanguera e junto ao contacto com o granito (fotos n.ºs. 1 e 2).

Macroscopicamente é uma rocha acinzentada, constituida por seixos e matriz, ora granular grosseira, ora xistosa fina. O maior diametro nos seixos fica entre 1 e 20 cm excepcionalmente até 50 cm (foto n.º 1). Pode-se dizer de modo geral, que o volume ocupado pelos seixos é equivalente ao ocupado pela matriz embora não se tenha feito uma medida rigorosa neste sentido. Alguns seixos se tangenciam podendo até mesmo

haver uma certa penetração de uns em outros, em zonas onde a deformação se mostra acentuada (foto n.º 3). A xistosidade mergulha fortemente e os seixos alongados, dispõem-se com seus eixos máximos e médios na plano de xistosidade, e o mínimo, na direção normal. Os eixos que correspondem à direção de major alongamento (direção b tectônica), são mais ou menos paralelos entre si e aproximadamente coincidentes com a direção de mergulho da xistosidade da matriz. Os alongamentos observados variam com a natureza dos seixos: 1:3 em granitos e 1:5 em quartzitos, em média (foto 5 e 6). A lineação, que por vezes é forte na matriz, (devido a micro-dobras, prismas ou linhas de agregados biotíticos etc.) coincide com a maioria dos maiores nos seixos. Dêste modo, evidencia-se fortemente, um característico aspecto de orientação preferencial na rocha. Alguns seixos fogem porém à regra geral, tendo-se observado vários deles com seus eixos maiores a ângulo forte ou até normal à xistosidade da matriz. Mehnert (18) observa também o mesmo fenômeno em meta-conglomerados da Alemanha sem encontrar uma explicação.

Os seixos podem ser agrupados litològicamente em 3 categorias;

% numérica

Seixos graníticos 80
Quartzitos 20
Diversos mínima

B — Seixos graníticos

Sob esta denominação agrupamos seixos de rochas quartzo-felds-paticas de granulação media a groseira. Só se observa com precisão atualmente, a composição mineralógica, talvez um pouco modificada. A cataclase que deformou os seixos, obscureceu grande parte das texturas e estruturas originais mais delicadas. Entretanto, pelo exame da composição mineralógica de relíquias não milonitizadas nos seixos, parece que grande parte dêstes representam realmente antigos granitos a microclínio, equigranulares e normais. Uma pequena proporção dos seixos, mais ácidos e de granulação mais grosseira, representariam possívelmente rochas pegmatíticas antigas. Alguns seixos ainda, mostram uma orientação mineral mais acentuada e por vezes discordante da xistosidade da matriz. O aspecto gnaissico dêstes seixos é mais evidente macroscòpicamente. Ao microscópio, a cataclase intensa não nos permite identificar com

certeza uma textura gnaissica original. Acreditamos que existam realmente representantes de granito-gnais e gnaisses graniticos antigos, mas na ausência de um trabalho microtectônico minucioso que possa separar gnaissificação antiga de cataclase mais moderna, preferimos ficar com a suposição apenas.

Não foram encontrados representantes dos chamados granitos Pirituba (porfiroides) entre os seixos. Na verdade, alguns deles mostram cristais grandes de microclínio em textura aparentemente gnaissica. Todavia, a porcentagem daqueles "fenocristais" é tão grande, (mais de 60%), que não podemos identificá-los com os conhecidos granitos do tipo Pirituba, onde a porcentagem de fenocristais é variável entre 5-30%. Aqueles seixos parecem mais tipos de gnaisses porfiroblasticos muito comuns nos terrenos supostos mais antigos da serra do Mar.

Microscòpicamente notamos nos seixos graníticos uma tendência acentuada para uma composição mineralógica constante; quartzo, microclínio, plagioclásio sódico, biotita, muscovita, epidoto, titanita, zirconita, apatita, em proporções diferentes conforme o seixo. Não identificamos clorita nas lâminas estudadas.

A tabela abaixo representa a porcentagem volumétrica aproximada dos minerais de um típico seixo de granito, um dos que são aparentemente os mais comuns no meta-conglomerado:

	%
Quartzo	24
Microclínio	24
Plagioclásio anti-pertítico	20
Pertita e agregados granulares	15
Biotita	8
Muscovita	7
Epidoto	2
Magnetita	pr.

Em nenhum dos seixos encontramos hornblenda, piroxenios e plagioclásios mais básicos que An15%. Dos minerais mencionados, parte do quartzo e provàvelmente quase tôda a muscovita e epidoto são de origem secundária, os dois últimos com certeza formados pelo desdobramento da molécula de plagioclásio.

Os efeitos cataclásticos são evidentes em qualquer rocha granítica de seixo. Parece-nos que quanto menor a riquesa de mica original, tanto mais intensamente teria atuado o processo (18). Em um seixo sialico quase exclusivamente quartzo-feldspatico (pegmatitico?) observou-se o grau mais intenso de fraturamento, granulação e deformação, levando a rocha a um autêntico milonito. Nos seixos graníticos observados. grande parte do plagioclásio mostra sempre uma curiosa estrutura. Na verdade trata-se de verdadeiros pseudomorfos formados pelo intercrescimento granular microscópico de plagioclasio (original?) + feldspato potássico, êste sem dúvida posterior. A geminação antiga do plagioclásio ainda pode ser vagamente advinhada aqui e ali. Em resumo, é uma pertita metasomática. Outras vezes os grãos de plagioclásio se associam a feldspato potássico e quartzo em uma farinha ou agregado obscurecido por grande quantidade de epidoto e micas secundárias. Ainda aqui parecenos que o plagioclásio é o esqueleto primário. O feldspato potássico e quartzo substituem parte do plagioclásio. Tem-se a impressão de que a rocha sofreu uma embebição de líquidos silico-potássicos que cristalizaram quartzo e feldspato potássico principalmente nas zonas mais granuladas (milonitizadas). Mas a granulação extremamente fina dos agregados não nos permite tirar conclusões sôbre as relacões mutuas.

Em resumo, temos como em muitos outros seixos examinados, uma composição mineralógica atual, diferente da original. Pode-se perceber claramente que a porcentagem de plagioclásios teria sido maior que a atual tendo havido enriquecimento de quartzo e feldspato potássico por fenômenos metassomáticos posteriores à deformação que milonitizou parcialmente os seixos. Muscovita e epidoto que abundam nestes seixos são co-produtos dêstes processos de destruição de feldspatos.

No caso do granito da tabela anterior, teriamos 35% de plagicclásio original se considerarmos que os agregados feldspaticos representam cristais antigos de plagioclásio. Isto é, teriamos uma rocha com mais plagioclásio que feldspato potássico, portanto, um granodiorito. Entretanto, se calcularmos a composição química pela sua composição mineralógica atual, vamos encontrar ao redor de 7-8% de K_2O

C — Seixos quartziticos

Quartzitos formam cêrca de 20% dos seixos no meta-conglomerado. São fàcilmente destacáveis no solo residual, pois formam o único tipo de seixos que se conservam pràticamente inalterados através do intemperismo da rocha. Pudemos assim observar a forma externa de muitos, (fotos 5 e 6). Sugerem frequentemente a forma de fusos ou elipsoides muito alongados. O eixo tectônico b aqui*, é sempre muito mais alongado que a e c (a pouco maior que c) ao contrário do que ocorre com os seixos graníticos onde b não costuma ser muito maior que a. Pode-se pensar que nos seixos quartzitícos essa forma seja aproximadamente original não tendo sido pràticamente afetada pelo tectonismo posterior. Realmente, dois sistemas preferenciais de diaclassamento na rocha antiga, tenderiam a separar fragmentos alongados que posteriormente seriam trabalhados durante o transporte. A textura microscópica atual nestes quarteitos é equigranular com cristais limpidos suturados nas bordas. Não mostra pois sinais de deformação cataclástica ao contrário do que se observa nos seixos graníticos.

Entretanto observa-se na superfície de muitos seixos quartziticos retirados da rocha, acentuados sulcos e estrias paralelas ao eixo de elongação maior, demonstrando que o seixo quando já integrado no conglomerado sofreu algum tipo de fricção ou mesmo transporte tectônico paralelo à atual lineação da rocha. Ainda mais, os índices de alongamento em seixos de quartzito podem por vezes atingir valores entre 1:10 e 1:20. Embora raros, êstes valores demonstraram que a elongação exagerada de pelo menos parte dos seixos não deve ser original pois é difícii admitir transporte de seixos tão alongados (9). Assim, acreditamos que longe de representarem rochas resistentes, os quartzitos são, dos seixos que formam o conglomerado, as rochas mais sensíveis aos esfôrços deformacionais. É fato comprovado que o quartzo é um dos minerais mais facilmente modificáveis tectonicamente, apresentando constantemente orientação preferencial por mecanismos ainda não bem esclarecidos. (28).

O fato de a microestrutura atual não mostrar qualquer indicio de cataclase indica apenas que o quartzo pode se mobilizar com facilidade (11) respondendo prontamente por recristalização aos fatores de metamorfismo reinantes nos ambientes relativamente profundos, e principalmente, junto a contactos com intrusivas como é o caso em considera-

^{*} A notação aqui usada é provisória. É aplicável apenas durante a amostragem no campo. Em relação à a e b, suas posições tectônicas vedardeiras só paderão ser confirmadas após análise petrofabrica (28). Assim;

a = direção perpendicular a b no plano da xistosidade
 b = lineação ou alongamento de seixos no plano da xistosidade

u = direção perpendicular a a e b, portanto perpendicular à xistosidade.

ção. Além do mais á provavel granulação original muito fina nestas rochas, favoreceria bastante a reconstituição metamorfica da rocha.

É a seguinte a composição mineralogica de um seixo de quartzito tomado como exemplo;

	%
Quartzo	84
Microclínio	10
Muscovita	3
Biotita	2
Apatita	0,5
Plagioclásio alterado	0,5

D — Outros tipos de seixos

Epidosito — Um pequeno seixo de uma rocha contendo quartzo, epidoto e biotita foi identificado no coglomerado. Quartzo e epidoto são os minerais mais comuns em textura micro-granoblástica ao passo que a biotida cresce poikiloblásticamente em cristais maiores. A constituição petrografica deste seixo mostra uma rocha que tanto pode ser interpretada como um produto de antigo sedimento como também de veios quartzo-epidoticos, os ultimos encontrados vulgarmente cortando rochas cristalinas antigas. Todavia a presença de biotita nesta associação não tem sido assinalada em veios daquele tipo. Há pois, possibilidades de se tratar de rocha metamórfica de composição original próxima a uma marga silicosa.

Micaxisto — Algumas cavidades negativas de seixos intemperisados mostravam restos de material micáceo extremamente alterado. Entretanto, seixos de micaxisto em afloramentos frescos de meta-conglomerado, ainda não foram confirmados.

Quartzo — Pequenos seixos de quartzo de poucos milimetros até um ou dois centimetros estão também presentes especialmente nos horizontes onde o meta-conglomerado passa a uma rocha mais rica de matriz e isenta de seixos grosseiros. Algumas vezes este quartzo é leitoso. Outras vezes, de coloração nitidamente azulada.

Feldspato — Seixos de feldspato também podem ser reconhecidos nos mesmos tipos de ocorrência do anterior. Sua origem clástica se evidencia perfeitamente pelo exame de seus contornos.

E - Matriz

A matriz do conglomerado pode assumir aspectos variados mesmo em uma mesma amostra. Distinguiremos dois tipos principais;

a — Matriz grosseira

Fracamente xistosa, rica em elementos clasticos grosseiros; quartzo e feldspatos que podem atingir até 1 mm. Ao contrário dos seixos maiores, esses grãos não são arredondados mostrando arestas vivas como se tivessem sido quebrados recentemente. Esta parte da rocha pode ser mesmo interpretada como milonito, pois é admissivel que o fator dinamico durante o metamorfismo regional tenha milonitizado mais intensamente pequenos seixos e grãos milimetricos e incorporado o material resultante à matriz mais fina. (Aliás, seixos conservando ainda superfícies arredondadas e polidas só encontramos de diametros centimetricos para cima). As composições mineralogicas de duas laminas deste tipo de matriz, (fotomicro n.º4) abaixo transcritas, representam variações porcentuais observadas;

		%	
		1a.	2a.
E	Quartzo	33	43
Filosoffa Letras Central	Microlinio	21	6
Faceldade de Filosoft Ciências e Letras Biblioteca Central	Plagioclasio anti-pertitico	15	11
le d	Muscovita	16	8
culdade Ciências Iblietec	Biotita	8	17
aculdade d Ciências Biblieteca	Epidoto	5,5	15
<u>m</u>	Magnetita	0,5	0,5
	A patita	pr.	pr.
	Calcita, zirconita	pr.	_

É importante frisar aquí a riqueza de epidoto, característico da zona de matriz grosseira. Sem duvida alguma, provêm ele da alteração de plagioclásio sob condições de metamorfismo dinâmico. Os plagioclásios que ainda subsistem estão, como nos seixos de granito, intimamente intercrescidos (anti-pertita) ou substituidos por feldspato potássico. Parte dos grãos maiores de quartzo e feldspato, embora possivelmente alterados ou parcialmente recristalizados ainda possuem formas externas reliquiares, sugerindo a sua natureza clastica (ou clasto-cataclástica). Por outro lado, pelo menos grande parte das micas e epidotos são produtos de mineralização sob condições de metamorfismo, e sob este aspecto devem ser considerados como secundários.

b - Matriz fina

Intercalam-se no meio da matriz grosseira, faixas, lentes ou zonas sinuosas e irregulares de material mais fino muito rica de mica isc-orientada dando ao meta-conglomerado o seu aspecto geral de relativa xistosidade. Petrograficamente é comparavel a muscovita-xisto. Macroscopicamente evidencia, além de acentuada xistosidade, forte lineação devida a linhas de agregados biotíticos. Microscópicamente mostra a seguinte composição mineralógica;

Microclínio 20 Muscovita 3 Biotita 1: Epidoto pr Titanita pr Zirconita pr		%
Muscovita 3' Biotita 1: Epidoto pr Titanita pr Zirconita pr	Quartzo	30
Biotita 1: Epidoto pi Titanita pi Zirconita pi	Microclínio	20
Epidoto pi Titanita pi Zirconita pi	Muscovita	37
Titanita pi Zirconita pi	Biotita	13
Zirconita	Epidoto	pr.
	Titanita	pr.
Magnetita pr	Zirconita	pr.
	Magnetita	pr.

A ausência quase completa de epidoto sugere um fato importante; a provavel ausência de plagioclásios clásticos originais. Por outro lado, todos os minerais são de cristalização metamórfica, inclusive os abundantes feldspatos potássicos e quartzo. O primeiro, microclínio, forma franjas reniformes envolvendo concentrações de muscovita. (fotomicrografia. 1). O quartzo preenche espaços estrelares e mostra-se tipicamente mobilizado e recristalizado. A biotita em regulares e definidos agregados compridos e fusiformes. e a muscovita não evidenciam esfarrapamentos e torções, indicando assim, ambiente de cristalização post-tectônica.

A ausência de minerais clásticos reliquiares nestes leitos (em uma rocha onde em outras partes são abundantes as evidências contrarias), apontam para uma unica conclusão; a matriz xisto-micácea fina representa zonas originalmente argilosas. Dada a grande superficie de reação de cada partícula constituinte, foi nestas zonas que tomaram maior importância os fenomenos de neo-mineralização e recristalização metamórfica. Desenvolveu-se grande quantidade de mica (50 % do volume total), especialmente muscovita, à custa da qual começou a formar-se posteriormente o feldspato potássico, êste, devido às elevações do gradiente termal nas vizinhanças do batolito granítico. Nestas regiões podemos caracterizar a rocha como um verdadeiro conglomerado-gnais.

F — Comparação com outros meta-conglomerados no Brasil

O meta-conglomerado é uma rocha raramente descrita entre os sedimentos pré-devonianos metamórficos brasileiros.

O conglomerado-gnais do rio Guanhães (2) contém seixos de uma só especie e pertence a uma série inferior à série Minas de mais alto grau de metamorfismo.

Gardner (em Hartt; 12) há mais de meio século chamava a atenção para um conglomerado-gnais de Arrais, Goiás, e, descrevendo a estrutura da serra em que se localiza a cidade diz que as rochas são todas metamorficas e quase verticais, a inclinação tendendo para leste. "Destas rochas, a mais ocidental tem uma estrutura arenosa xistosa que cobre uma rocha estratificada muito compacta de cor acinzentada assemelhando-se muito a gnais, na qual estão incrustados inumeraveis seixos arredondados de granito e quartzo de todos os tamanhos de uma a três ou quatro polegadas". Evans no entanto, observa que embora Gardner acentue a semelhança com gnais, tais rochas devem ser consideradas ardósias conglomeraticas (8). Verifica-se entretanto uma certa concordância litologica com os meta-conglomerados de São Paulo. Quanto à posição estratigrafica, pouco se sabe sôbre as rochas de Goiás. Evans compara-as com as por ele encontradas a NW de Cuiabá, que apenas considera pré-devonianas.

As ardósias de Cuiabá segundo o autor frequentemente contêm seixos de rochas mais velhas, de diametros até 8 polegadas ou mais. A noroeste de Cuiabá encontrou na rocha conglomeratica seixos grani-

toides com "shearfoliation" já desenvolvida antes de incluidos na matriz presente. Alguns seixos parecem derivar-se de rochas clásticas e alguns podem ser fragmentos de rocha tipo lava bastante compacta. Os seixos são algumas vezes isolados outras vezes grande número deles se ajuntam mas cada um é envolvido na matriz ardosiana de grã fina, os planos divisionais da qual se abrem e envolvem os seixos. Em exposições no canal do rio Jangada, a ardosia contem fragmentos abundantes dêstes materiais perfazendo metade do volume da rocha.

Os conglomerados das formações Sopa e Macaubas, descritas por diversos autores há muito tempo (23) ambas na série Lavras de Minas Gerais, são também atribuidos ao pré-devoniano mas superiores à serie Minas. Aquelas rochas, pelo que pudemos dedusir das descrições apresentam uma petrografia, tectônica e grau de metamorfismo (ausente ou fraco) bastante diferentes do meta-conglomerado descrito neste trabalho. Não nos deteremos portanto em sua análise.

Othon Leonardos (15) descreveu em Pedra do Sino, Minas Gerais, um rudito metamorfisado que incluiu na formação Carandaí assentando diretamente sobre os gnaisses da Mantiqueira. Entretanto o aspecto da rocha é de um verdadeiro tilito, mostrando variedade petrográfica nos fragmentos e blocos semi-angulosos de dimensões muito variadas.

A nosso ver, as rochas que apresentam maior número de pentos de contacto com as aqui descritas, são os conglomerados encontrados por Leonardos em Iporanga, São Paulo (17), que o mesmo autor (16) inclue numa série superior à serie Acunguí. Barbosa (3) entretanto, considera êstes e outros conglomerados ocorrentes no Paraná, como simples intercalações na série Açunguí, ou, no maximo contituindo uma formação superior na mesma série. Segundo Leonardos, aqueles conglomerados se associam a arkósios, quartzitos, arenitos grafitosos e filitos assetinados. Das descrições feitas por Leonardos, Barbosa, Knecht e Felicíssimo (14) destas rochas, ressaltam os sequintes dados petrográficos; a) os seixos mais comuns são formados por rochas resistentes; granitos, gnaisses, quartzo e quartzitos; b) cimento sericitico quartzoso ou quartzo-feldspatico (arkosiano); c) seixos deformados e alongados no plano da xistosidade. Estriação tectônica. Não obstante, é possível quase sempre estabelescer-se um razoavel grau de arredondamento. original.

Como vemos, muitos dêstes característicos são comuns aos meta-conglomerados de São Paulo. O problema da correlação estratigráfica será analisado mais adiante.

2 — Outras rochas metamorficas na série Açunguí

Aquí serão tratadas apenas as rochas (meta-sedimentares ou não), incluidas na sequência sedimentar que têm por base o meta-conglomerado.

A — Meta-grauwackes e meta-arkosios

Afloram imediatamente ao norte do horizonte conglomeratico mais espesso e se intercalam com camadas finas de meta-conglomerado normal ou de seixos miúdos, e com alguns horizontes filíticos e de quartzitos puros (do tipo que aflora no morro do Jaraguá). São ainda intercalados com pequenos corpos de anfibolitos e epidositos.

Meta-grauwackes e meta-arkosios apresentam-se em uma variedade de tipos; claros ou escuros, mais xistosos ou mais maciços, compactos ou friaveis, e mostram uma variação mineralógica cuja significação nos escapa. A análise mineralógica de quatro exemplares deu os seguintes resultados:

	1	2	3	4
Quartzo	35	40	55	35
Microclínio	pr?	2		20
Plagioclásio	25	20		15
Muscovita	25	25	40	25
Biotita	10	10	pr?	pr
Apatita	2	pr	_	1
Titanita	_			pr
Zirconita	pr	pr	pr	pr
Magnetita	3	3	3	4
Turmalina	pr	pr	pr	_

A rocha é totalmente recristalizada mas a textura blasto-psamítica ainda é muito evidente. Os grãos de até 1mm de quartzo, feldspato ou mesmo de rochas antigas, ainda mostram contornos não muito modificados, atestando claramente sua origem clástica original. Este caráter detrítico original no entanto é percebido sòmente pelo exame das formas dos grãos pois é evidente que houve uma recristalização dos componentes nos grãos. O quartzo mostra-se limpido e suturado. Os feldspatos também limpidos. O plagioclásio que ocorre é a albita quase pura, incolor raramente mostrando clivagem e quando geminada (nem sempre) mostra distintas e regulares traves. Até mesmo as antigas e finas impurezas de alteração mostram-se agora com inclusões recristalizadas e perfeitamente definidas (muscovita, epidoto). Examinados em secção delgada e com maior aumento os minerais clásticos reliquiares mostram nas suas bordas interpenetração com os minerais da matriz, atestando mais uma vez a existência de recristalização.

Das rochas estudadas, 1 e 2 como se vê são praticamente indenticas. Mascroscopicamente distinguem-se apenas pela côr e grau de compactacidade; 1 mais escura e compacta. Aliás esta rocha tem sido trabalhada em uma grande pedreira ao lado da via Anhanguera à altura do km 22, e extraída como pedra britada. Classificamos as rochas 1 e 2 como metagrauwackes dada a riquesa em plagioclásio e biotita. Feldspato potassico muito raro. Nestas rochas, quartzo e plagioclásio (An 6%) são os únicos componentes em grãos clásticos reliquiares. Biotita e muscovita formam os minerais preponderantes na matriz intersticial, relativamente xistosa. Os grãos clásticos recritalizados mostram o mesmo tipo de alongamento deformacional descrito para os seixos nos conglomerados. (fotomicrografia. 3).

Outro tipo de meta-psamito bastante comum na região é o de composição exemplificada pela rocha n.º 4. Essa rocha apresenta todas as peculiaridades texturais das anteriores mas mineralógicamente se distingue pela presença de feldspato potássico (microclínio) ao lado de quartzo e plagioclásio albita em grãos clásticos deformados e recristalizados. A mica presente na matriz xistosa é praticamente de uma especie só. Parece tratar-se de muscovita embora apresente a extranha peculiaridade de um nítido embora fraco pleocroismo em tom verde claro.

A rocha exemplificada em 3 é um tipo de meta-psamito extremamente diferenciado quanto à composição mineralógica dos componentes clasticos grosseiros, onde só pudemos identificar o quartzo. A matriz, originalmente argilosa é quase inteiramente formada por muscovita. Acreditamos ser um tipo de rocha relativamente rara na região.

B - Quartzitos

Afloram principalmente no pico do Jaraguá e imediações, Fazem parte da sequência sedimentar em consideração, em jazimentos lenticulares de contornos perfeitamente visiveis em afloramentos de pequena extensão. Não nos deteremos na petrografia dessas rochas. Apenas diremos que podem ser identificados diversos tipos; cinza compacto, branco friavel grosseiro, fino etc, todos caracterizados por extrema riqueza de quartzo (± 90%) quase sempre em textura granular suturada.

Grande número de veios de quartzo se associam a estas rochas, tornando por vezes difícil diferenciar uns de outros. A origem sedimentar dos quartzitos só pode ser deduzida pela associação de campo pois ocorrem intercalados nos meta-sedimentos quartzo-feldspaticos aos quais passam de maneira brusca.

C — Rochas pseudo-cornubianiticas

Intercalados nos xistos regionais, jazem alguns leitos de rocha cinza fina e extremamente dura. Ao microscópio revelam-se ricas em micas sendo a biotita de côr pardo avermelhada um tanto diferente das esverdeadas dos outros meta-sedimentos. Quartzo, microclínio e albita, também são abundantes e parte deles ainda se mostram com contornos denunciando claramente sua origem clástica, como nos meta-grauwackes grosseiros. Uma xistosidade pouco pronunciada pode ser verificada ao microscópio. Dificilmente em amostra. Alguns leitos mais claros são bastante mais ricos em muscovita bem como em minerais pesados. Embora preservando parte da estrutura clastica reliquiar, a rocha está inteiramente recristalizada. Este fato, aliado à sua alta compactacidade, composição mineralógica e granulação, poderia levar o investigador a classificá-la como cornubianito. Entretanto a textura intima de cornubianitos costuma ser bem diferente (11) e além disso (com uma exceção duvidosa) não se verificaram nas vizinhanças destas rochas, qualquer tipo de intrusiva. Não se trata certamente de rocha típica de metamorfismo de contacto.

Poderiamos talvez considerá-la um milonito recristalizado (blastomilonito) embora faltem aqui as texturas características de movimentação tectônica localizada, principalmente a textura fluidal de escorregamento e minerais em lentes e linhas envolvidos por matriz orientada e sinuosa. Parece-nos mais razoável interpretar tal rocha como um simples meta-sedimento grauwackico ou arkosiano de granulação original mais fina e portanto suscetível de mais drástica e intensa recristalização durante o metamorfismo regional. Daí o grau de compactação incomum que apresenta.

A composição mineralógica de duas amostras de tais rochas é a seguinte;

		%
	1	2
Quartzo	25	30
Microclínio	12	15
Plagioclásio	10	10
Muscovita	20	
Biotita	30	35
Apatita	pr.	1
Titanita	1	pr.
Zirconita	1	pr.
Magnetita	?	pr.
Turmalina	1	pr.
Calcita	_	4
Não identificado	pr.	pr.

D - Filitos

Este tipo de rocha é raro na área estudada. Sabemos entretanto que se torna comum mais para o norte. Foi verificado em afloramento relativamente fresco apenas em um corte da via Anhanguera em individualizações pouco espessas intercaladas em meta-arkosios e meta-conglomerado a seixos miúdos.

A rocha tem côr cinza claro, e mostra estrutura xistosa fina com frequentes microdobras. (fotomicrografia n.º 5). Composição mineralógica:

	%
Quartzo	20
Microclínio	pr.
Muscovita	65
Biotita	1
Titanita	pr.
Zirconita	5
Magnetita	4
Turmalina	10

O quartzo é microgranular, associado intimamente à muscovita ou individualizado em lenticulas diminutas. A muscovita entretanto é o constituinte mais abundante, dando por sua orientação morfologica preferencial, o carater xistoso à rocha. Biotita verde (e não clorita!) está também presente, bem como feldspato potássico, provavelmente detrítico, ambos em quantidades mínimas. Já a turmalina (dicroica; n_e= rosa claro, n_o= verde garrafa escuro) é excepcionalmente abundante, em prismas paralelos à xistosidade da rocha. Este mineral é tão comum que se torna problemático pensar em antigos grãos clásticos recristalizados. A menos que tenha havido perda de outros elementos na rocha, o conteúdo original de B₂O₃ no sedimento teria sido de, no mínimo; 1 %, porcentagem alta demais mesmo para rocha argilosa. É mais lógico pensar-se em uma contribuição magmática por pneumatólise, tendo o boro provindo de camara magmática distante ou pegmatitos e aplites próximos.

E - Epidosito

Ocorrência isolada. até agora observada unicamente em um corte da via Anhanguera. Pelo pouco que pudemos observar no afloramento, a rocha deve formar um corpo de mais ou menos 10 m. de espessura com lados paralelos, regulares e contínuos, concordantes com a xistosidade e estratificação das rochas encaixantes (meta-arkosios e meta-conglomerados). A rocha é escura, não mostrando xistosidade evidente. Intemperizada, faz ressaltar fenoblastos idiomorficos retangulares de feldspato caulinisado. Ao microscópio, observou-se a seguinte composição mineralogica.

	%
Quartzo impuro	45
Quartzo puro	4,5
Plagioclasio	5
Biotita	5,5
Epidoto	40
Titanita	pr.
Zirconita	;
Magnetita	0,5

O quartzo se apresenta em dois tipos: (fotomicrografia n.º 10) a) em segregações lenticulares microscópicas, formadas por agregados decristais límpidos, e: b) em grãos ricos de inclusões (epidoto) e associado à biotita e a epidoto em uma textura fina granoblástica.

A feição mineralógica mais interessante desta rocha é entretanto, a presença de cristais mais ou menos límpidos de albita (An 6%) em fenoblastos de até 3 mm. em sua maior dimensão. Não mostram inclu sões outras que não as de alteração normal. Contornos bem idiomorficos a não ser por certas soluções de continuidade devido a fraturas, intromissão de material hidrotermal secundário etc. Quase todos os indivíduos de albita mostram-se geminados segundo leis relativamente raras (fotomicrografia nº. 9). Assim p. ex., é bastante comum o tipo de geminação complexa Manebach-Acline A combinado com Carlsbad, produzindo um raro conjunto de indivíduos associados em quatro setores divididos por faces de composição perpendiculares entre si. Também a rarissima geminação Baveno, associada com Manebach-Acline A foi determinada. Geminação do tipo Periclínio, também comum, sendo a trivial lei da Albita bastante rara e pouco desenvolvida nestes feldspatos.

Como vemos pela composição acima, cerca de 90% da rocha é composta por quartzo e epidoto, cabendo-lhe pois o nome de epidosito (11).

F - Anfibolitos

Ocupam estas rochas uma posição de certa importância na região estudada. Frequentemente encontradas em corpos alongados, de alguns metros de comprimento, e na maioria das vêzes em jazimento concordante com a xistosidade regional. Entretanto, na zona abrangida pelo mapa, pudemos determinar, não sem certa imprecisão de contactos, uma pos-

sante massa anfibolitica com mais de 1 km de extensão em sua maior dimensão. Trata-se por certo de uma grande massa de anfibolito em aparente discordância com os quartzitos e xistos a oeste.

Em todas as ocorrências de anfibolitos observamos sempre, embora fraca, uma orientação preferencial de seus elementos bem como uma tendência à diferenciação mineral em camadas paralelas à uma xistosidade incipiente. Dada porém a côr escura uniforme da rocha e textura equigranular grosseira, é muito dificil determinar macroscopicamente no campo a atitude daqueles elementos. Acreditamos que uma análise microtectônica revelará importântes fatos que poderão inclusive determinar a origem real desta rocha tão controvertida.

Das amostras colhidas, 1 representa anfibolito intercalado a metagrauwacke na região da pedreira do km 22. 2 é anfibolito encontrado no meio de uma zona de meta-arkorsios. Finalmente 3 provem de blocos encontrados nos afloramentos de meta-conglomerado no contacto imediato (5 metros) com o granito Pirituba.

	%		
	1	2	3
Quartzo	3	8	2,5
Plagioclásio	4,5	8,5	23
Anfibolio	57	43,5	68
Epidoto	14,5	31,5	1,5
Clorita	7,5	7	
Biotita	12	_	1,5
Titanita	pr.	pr.	3
Magnetita	1,5	1,5	0,5
Apatita	pr.	pr.	pr.

O mineral mais comum nestas rechas é uma hornblenda pálida com pleocroismo em tons verdes pouco intensos, (fotomicrografias n.ºs 6, 7 e 8). Comumente crivada de inclusões, principalmente de quartzo. Está sempre capeada por outro anfibólio em continuidade óptica e morfológica com o núcleo. Esta zona, apresenta como característico óptico mais frizante um intenso pleocroismo com X= verde amarelado, Y= verde, Z= azul. Por esta e outras propriedades parece-nos que o anfibolio da capa é de composição actinolítica, ao passo que o do núcleo é uma hornblenda aluminosa pobre de ferro ferríco. Depois do anfibolio, os minerais mais

ral é andesina (An 35%) em 1, albita (An 5%) em 2, labradorita básica (An 68%) em 3. A clorita, uma peninita positiva ópticamente, é um importante elemento em 1 e 2, sendo que em 1 ela se associa intimamente a uma biotita esverdeada. Em 3 também está presente a biotita, em quantidade subordinada, em uma variedade pardo avermelhada provavelmente titanífera. Quartzo em segregações independentes é comum em 2 e apenas como inclusões na hornblenda em 1 e 3. Finalmente a magnetita é accessório comum em 1 e 2 em cristais idioblásticos externamente, mas cheios de inclusões.

Quanto à textura, ainda são visiveis os efeitos cataclásticos produzidos pelo dinamo-metamorfismo sôbre 1 e 2 (fotomocrografias 6 e 7) traduzidos pelo quebramento e encurvamento de anfibólios, granulação de plagioclásio e pela aparição de certos minerais de alteração retrometamorfica, que geralmente acompanham tal tipo de metamorfismo; quartzo em agregados, plagioclásio sódico, grande quantidade de clorita, epidoto etc. Já em 3, (fotomicrografia n.o 8) a interpretação mineralógica e textural é outra. Sem duvida ainda se notam caracteres reliquiares de uma textura cataclástica antiga, mas a nitidês e continuidade dos contornos embora irregulares dos anfibolios, a limpidês do plagioclásio agora básico, a morfologia completamente diferente do epidoto (prismas idioblasticos) e as dimensões e regularidade de contornos da biotita (de natureza química especial, sem duvida) indicam que um metamorfismo efetuado sob novas condições, levaram a uma reestruturação drastica da rocha 3, muito mais evidente que em 1 e 2. Mineralogicamente notamos aqui todos os atributos que Tilley (27) indentificou em anfibolitos submetidos a metamorfismo de contacto. Os "epidioritos' que aquele autor descreve, antigos sills agora compostos de hornblenda, plagioclasio albitico, zoisita, epidoto e clorita, entram em certos lugares em contacto com intrusões de diorito em Perthshire, sofrendo então, modificacões em diversos estágios, os primeiros dos quais se traduzem pelo desenvolvimento de magnetita na hornblenda, recristalização parcial da própria hornblenda e formação local de biotita. Clorita, epidoto e zoisita desaparecem e o feldspato sódico é substituido por uma variedade mais cálcica. Um estágio mais avançado produziria eventualmente piroxenio às custas de biotita e hornblenda, mas este estágio nem sempre é alcancado.

Como vemos os caracteristicos texturais e mineralogicos da rocha 3 são quase uma cópia dos descritos por Tilley, o que nos leva a crer provada uma ação local e termal sôbre aquele anfibolito.

3 - Granito Pirituba

O granito tipo Pirituba ou "olho de sapo" atravessa a região como uma lingua mais ou menos estreita com direção NE. É sem duvida uma extensão do batolito da Cantareira.

Petrograficamente apresenta as características já descritas em trabalhos anteriores de diversos autores (20). Na rocha que ocorre em São Roque, demonstramos que a designação correta seria a de adamelito (6) ou granodiorito, conforme a riqueza de plagioclásio (13). Este nunca se apresenta em quantidades muito inferiores a de microclínio que é o feldspato potássico normal em tais rochas. A regra é o equilibrio entre ambos. A julgar por muitas laminas que temos examinado de diversos lugares onde ocorre o tipo Pirituba, parece-nos que um granito verdadeiro com proporção entre feldspato potássico: plagioclásio, maior que 2:1, não é representado por nenhum dos "olho de sapo" comuns na Cantareira, São Roque, Mogi das Cruzes, Cotia, Ibiuna, Piedade e por toda a extensão da serra de Paranapiacaba.

Apenas para nos certificarmos de uma evidência já advinhada macroscópicamente, examinamos duas laminas da rocha que ocorre no contacto com o meta-conglomerado e a 300 m. deste para o interior do batolito. Ambas revelaram a mesma textura e os mesmos minerais em proporções mais ou menos identicas; microclínio, plagioclásio (An 15%) e quartzo como essenciais em quantidades mais ou menos equivalentes; mais biotita, apatita, titanita e magnetita, todos arranjados na clássica textura hipiodiomorfica porfiroide. No contacto com o meta-conglomerado, junto à via Anhanguera, nota-se apenas menor proporção de fenocristais de microclínio, catacláse mais intensa e um certo número de finos veios de turmalina, preenchendo planos de diaclase. Os dois últimos aspectos são aliás normais para o caso geral de contactos deste tipo. Xenolitos (?) são raríssimos e gnaissificação de bordo não é evidente.

4 - Rochas de dique e veios

A — Veios de guartzo

Poucas considerações a tecer sôbre tais ocorrências. Formam elas os frequentes viciros que na região são encontradiças em qualquer formação mais antiga. Aumenta porém sua importância e quantidade, na zona de ocorrência das grandes massas quartziticas do Jaraguá, por sinal afastadas do batolito granítico. Essa relação favorece a hipótese de ser o quartzo de tais veios, não de origem magmatica residual, mas proveniente da própria rocha hospedeira (quartzitos) como produto de processos complexos de dinamo-metamorfismo, diferenciação metamorfica e secreção em fissuras (28).

B - Pegmatitos e Aplitos

Foram estudados apenas os que se encontram cortando o meta-conglomerado. São formados quase exclusivamente por microclínio, quartzo e plagioclásio sódico, muitas vêzes intercrescidos em texturas micropegmatiticas, micropertíticas e mirmequíticas. (fotomicrografia n.o 4).

A origem magmática de tais rochas metidas na serie meta-sedimentar não pode ser duvidada em razão da maior frequência de ocorrências junto ao contacto com o batolito granítico. Os diques não são normalmente muito espessos, mas são regulares e quase sempre cortam o meta-conglomerado discordantemente em relação à xistosidade da matriz e através de seixos, demonstrando que a injeção se deu em fraturas antigas que cortaram uma rocha bem compacta e já xistosa.

5 — Rochas de idade possivelmente pré-conglomerática

Ao sul do batolito granítico e também a NE no mapa, aflora uma formação xistosa, que por característicos especiais parece diferenciar-se do resto das rochas metamorficas descritas. Verdade é que não nos foi possível obter na zona estudada, sequer uma amostra de rocha fresca. Todos os afloramentos o são de material intensamente intemperisado, mas parecem domínar as rochas micaceas.

Os dados petrograficos ainda pouco seguros que nos levam a separar tais rochas das meta-sedimentares já descritas, se resumem na xistosidade geral muito mais pronunciada e empinada, na presença de regulares e finas camadas de côres diferentes paralelas à xistosidade (diferenciação metamórfica mais intensa?), ausência de qualquer vestígio de seixos ou grãos clásticos macroscópicos e ainda inexistência de rochas mais grosseiras no conjunto (exceção de quartzitos). Intercalações de quartzitos e a natureza altamente micácea das rochas dominantes, parecem indicar que se trata de formação meta-sedimentar cuja posição estratigrafica em relação ao meta-conglomerado sugere idade mais antiga. Todavia, sómente um estudo tectonico pormenorisado poderá confirmar ou não nossas suspeitas.

IV — INTERPRETAÇÃO

1 — Gênese dos meta-sedimentos

Excluídas as intercalações restritas de anfibolitos e talvês, epidositos, pode-se afirmar que todo, o pacote de rochas a noroeste do batolito granítico dentro da area estudada, é formado por antigos sedimentos de origem essencialmente detrítica. A sequência começa com conglomerados, e, passando por todos os têrmos normais de uma coluna sedimentar, terminaria com calcáreos mais ao norte, não representados em mapa, mas incluidos em uma extensão da secção geológica.

Quanto ao conglomerado, sua situação na sequência estratigrafica, aliadas ao fato dêle ser espesso e extenso, e ainda formado por mistura de seixos litologicamente diferentes, bastante arredondados, apontam para uma unica conclusão lógica; trata-se de conglomerado basal de formação.

Uma vasta área adjacente, formada por terrenos petrograficamente variados, sofreu sem dúvida um longo período de erosão. Nesta área seriam comuns os granitos que forneceram a maior parte dos seixos para o conglomerado em questão. Entretanto uma série sedimentar mais antiga deve ser inferida, visto que numerosos seixos quartziticos (e provavelmente para-gnaisses) estão também incluidos na mesma rocha. Micaxistos e outras rochas pouco resistentes e de existência presumivel, teriam sido desagregadas durante o transporte, contribuindo apenas para as frações mais finas do conglomerado.

O sedimento rudáceo foi evidentemente transportado e depositado em ambiente aquoso como revela o grau e tipo de rolamento dos seixos. Quanto ao facies tudo indica ter sido êle marinho. A sequência litológica normal de geo-sinclinal (26) e a existência de extensas camadas calcáreas no topo, o confirmam. A falta de continuidade nos afloramentos atuais parece mostrar que os sedimentos mais grosseiros formavam depósitos litorâneos de praia.

Os sedimentos arenosos que se sequiram ao conglomerado, em sua maioria, eram ricos em feldspatos e quartzo como areia, indicando os primeiros processos de desagregação mecânica bastante intensos à época da erosão. Entretanto, também agia em certo grau o intemperismo químico pois um teôr bastante alto de uma fração argilosa original se pode deduzir da grande quantidade de micas recristalisadas. A maior parte destes psamitos produziram os atuais meta-arkosios. Entretanto, em pelo menos um horizonte, observou-se a prática inexistência de feldspato potássico (pg 19) e riquesa por outro lado de plagioclásio detrítico e mais biotita na massa intersticial. É a rocha que denominamos meta- grauwacke. Parece-nos que em algum estágio da denudação da área antiga, afloravam em profusão rochas básicas ricas em plagioclásio e elementos fêmicos. Os mesmos argumentos que expusemos para sugerir o ambiente de deposição do conglomerado, poderiam ser propostos para estes psamitos. Aqui entretanto, os grãos da fração correspondente à areia são bastante arredondados ao passo que no conglomerado são angulosos, indicando com isso maiores distâncias de transporte para os arkósios e grauwackes.

Outros tipos de rocha de natureza possívelmente psamítica no pacote, são os epidositos e os quartzitos. Quanto aos primeiros, serão analisados adiante. Já os quartzitos puros do tipo que aflora com tamanha possança na região do pico do Jaraguá, apresentam outros problemas quanto à origem. Eles estão intercalados possívelmente como lentes em uma região dominada inteiramente por xistos quartzo-feldspaticos, antigos psamitos semipelíticos, revelando pois, grau de seleção pobre. Nestes o conteúdo de quartzo (tabela pg 19) nunca vai além de 50%. Entretanto, bruscamente estes sedimentos passam a arenitos formados quase exclusivamente por quartzo. Dificil admitir uma mudança brusca nas condições de sedimentação, principalmente quando se sabe que estes quartzitos formam lentes e superiormente voltariam a reinar, portanto, as mesmas condições favoraveis à deposição de sedimentos arenosos mineralogicamente heterogêneos e pouco selecionados.

Algumas explicações poderiam ser aqui sugeridas. O sedimento inicial teria se depositado normalmente, mas, sujeito a longos periodos de paralização do processo sedimentar em certas áreas, teria se intemperisado, mais intensamente, resultando disso a alteração e lixiviação quase completa dos elementos dos minerais menos resistentes como feldspatos e minerais fêmicos, com concomitante lavagem e expulsão das argilas. O produto final seria então uma rocha altamente concentrada em quartzo. Reencetada a sedimentação normal, o arenito agora purificado, ficaria recoberto por outros sedimentos e assumiria finalmente a forma de lentes que se observa para os atuais quartzitos.

É possivel também que, para a sedimentação, segundo outra hipótese, de arenitos tão puros, haja contribuido o fato que estarem sendo denudadas àquela época áreas prevalentemente quartzíticas. Que estas existiam, os seixos no conglomerado o provam.

Quanto aos filitos, pouco há a dizer. São realmente antigos sedimentos finos argilo-silticos mostrando gradação para os meta-sedimentos mais grosseiros vizinhos. Frisamos este ponto porque sabe-se que rochas semelhantes (filonitos), podem ser geradas por metamorfismo regressivo de rochas diversas (28). Na região estudadas nem a mineralogia, nem a textura e nem a posição geológica de tais rochas permitem admitir aquela hipótese.

2 — Gênese do epidosito

A origem desta rocha à luz dos dados petrográficos obtidos permanece controvertivel. Diversas possibilidades poderiam ser encaradas: a) veio hidrotermal; a associação mineral quartzo-epidoto é bastante comum em rochas deste tipo, mas o tipo de jazimento e caracteres gerais macro e microscópicos excluem-na.

b) rocha básica do tipo efusivo ou hipabissal retrometamorfizada. Como argumentos favoraveis citariamos a textura que poderia ser interpretada como blastoporfirítica e ainda, o carater da geminação nos feldspatos. Sôbre o último item releva notar que tipos de geminação complicados são favorecidos por ambiente de formação ígneo (28), sendo alguns tipos dos que foram encontrados (pg 24) característicos de labradorita ou plagioclásios vizinhos (Manebach-Acline A, fotomicrografia n.o 9). Se os cristais geminados se formaram em rocha ígnea e são agora encon-

trados em rocha reconhecidamente metamórfica, então teremos que admitir que foram preservados palimpsésticamente através do metamorfismo, embora a labradorita se tenha albitizado.

Como argumento contrário a esta hipótese, vale citar aqui certos característicos químicos dedusíveis das proporções mineralógicas (pg 24) Assim p. ex., Na₂O, MgO e FeO devem se apresentar com valores muito redusidos e SiO₂ e CaO com porcentagens demasiadamente altas para uma rocha basaltica do tipo normal. Uma rocha metamórfica derivada de uma tal rocha deveria assim, apresentar muito maior quantidade de biotita (clorita ou anfibolio) e albita. Poderiamos por outro lado admitir que a rocha basaltica original houvesse sofrido milonitização intensa, lixiviação, metassomatose e recristalização (25). Mas os caracteres texturais e ainda os químicos não favorecem tal suposição. P. ex.; de onde proviria o Ca se não existem calcáreos ou quaisquer outras rochas cálcicas nas vizinhanças? Si não se trata de ganho de Ca mas sim perda de outros elementos, porque haveria perda de Na de preferência a Ca, quando se sabe que aquele é muito mais estavel que este em condições de metassomatose?

c) sedimento areno-argilo-calcáreo. Harker (11) em rochas semelhantes na serie Moine admite tal origem. Mas colocamo-nos outra vê defrontados com o problema da aparição da intricada geminação dos fenoblastos de albita. Sem dúvida alguma tais cristais não são de origem detrítica e se a rocha foi sedimentar, ela terá então sofrido um metamorfismo normal progressivo como aconteceu com as rochas associadas. Vale dizer que os fenoblastos cresceram em um meio sólido ocupando espaço não preenchido por eles anteriormente. Assim, tais albitas seriam novas, tanto química como morfologicamente, e os tipos de geminação teriam aparecido durante e não antes do metamorfismo. Sendo albitas metamórficas e novas, suas geminações não deveriam ser complicadas, conforme regra reconhecida ultimamente.

Pelo que foi exposto, é dificil opinar por qualquer modo de origem de epidositos deste tipo. Dificuldades do mesmo porte encontrou Seitsaari ao analisar rochas semelhantes (helsinkitos) na Filandia. Para estas ele admite em parte milonitização e metassomatose em ambiente metamórfico de grau localmente abaixado (25).

3 — Gênese dos antibolitos

Morais Rego (21) estudando a região em apreço observou também a ocorrência de anfibolitos, cuja origem atribue à transformação de calcários por efeito termal de contacto com granito. Acrescenta que "as faixas calcárias ao longo de sua direção podem ser substituidas por grande manchas dessas rochas, rochas verdes".

Conseguimos localizar um certo número de afloramentos de anfibolito. A nenhum deles se associam calcários, rocha aliás, ausente por completo na região estudada. Mais ao norte, em Caieiras, possívelmente ocorram juntas as duas rochas, mas acreditamos que se trate de mera associação fortuita, sem que se possa estabelecer qualquer correlação genética.

As condições de jazimento discordante da grande massa anfibolítica a nordeste em nosso mapa, a ausência de endomorfismo no granito em contacto, a ocorrência de anfibolitos dentro de metaconglomerado (um horizonte onde difícilmente ocorreriam calcáreos), e mais os caracteres texturais e químicos daquelas rochas, obrigam-nos a afastar definitivamente a hipótese de origem sedimentar para os anfibolitos. Mineralogicamente também, é extranho que não tenhamos podido diagnosticar siquer um grão de calcita nas varias secções delgadas de anfibolito que estudamos.

Assim, levando-se em consideração alguns vagos indícios de textura blastofítica na rocha, (fotomicrografia n.o 6) e o quadro geral mineralógico, químico e principalmente geológico, somos de opinião que os atuais anfibolitos representam antigos sills, diques ou stocks de rochas básicas intrusivas na serie meta-sedimentar. A conclusões análogas também chegou Djalma Guimarães ao estudar os anfibolitos que ocorrem no norte do estado de Minas Gerais.

4 — Metarmorfismo

Faculdade de Fisosofia Ciências e Letras Biblioteca Central

A — Regional

Todo o pacote meta-sedimentar ao norte do batolito granítico foi, como revelam a estrutura e mineralogia de suas rochas, metamorfisado dinamo-termalmente em escala regional. O exame microscópico de meta-

sedimento pelítico ou psamítico, revelou unanimemente, ausência de clorita como mineral metamórfico. Desde o meta-conglomerado (seixos e matriz) até o filito, o mineral micaceo fêmico existente é sempre biotita. Pode-se afirmar que, nesta área, os estágios iniciais de metamorfismo foram ultrapassados e estariamos então dentro da zona da biotita. Apenas certos antibolitos fazem excessão à regra, apresentando razoavel quantidade de clorita. Contudo, os anfibolitos devam ser encarados sob cutros pontos de vista, mesmo porque a clorita aqui, é retrograda a partir des fêmicos originais da rocha. Esta é deficiente em K.O. Não haveria portanto um estágio intermediario pela biotida e a clorita torna-se-ia estavel dentro da zona da biotita. Nota-se realmente um certo desequilibrio metamórfico no quadro mineralegico atual de tais rochas, pois a associação; plagioclásio (An5% a An35%) epidoto-anfibolio aluminoso, típica de facies mais altos, está presente. Entretanto a tendencia à estabilização final dentro do facies estabelecido pelos xistos quartzo-feldspaticos, é evidente pelas alterações que se observam microscopicamente; hornblenda pálida passando a actinolita e desenvolvimento de certa quantidade de clorita.

Um dos anfibolitos examinados (n.o. 1) mostrava maior quantidade de biotita esverdeada em vias de substituição por clorita. A rocha conteria pois, contrariamente ao esperado, apreciavel quantidade de K₂O. Não sabemos com certeza a que atribuir tal fato. Todavia, a rocha foi colhida exatamente dentro de meta-grauwackes ricos em biotita (rocha 1, pg. 19). Desde que não acreditamos possível uma origem sedimentar para os anfibolitos estudados, é provavel que o magma basico tenha assimilado certa quantidade de substâncias alumino-potássicas dos sedimentos encaixantes, as quais, produziram biotita durante a consolidação do magma, biotita esta que perdurou durante os estágios iniciais de metamorfose.

O exame microscópico mostrou que nos antigos psamitos semi-pelíticos que produsiram os xistos quartzo-feldspaticos, as formas originais nos grãos clasticos de quartzo e feldspato, ainda se conservam embora algo deformadas e recristalizados os minerais. Por outro lado, a argila intersticial se reconstituiu totalmente em muscovita n.o 3, pg 19), muscovita ferrifera (n.o 4, pg 19) e muscovita mais biotita (n.o 1 e 2, pg 19; no. 1 e 2, pg 22). Outros minerais como o quartzo e microclínio, aquele

recristalizado e mobilizado, e este, simplesmente recristalizado, se incorporam ao quadro mineralogico e textura, que definirão o facies.

Em resumo, a região estudada está certamente enquadrada dentro da zona da biotida de Tilley, comparavel ao facies de "xistos verdes" de Eskola. O sub-facies biotita-clorita de Turner, é a sub-divisão que cabe. Equivale a dizer que a região considerada foi submetida a um metamorfismo regional de temperatura moderada a baixa. Faculdade de Filosofia

B — Metamorfismo local

Ciências e Letras Biblioteca Central

Certas modificações importantes se operam nas rochas junto aos contactos com o granito Pirituba. Examinamos particularmente a matriz do conglomerado e anfibolitos.

A matriz xistosa do conglomerado pode ser equiparada aos xistos quartzo-feldspaticos que lhe são superiores. Entretanto, uma textura inteiramente nova aparece nos leitos mais micaceos do conglomerado (fotomicrografia, 1). A descrição de tal rocha acha-se à pg 16. Ressaltamos aqui, a aparição de microclínio, não clastico nem simplesmente recristalisado, mas sim, neo-cristalisado a partir da muscovita, um fato que na região só foi observado naquelas ocorrências de contacto.

Por outro lado, a textura e mineralegia do anfibolito junto ao mesmo contacto é também inteiramente nova, como foi descrita à pg 26.

Todas as particularidades nestas duas rochas fazem-nos acreditar que um novo tipo de metamorfismo agiu sôbre elas; o metamorfismo de contacto, local ou termal, que prova ter o granito Pirituba feito contacto a quente com conglomerados e anfibolitos, sendo-lhes por isso posterior.

A aureola de ação deste granito é bastante restrita, limitando-se aos contactos imediatos. A não ser que se inclua a biotitização dos xistos regionais e turmalinização dos filitos longinquos, dentro dos processos atribuíveis à ação termal de intrusivas. Acreditamos ser isto possível para o caso da turmalinização pois se trata de um processo que envolve pneumatólise, e os gazes altamente penetrantes podem, como se sabe, agir bastante longe da fonte de onde se evolveram. Este não seria o caso para biotitização. Todavia, embora problemática, é possível que tenha havido uma aceleração da reação; muscovita+clorita=biotita, devido ao calor gerado pelo magma granítico distante sobre os xistos encaixantes.

Não verificamos nas rochas de contacto, minerais ou associações críticas para definir sub-facies, mas certamente um facies bem mais alto que o determinado para os xistos regionais foi aqui rapidamente atingido. O inicio de formação do microclínio no conglomerado, e principalmente o alto teôr de anortita no plagioclásio do anfibolito, mostram que aquelas rochas penetraram no facies anfibolítico de Eskola (sub-facies de contacto cordierita-antofilita de Turner), começando a transição para um facies mais alto. Vale dizer que foram atingidas temperaturas moderadas de metamorfismo de contacto.

5 — Tectônica

Embora provisoria e tentativamente, fizemos representar em mapa, alguns dados tectônicos que nos parecem relevantes no estudo interpretativo da estrutura do conjunto.

Chamamos primeiramente a atenção para a orientação da xistosidade ao norte do batolito. Numa avaliação grosseira diriamos que, salvo numa faixa de mais ou menos 1 km de largura junto ao batolito (onde a orientação é variada) no restante do pacote meta-sedimentar, a orientação não foge muito a EW. Esclarecemos que o que determinamos como xistosidade é o que alguns autores americanos e ingleses chamam "foliation" e especialmente "flow cleavage", isto é, a xistosidade devida à orientação morfologica de minerais alongados ou placoides. Dizem muitos autores que em regiões orogênicas como a estudada, a xistosidade é paralela ao plano axial de dobras, e portanto, difícilmente coincide com o acamamento (22). Procuramos esclarecer este ponto. Embora em afloramentos de rocha alterada, nas ocorrências limitadas parcialmente por linha dupla, (ver mapa), pudemos verificar claramente que ambas coincidem pois a superficie separando leitos de conglomerado e xisto, é paralela à xistosidade em ambos. Já que no mapeamento, bôa dose de interpretação subjetiva é exigida, generalizamos tentativamente o conceito; xistosidade = acamamento, para toda a região. Mesmo porque há autores (5) que admitem esta possibilidade até para a região das charneiras de dobras.

Alinhando os afloramentos conhecidos de meta-conglomerado e orientando-os de acôrdo com sua mistosidade, construimos provisoriamente sôbre o mapa uma estrutura em dobra isoclinal de eixo aproxi-

madamente vertical. Os limites com pontos de interrogação indicam esta situação. Infelismente a região critica está totalmente recoberta por floresta e não poderiamos portanto confirmar no campo a interpretação que demos, através do estudo de afloramentos visíveis.

Além da hipótese acima, guiou-nos no traçado sugerido em pontilhado, o fato de não existirem afloramentos de meta-conglomerado na região de Taipas, e de estar a camada conglomeratica extremamente espessada (mais ou menos 1 km) na região que nos parece charneira de dobra. Além disso, nesta mesma região, os seixos se alongam numa direção empinada próxima à de mergulho da camada. O mesmo acontece com a lineação da matriz (super-lineação, de Fairbairn?). Se admitirmos com muitos autores, (5, 9, 28), que estas direções devam fornecernos o eixo de dobra dominante na região, então estará comprovada a configuração (em pontos de interrogação) que demos às estruturas dos meta-sedimentos.

O contacto; encaixantes-granito, foi observado com grande precisão na parte sul do mapa. Verifica-se que o granito discorda claramente da xistosidade, e portanto, da estratificação das encaixantes. A nordeste não foi feita uma averiguação exata de contactos, mas não há duvida de que, uma grande massa de anfibolito, provavelmente um antigo stock de rocha basica introduziu-se também discordantemente entre os xistos e quartzitos regionais. Acreditamos existir uma falha de rejeito desconhecido no seu contacto NE, pois as rochas para o norte são os xistos que presumimos de uma formação mais antiga que as do sul. Além disso, notase uma forte quebra na linha de contacto do granito, ao atingir o anfibolito. O que poderia assim parecer uma feição intrusiva do anfibolito, deve ser interpretado como de falha.

Um aspecto tectônico que nos chamou especialmente a atenção, foi a brusca mudança de mergulhos e orientação da xistosidade dos metasedimentos depois de percorrido certo trecho da auto-estrada que leva ao pico do Jaraguá. Se relacionarmos tal fato com igual fenomeno observado a sudoeste, perto da via Anhanguerra, e mais, com o aparecimento de quartzitos do tipo do morro do Jaraguá, ao sul e muito abaixo (300 m.) dos que afloram no pico, concluiremos por uma extensa falha como a desenhada no mapa, em sentido NE-SW, tendo o bloco sul se abaixado e afastado para sudoeste em relação ao do norte. Esta linha aliás, coincide tanto com o alinhamento dos picos principais da região, como com

a direção da escarpa ingreme na face sudeste daquele morro. Também, uma série de planos milonitizados, não representadas em mapa, a maioria com direção NE, foi verificada ao longo daquela estrada. A propria escarpa atual do Jaraguá, deve ser o espelho de uma falha naquela direção, de rejeito vertical, (descendo o bloco sul). Não nos parece que aquela escarpa de direção NE tenha sido produzida, por simples erosão diferencial (1), sabendo-se que os corpos quartziticos se alongam no sentido EW. Acreditamos que se trata de uma antiga falha rejuvenescida. A erosão diferencial naturalmente sobreveio posteriormente, mas apenas para acentuar os picos de quartzito mais resistente.

Em suma, um sistema de planos de fraqueza desenvolveu-se a ângulo forte da xistosidade nos metasedimentos regionais. Alguns deles evoluiram para produzir falhas e planos milonitisados. Possiveimente o magma granítico tenha aproveitado uma destas direções de fraqueza para se introdusir, separar e falhar os blocos ao sul e ao norte. É a explicação que acreditamos mais viavel para a discrepancia litológica que se observa nos dois lados do batelito.

6 — Sequência de eventos e correlações

Embora os argumentos ainda não sejam decisivos, e até que um mapeamento geológico e tectônico extensivo seja efetuado, identificaremos precariamente os xistos que afloram a NE e SE, como as rochas mais velhas da região mapeada. Deveriam eles formar, juntamente com quartzitos intercalados (e gnaisses?), uma serie originalmente sedimentar. Não é improvavel que esta série seja a mesma que se acha metamorfizada em ambiente de cata-zona por toda a região da serra do Mar. É evidente que ela foi injetada por granitos e sofreu energicos processos de dobramento orogenético. Após esse primeiro diastrofismo, que metamorfizou regionalmente toda a região, sobreveio um período erosivo e concomitante sedimentação em partes rebaixadas. Estas sem duvida formavam uma bacia que o mar invadiu em tempos pre-algonquianos (23). Foi então formada a sinclinal com sedimentos que começaram com conglomerado basal e terminado com calcáreos, formando-se assim o pacote de rochas nítidamente sedimentares da região estudada.

Todo o conjunto foi então submetido a novo período diastrófico, ao final do qual ocorreram intrusões de grandes massas magmaticas que

produsiram o tipo de granito porfiróide característico das serras de Cantareira e Paranapiacaba.

A característica dominantemente sedimentar dos xistos descritos a noroeste do batolito, o grau moderado de metamorfismo regional a que se submeteram, a atitude e crientação de suas camadas, a associação intima com o granito porfiróide, e a situação geografica atual, parece mostrar a identidade destas rochas com as da sórie Açunguí.

Teriamos então, entre São Paulo e Jundiaí, uma secção estratigraficamente completa desta discutida série. Poder-se-ia argumentar que o pacote estudado não seja mais que uma formação superior à série Açunguí, a qual estaria então representada pelo que denominamos xistos "préconglomeraticos" a NE e SE do mapa. Neste caso, a formação mais moderna aqui descrita seria possivelmente comparavel em idade à formação Ribeira descrita ao sul do Estado (16). Quanto aos conglomerados desta última formação, Barbosa (2), acredita que sejam "antes sedimentos orogênicos originarios de fases erosivas posteriores à primeira fase de dobramento e metamorfismo da série". Constituiriam então o tipo de sedimento grosseiro comum em geosinclinais instaveis, conhecido como "molasse" pelos geólogos alpinos e que se teriam depositado em partes rebaixadas das cadeias, durante e depois da principal elevação orogenética do conjunto.

Embora já tenhamos salientado certos pontos de contacto entre os conglomerados de Ribeira e os de São Paulo (pg 18), devemos entretanto evidenciar mais uma vez o fato de que os conglomerados estudados dão lugar mais ao norte a sedimentos clásticos mais finos que por sua vez passam a argilas (agora filitos) e finalmente a calcários. Nestas condições, os conglomerados de São Paulo não mais se ajustariam ao conceito de simples "molasse" mas mostram com maior verossimilhança o seu carater de deposito basal de formação mais ampla e perfeitamente individualizada.

Em vista do exposto não há que fugir à conclusão de que os conglomerados descritos formam a base da propria série Açunguí. Neste caso os sedimentos supostamente pré-conglomeraticos, deveriam ser incluidos em uma série mais antiga (arqueana?). Todavia, até que estudo mais minucioso prove que de fato tais rochas não fazem parte da mesma série Açunguí (tectonicamente modificada) nos contentaremos em apenas apontar o problema sem tentar resolve-lo.

Concluindo, diremos que as rochas que dominam na Serra do Mar devem se distinguir das da série Açunguí, não sendo possível estabelecer entre os dois conjuntos qualquer continuidade no tempo e espaço. Prova-o o espesso conglomerado, evidencia cabal de um longo período de erosão.

As rochas da série Açunguí em São Paulo foram afetadas por pelo menos um período, e as mais antigas (da Serra do Mar) por pelo menos dois períodos de diastrofismo e metamorfismo (o último dos quais abrangendo também a série Açunguí).

A posição e carater dos anfibolitos na série Açunguí ainda permanece duvidosa, mas foram eles sem duvida atingidos pelo último metamorfismo que xistificou os sedimentos da série e são também anteriores ao granito Pirituba. Possívelmente formavam derrames, sills e diques diabasicos.

Após o diastrofismo que fechou o ciclo de sedimentação e levantou a série Açunguí, foi esta erodida. Paleozoico e mesozoico foram percorridos. Na região estudada não se encontra qualquer vestígio geologico atribuível àquelas eras. Sómente no quarternario antigo (?) sedimentaramse as argilas e areias da bacia de São Paulo, que, parcialmente, deixaram muitos restos (não mapeados na região estudada) que jazem fazendo contactos angularmente discordantes com xistos antigos e granitos.

Finalmente o quaternário recente com sedimentos depositados nasbaixadas marginais dos rios que cortam a região, fecha a historia geologica da area estudada.

Poderiamos assim, construir a seguinte escala de eventos geologicos:

Quaternário recenteSedimentação	ão. Sedimentos de varzeas.
Erosão	
Quaternário antigoSedimentaçã	Sedimentos da bacia de São Paulo.
MesozoicoFalta na re	(egião
PaleozoicoFalta na re	egião
Erosão	
Diastrofismo orogenético	Intrusão de granitos Metamorfismo regional
∫ Magmatismo:	Intrusões e derrames (?) básicos (anfibolitos)
Sedimentação: Proterozoico	Intrusões e derrames (?) básicos (anfibolitos) sedimentos da serie Açun- guí calcarios (calcarios metamorficos) argilas (filitos)
	arenitos (quartzitos) arcosios (meta-arkosios) graywackes (meta-gray- wackes) conglomerado (meta- conglomerado)
Erosão	conglomerado
Diastrofismo orogenético	{ Intrusão de granitos Metamorfismo regional
Arqueozoico	do Complexo da Serra do Mar, agora representados por gneisses e quartzitos no conglomerado basa! da série Açunguí

SUMMARY

On March, 1953, some recently uncovered boulders of meta conglomerate were found between km. 17 and 18 of the "via Anhanguera", a modern highway linking the cities of São Paulo and Campinas, in the State of São Paulo, Brazil. The purpose of the presente work is to determine the main petrographic, petrologic and geological features of this uncommon rock, as well as to correlate it to the ports with which the territory a exercised.

well as to correlate it to the rocks with which the former is associated. Besides the meta-congiomerate, the following rocks of sedimentary origin are included in the same stratigraphic column: quartz-feldspathic schists (metaarkose and metagraywacke), quartzite, phyllite and limestone, the last two rocks predominating on the northern area just beyond the map. To the south, porphyritic granites are found in contact with the meta-conglomerate. AmphibeFixe and a epidosite layer were also found interticleded in the metasedimentary rocks. To the northeast and southeast, badly weathered schists were located, but their stratigraphic position renews obscure.

The above-mentioned metasediments are included in a series presumed to be algorian, known in the States of São Paulo and Paraná as the Açungui series.

Metaconglomerate

The metaconglomerate occurs as fresh outcrops only at the contacts with the granite. It is normally a rock rich in pebbles and cobbles, but boulders measuring up to 50 cm in diameter were found. However, a maximum size of 20 cm for the cobbles is the rule. The tectonism which affected the rock, deformed the pebbles and cobbles to some extent, but the original roundness is still manifest.

On the region where metaarkose outcrops predominate, one can notice bedded layers of either minute (up to 1 cm) pebble-rich conglomeratic rock, or cobble-bearing metaarkoses with sparsely distributed cobbles.

In outcrops close to the granite contacts, the conglomerate shows a coarse to fine-grained

matrix, which displays a strong schistosity, d pping stceply to the north.

Pebbles and cobbles are, with few exceptions, made up of granite, gneiss and quartzite. Their shape is generally elongated, with the longest and intermediate axes in the plane of schistosity. Granite pebbles have as a rule an axial ratio of 1:2 (ratio of the shortest to the longest axis) which is a very different relation from that observed among quartzite pebbles, which is around 1:5. In the latter pebbles the intermediate axis approaches the shortest one in size, so that spindle-shaped pebbles result.

The longest axes of the pebbles of this metaconglomerate are approximatelly parallel to one another and also concordant with a strong lineation exhibited by the matrix. The linear structure of this rock almost parallels the direction of the dip of the schoolsty.

Under the microscope, the granitic pebbles show strong mylonitization. They represent old microcline granites and gneisses. Pebbles of the intrusive granite which contacts the meta-conglomerate are not found.

The quartzitic pebbles generally present a conspicuous elongation which can be partly original, although probably accentuated by tectonic action. Under the microscope the rock can be seen completely recrystallized, hiding any cataclastic effect wich has undoubtedly affected it.

Some other types of pebbles are recognizable such as: epidosite, quartz and feldspar. Mica schist pebbles can be suspected but they have not been found yet.

The conglomerate matrix shows different aspects, two extreme types being described: one is coarse-grained, weakly schistose and is composed by angular fragments of quartz and feldspar; the other is fine-grained, highly schistose, mica-rich, entirelly recrystallized and makes up differentiated streaks in the coarse matrix.

Petrographic comparison was carried out between the conglomerate studied here and those secribed in the Brazilian geological literature. The most similar type is reported to exist in the south of the State of São Paulo, in the so-called "Ribeira" formation.

Other metamorphic rocks

Quartzied-pathic schists, mainly metaarkose and metagraywacke are associated with conglomeratic layers and intercalated by amphibolites. The texture in these schists is always blestopsanmitic, composed by ellipsoidal quartz and feldspar grains. These are recrystallized and somewhat deformed, but the original clastic features can still be detected.

Quartzite outcrops are present in large masses in the region of the Jaragua peak. This quartzite is extremely rich in quartz and display a sutured granular texture.

Some "pseudocornubianitic" rocks are described which occur as intercalations in the quartz-feldspathic schists. They are fine-grained, hard, compact rocks showing the same mineral components and texture of a true metagraywackic, silty metasediment, though the macroscopic sample would rather suggest either a hornfels or a mylonite.

Phylites are seldom seen on the mapped region, but they can be found in layers a few meters thick, interbedded with metaarkose. They present a good deal of tourmaline believed to have originated by preumatolytic processes.

A type of epidositic rock was found in concordant contact with metaarkose in only one outcrop. This rock shows microscopically the interestig feature of albite phenoblasts displaying complicated types of twinning.

Amphibolites are relatively common rocks in the area. They occur as elongated bodies, generally concordant with the schistosity of the enclosing rocks. Nevertheless, a large amphibolite mass was mapped in apparent discordance with the regional structure. Under the microscope, amphibolites normally are shown affected by dynamic metamorphism, but a sample from an outcrop at the very contact with granite shows microscopical evidences of a superimposed thermal metamorphism.

Pirituba granite

The mode of occurence of this porphyritic granite is interpreted as a southwestern extention to the Cantareira batholith. Its petrographic characteristics have already been described by several authors. Except for fewer phenocrysts, more intense cataclase and tourmaliniferous venulation, the border granite, next to the contact with the metaconglomerates, does not differ from any other sample collected elsewhere in the batholith.

Veins and dike rocks

Quartz veins are scattered throughout the area but they get specially frequent on the Jaraguá quartzitic region. Such veins probably owe their origin to complex processes of dynamic metamorphism, metamorphic differentiation and fissure secretion.

Slender pegmatite and aplite dikes are found cutting through pebbles and matrix foliation in the conglomerate near the granite. Those rock are composed by quartz, microcline and acid plagioclase often intergrown in microperthitic, myrmekitic and micropegmatitic textures.

Rocks of pre-conglomeratic age

South of the batholit and also northeast in the studied area, there are exposures of a formation which can be petropraphically defined as a micaschist, although some interbedded thin quartzitic banks were also seen. Such a formation differs from the postconglomeratic schists by presenting no recognizable clastic strutures, stronger schistosity and lit-par-lit metamorphic differentiation.

Interpretation

The stratigraphic position, thickness and extent of the conglomerate, quality and degree of pebble rounding, etc. indicate that the conglomeratic sediment was laid down in a acqueous environment, and now makes up the basal portion of the thick marine metasedimentary formation. The nature of the pebbles show that the neighbouring area which underwent erosion was at least in part granitic. Also, an earlier sedimentary series is implied by the presence of quartiztic pebbles in the conglomerate. Micaschist and other less coherent rocks, if present, were presumably disintegrated during erosion and transport, and now can only be represented by microscopic grains in the matrix of the conglomerate.

Arenaceous sectiments, chiefly arkoses and graywackes, prevailed in the sequence following the deposition of the basal conglomerate. The feldspar richness in these sediments indicates mechanical desintegration rather than chemical decomposition at the time when the earlier rocks were eroded. A good deal of basic rock exposed on the ancient area is implied by the formation of graywackes.

The arenaceous metasediments show much better rounded sand grains than those in the conglomerate matrix. This fact favours the belief of a longer distance of transport for the arkose and graywack-forming sediments.

The purer quartzites could probably be explained by two alternative hypotheses: either their material resulted from pronlonged or intensified chemical weathering of sediments from areas in which sedimentation processes had been suspended, or the feeding areas in erosion were at some time predominantly quartzitic.

Phyllites represent clayey and silty sediments deposited at greater distance from the con-

Epidosite genesis

This rock would probably represent an old metamorphosed basic rock. The "blastoporphyritic" texture as well as the complicated twinning types in albite, point to this conclusion. However, some arguments inferred from the theoretic chemical composition would partially invalidate such a hypothesis, unless we admit complex processes involving mylonitization and metasomatism, and therefore, complete reorganization of the rock. We can also admit a sedimentogenous derivation for the epidosite, provided a suitable original composition was avaiable.

Amphibolite genesis

The sedimentary derivation alleged by some authors for the studied amphibolites is discarded. The discordant mode of occurrence of some bodies and the petrographic data, indicate that they have derived from basic igneous rocks.

Metamorphism

The sedimentary rocks north of the batholith were subjected to the initial stages of dynamothermal metamorphism. The original quartz and feldspar clastic grains still remain in the metapsammites, yet, all the interstitial clay is now recrystallized into muscovite and biotite.

One can conclude from the study of the metasediments that the area fits the biotite-zone (Tilley) and the biotite-chlorite sub-facies (Turner).

As to the amphibolites, they exhibit some degree of metamorphic instability, since the present assemblage of plagioclase. (An to $A_{35}\%$) epidote and aluminous amphibole is characteristic of

higher facies. However, a tendency for the ultimate stabilization into the above established facies is shown by some microscopical evidences, v.i.; homblende altering into actinolite and the development of chlorite.

Next to the contact with the granite, the fine-grained conglomerate matrix is mocified by the appearance of neo-crystallized feldspar formed at the expense of the muscovite. Amphibolite, in turn, when in contact with granite, also shows important textural and mineralogical modifications that can only be ascribed to thermal metamorphism. Therefore, it is concluded that the porphyritic granite is younger than the metasediments and amphibolites.

The contact aureole is never broader than 10 to 50 meters. The only far-reaching action which could be doubtfully attributed to the granitc magma would be the tourmalinization of phylites and the acceleration of the reaction leading to the development of biotite in the country rocks.

Tectonics

The general trend of schistosity is east-west. It approximately corresponds to bedding in the metasediments, at least in places where favorable conditions allowed direct observation. Provisionally, an isoclinal fold structure with nearly vertical axis was drawn on the map. The lines with question marks indicate this structure.

A system of faults, mostly NE-SW was also noticed. It is believed that the south scarp of the Jaraguá peak was formed by faulting and not by simple differential erosion.

Sequence of events

A pre-conglomeratic sedimentary series is inferred. It is probable that it is now represented by quartzites and gneisses from the Serra do Mar complex. The schists which outcrop NE and SE in the map may possibly be referred to this series. These rocks were subjected to orogenetic diastrophism and regional metamorphism followed by erosion and geosyncline sedimentation during the proterozoic era. The latter sedimentation began with the deposition of conglomerate and ended with limestones. These rocks were then newly submitted to diastrophic orogeny, regional metamorphism and granite intrusions which led to the development of the Açunguí series as it can now be seen. Therefore, the conglomerate, makes up the basis of such a series. It is believed that it could represent neither "molasse"" sediments nor the basis of any younger formation.

The Açunguí rocks were affected by at least one orogenetic diastrophism while the earlier series (Serra do Mar crystalline complex) were subjected to more.

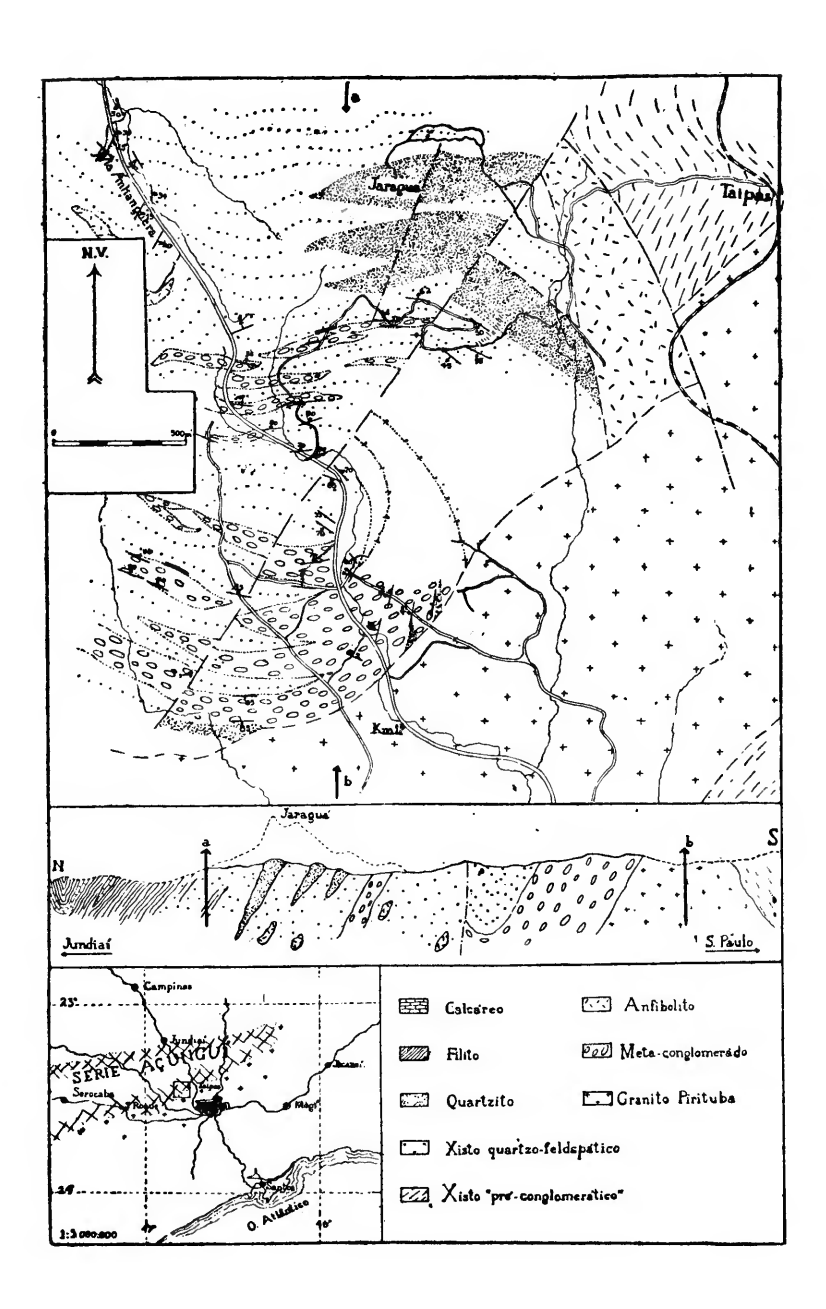
The amphibolites possibly are metamorphic representatives of old diabasic sills and dikes. They were doubtless affected by the last recorded metamorphism.

The Paleozoic and Mesozoic eras left no sedimentary remains on the region.

During the pleitoscene period (?), clays and sand were deposited on the so-called São Paulo basin, and then, partially eroded. Some occurrences are still preserved on the mapped region. Their discordant mode of occurrence is illustrated in the geologic section.

Finally, the late quaternary is represented by marginal flood plain sediments.

A geologic synoptic table is given.



BIBLIOGRAFIA

- AB'SABER, A. N. (1948) Notas sôbre a geomorfologia do Jaraguá e vizinhancas: Filos. Ciên. Letras, Ano XII nº. 10.
- 2) BAREOSA, A. L. M. (1949) Geologia da região da foz do rio Guanhães: Tese apresentada ao concurso para provimento da XXXI cadeira da Escola Nac. de Minas e Metalurgia, Univ. do Brasil.
- BARDOSA, O. (1948) A chamada serie Ribeira: Min. e Met., vol. XIII, nº. 75 pp. 187-188.
- 4) BARTH, T. P. W. (1952) Theoretical Petrology: John Wiley.
- 5) BILLINGS, M. P. (1942) Structural Petrology: Prentice Hall.
- 6) COUTINHO, J. M. V. (1953) Petrologia da região de São Roque, São Paulo: Fac. Filos. Ciên. Letras, Bol. Bol. 159, Mineralogia nº 11.
- ESKOLA, P. (1932) Conditions during the earliest geological times: An. Acad. Sci. Fen. Serie A, vol. XXXVI, no. 4, pp 9-19.
- EVANS, J. W. (1894) The geology of Matto Grosso: Q.J.G.S. vol. 50, pp 85-104.
- FAIRBAIRN, H. W. (1949) Structural petrology of deformed rocks: Addison-Wesley.
- 10) GROUT, F. P. (1932) Petrography and Petrology: Mc Graw.
- 11) HARKER, A. (1950) Metamorphism: Methuen.
- 12) HARTT, C. F. (1941.) Geologia e geografia física do Brasil: Comp. Ed. Nac. Brasiliana, série 5a., vol. 200.
- 13) JOHANNSEN, A. (1938) Petrography: vol. II, Univ. Chic. Press.
- 14) KNECHT, T. e FELICISSIMO J. Jr. (1938) Contribuição para o conhecimento geológico da bacia do rio Ribeira de Iguape: Bol. Inst. Eng. S. P. vol. 28, no. 137, pp 20 et seq.
- LEONARDOS, O. H. (1940) Tilito metamórfico de Carandaí, M. Gerais: An. Acad. Br. C., pp 243-259.
- 16) LEONARDOS, O. H. (1941) Notas petrográficas sôbre a série Ribeira do sul do Estado de São Paulo: Fac. Filos. Ciên. Letras, bol. no. 21, Mineralogia no. 4, pp 7-13.

- 17) LEONARDOS, O. H. (1934) Chumbo e prata no Estado de São Paulo: Serv. Fom. Prod. Min, bol. no. 6, pp 1-43.
- 18) MEHNERT, K. R. (1938) Die meta-konglomerate des Wiesenthaler gneiszuges im sächschen Erzgebirge: Min. Pet. Mitt. vol. 50, pp 194-272.
- 19) MELCHER, G. (1953) The conglomerate of Hanhikivensaari, Pyhäjoki, Finl.: Bull. Com. Geol. Finl. no. 159, pp 73-82.
- 20) Morais Rego, L. F. (1938) Contribuição ao estudo dos granitos da serra da Cantareira: Inst. Pesq. Tecn. S. Paulo, no. 18.
- 21) Morais Rego, L. F. (1933) Contribuição ao estudo das formações predevonianas de São Paulo: Boletim do Inst. Agr. Geogr. S. Paulo.
- 22) NEVIN, C. M. (1942) Structural Geology: Prentice Hall.
- 23) OLIVEIRA, A. I. (1943) Geologia do Brasil: Minist. Agr.
- 24) RAMBERG, H. (1952) The origin of metamorphic and metasomatic rocks: Univ. Chic. Press.
- 25) SEITSAARI, J. (1951) The schist belt northeast of Tampere in Filand: Bull. Com. Geol. Finl. no. 153, pp 1-120.
- 26) SHROCK, R. R. (1948) Sequence in layered rocks: Mc Graw.
- 27) TILLEY, C. E. (1924) Contact metamorphism in the Comrie area: Q. J. G. S. vol. 80, pp 22-71.
- 28) Turner, F. J. e Verhhogen, J. (1951) Igneous and metamorphic petrology: Mc Graw.
- 29) VAYRINEN, H. (1939) On the geology and tectonics of the Outokumpu ore region and field: Bull. Com. Geol. Finl. no. 124, pp 1-91.
- 30) WILLIAMS, H., TURNER, F. J. e GILBERT, Ch. M. (1954) Petrography: Freeman Co.
- Winchell, A. N. (1951) Elements of optical mineralogy, Pt II:
 J. Willey.



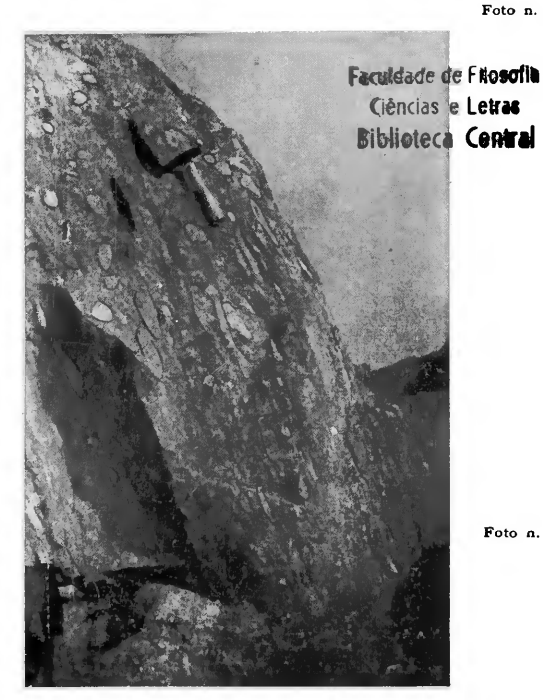


Foto n. 1) Bloco quebrado de afloramento de metaconglomerado mostrando as grandes dimensões que podem ocasionalmente atingir os seixos inclusos.

Comprimento do martelo; 33 cm.

Foto n. 2) Afloramento de metaconglomerado, km 17,5 vie
Anhanguera. Notam-se seixos bastante deformados
numa matriz relativamente xistosa. Xistosidade
mergulhando fortementepara o norte.



Foto n. 3) Amostra de metaconglomerado mostrando seixos de granito com texturas variadas. Observe-se o tipo de deformação sofrida pelo seixo à esquerda, em baxo, mostrando superfície côncava no contacto com o seixo vizinho.



Foto n. 4) Vista posterior da mesma amostra. Em baixo, à esquerda, um seixo muito deformado de contôrno pouco nítido, desvanecendo-se na matriz.

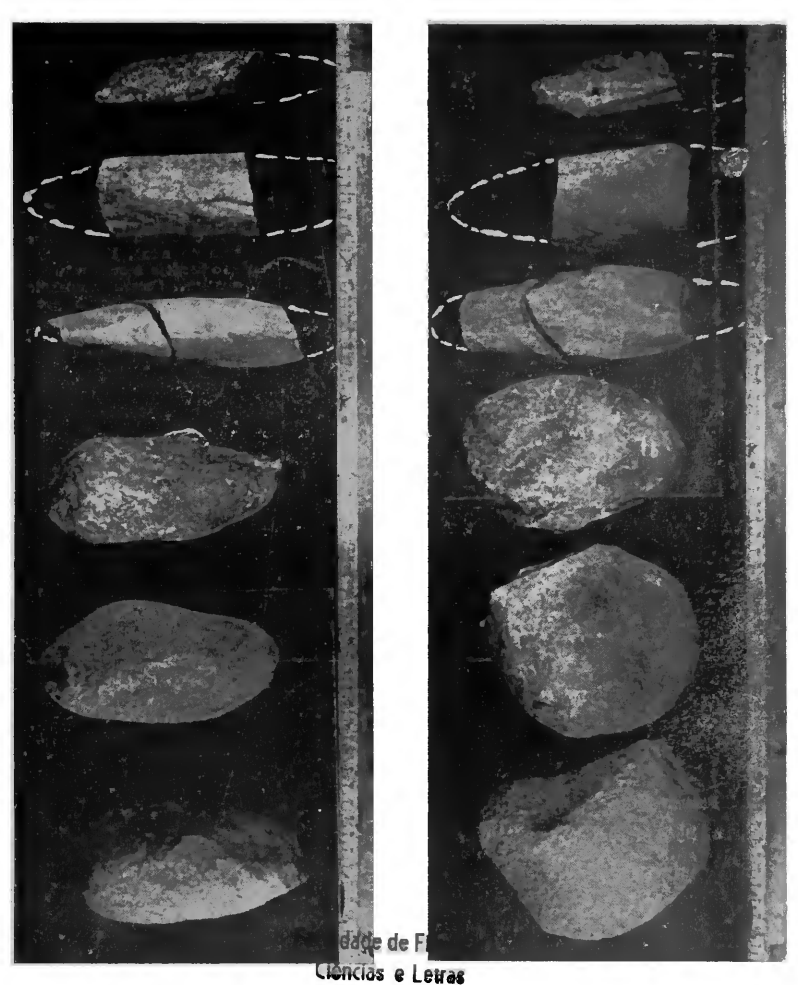


Foto n. 5 Biblioteca Central Foto n. 6

Foto n. 5) Conjunto de scixos retirados de afloramentos semi-alterados. Os três debaixo são de gran to. Os três de cima, de quartzito. Note-se a evidente diferença de formas para os dois tipos. Todos os seixos estão colocados de maneira que os eixos mais longos ficam horizontais, os mais curtos verticais e os intermediarios voltados para o observador. As linhas interrompidas indicam a continução hipotética dos contornos para os seixos quartzíticos, os quais dificilmente se consegue inteiros devido ao fácil fraturamento dagonal que apresentam.

Foto n. 6) Os mesmos seixos da foto n. 5 dispostos de modo que os eixos mais longos se conservam horizontais, os intermed ários dispondo-se verticalmente e os mais curtos voltados para o observador.



n. 1) Matriz fina do metaconglomerado. Formada pos muscovita, (cinza) quarto o claro) e biotita (mancha escura o esquerda ao alto). Fino colar de microclinio bordeja a muscovita isolando-e do quartzo. Secção perpendicular è hneação da rocha (dada por "lapis" de biotita).
Nicois / / .

Fotomicrografia

n. 2) A mesma em nícois X. A secção toi um pouco girada para a esque:da.



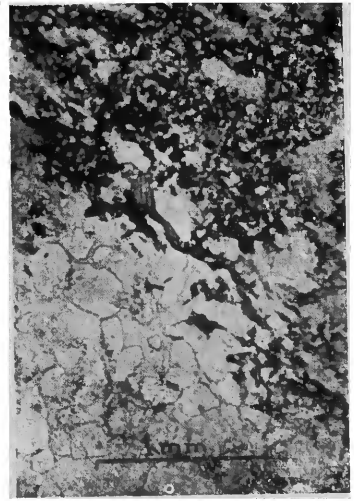


n. 3) Metagrauwacke. Pedreira Sta. Cruz. Km 22 via Anhanguera. Nota-se of grãos de quartzo e feldspato mostrando ainda o carater clástico original.

O material intersticial é formado por muscovita. biotita e magnetita. Nicois 11.

Fotomicrograma

n. 4) Contacto entre aplito (em baixo à esquerda) intrusivo no metaconglomerado (alto e à direita). A secção apanhou apenas a matriz grosseira de última rocha. Nota-se muita biotita epidoto, magnet ta e algum feldspa-to e quartzo na matriz do coaglomerado. Quartzo e microclínio são os principais componentes do aplito. Nico-is //.

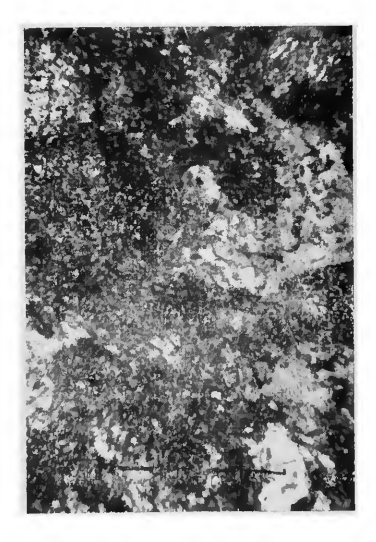


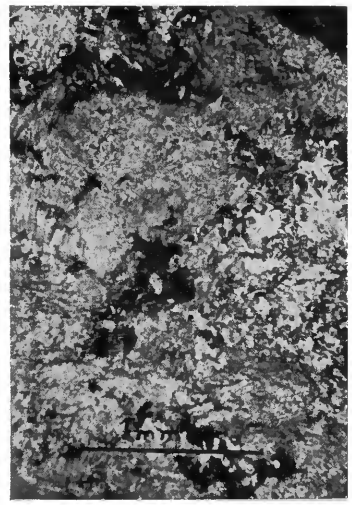


n. 5) Filito. Os grãos claros são formados por quartzo detrítico. O resto da rocha é formado por muscovita microcristalina (com um pouco de biotita) pequenos grãos de magnetita e cristaire relativamente grandes de turmalina (escura, fragmentada). À direita, em baixo, percebe-se uma micro-dobra Nicois //.

Fotomicrografia

n. 6) Anfibolito. A massa escura é formada por hornblenda e epidoto. A direita observam-se os contornos de um antigo grande cristal de plagioclásio agora parcialmente substituido por quartzo Nicois //.



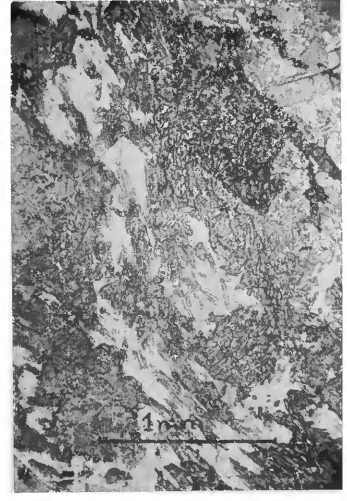


n. 7) Anfibolito. Nota-se hornblenda em grandes cristais com bordas mais escuras, magnetita (opaco), biotita (em lâminas pequenas), epidoto (em pequenos grãos de alto relêvo) e plagioclásio (claro) Nícois //.

Frederice to Fredita

Fotomicrografia

n. 8) Anfibolito. Nota-se especialmente r hornblenda com bordas mais escuras plagioclásio básico (claro) e titanta em um grande pseudomorfo ao alto s direita, com alguns restos de magnetita no interior. O epídoto desta lâmina esta reduzido a pequena quantida de apresentando-se sob a forma de prismas na massa de plagioclásio. Nícois //.

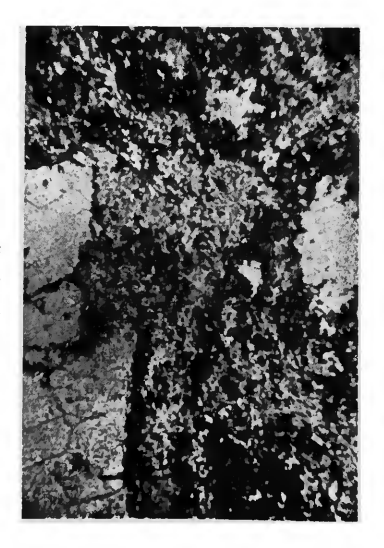




n. 9 Epidosito. Massa microcristalina constituida de quartzo, epidoto e bistita Fenoblasto de albita no centro geminada em cinto individuos (Manebach-Acline A, combinado com Carlsbad ε Albita). Via Anhanguera Km 19. Nícois X.

Fotomicrografia

n. 10) A mesma lâmina anterior em outre campo e com nicois //. À esquerda alguns fenoblastos de albita e à direita agregado de quartzo limpido A massa restante é formada por quartzo microcristalizado rico de inclues (cinza claro) e epidoto com um pouco de biotita (cinza escuro).



APRECIAÇÃO GEOLÓGICA E PETROGRÁFICA DE ALGUMAS ROCHAS BÁSICAS DE SANTOS

ERNESTO PICHLER e JOÃO ERNESTO DE SOUZA CAMPOS (Da Universidade de São Paulo)

ABSTRACT

In the present paper the authors present some data on the geology of Santos considering particularly the occurrences of basic rocks. The geologic map shows the main occurrences of these rocks, indicating their respective geologic coordinates. A rather detailed petrographic study of rocks, sampled at the occurrences of São Vicente and ilha Porchat, revealed that the first one was a lamprophyric dike with a high percentage of olivine whereas the rock of the ilha Porchat was classified as diabase. It is the opinion of the authors that these occurrences originated at different geologic times, and that the olivinic rocks of São Vicente, whose origin is likely to be connected with the epeirogenic movements of the serra do mar, are younger than the diabase of the ilha Porchat.

INTRODUÇÃO

Na estrutura geológica e petrográfica de Santos e arredores imediatos destacam-se três formações diversas. A formação précambriana, constituida por xistos, gnaisses e granitos; a quaternária, constituida de areias e argilas de fácies marinho e intrusivas básicas diversas, cortando as rochas cristalinas do pré-cambriano. Baseado no reconhecimento dos afloramentos observados, foi desenhado o mapa geológico da região, indicando a distribuição das diversas formações mencionadas e em particular algumas das ocorrências das rochas básicas.

FORMAÇÕES PRÉ-CAMBRIANAS

Admite-se, de modo geral, ser a região de Santos constituida de rochas cristalinas pré-cambrianas, xistos, gnaisses, e granitos que, qual ilhas afloram na planície quaternária. Logo na entrada de Santos, sofre a estrada de rodagem São Paulo-Santos, perto do cemitério do Saboó, um estrangulamento no morro de São Bento, notando-se ser a rocha constituida de gnaisse granitizado. Mais adiante, quando se passa para o morro do Fontana, observa-se, encaixados no gnaisse e concordantes com êle, diversas zonas de biotita xisto, cuja largura ultrapassa um metro. No próprio morro do Fontana depara-se, logo na sua base, uma pedreira abandonada. Consiste a rocha aí de gnaisse granitizado, observando-se também faixas de xisto, assim como pegmatitos. Conforme se verifica no mapa geológico, estendeu-se a formação cristalina dos morros em di-

reção nordeste, passando pela bacia de São Vicente. É interessante notar que a rocha que aflora nas pedreiras de São Vicente, no morro de Voturuá, é um granito de textura fina, coloração predominante cinza, aparecendo porém, algumas faixas de coloração creme. Na Ilha Porchat novamente reaparece o gnaisse. Apresenta êste, aí, xistosidade mais pronunciada que a observada do lado da entrada de Santos. São mais frequentes aqui também as faixas de xisto. Este xisto é do mesmo tipo que o observado no morro de São Bento, ocorrendo porém, aí, com mais frequência, mas com menor possança.

FORMAÇÃO QUATERNÁRIA

A formação quaternária, que na extensão do mapa geológico é de fácies marinho, consiste de argilas siltosas com matéria orgânica e areias finas que se estendem numa sequência alternada, à profundidade superior a 50 metros.

OCORRÊNCIAS DE INTRUSIVAS BÁSICAS

Ocorrências de rochas intrusivas básicas, objetivo principal dêste trabalho, foram registradas em três lugares:

- a) na pedreira de São Vicente;
- b) na Ilha Porchat e
- c) no tunel rodoviário que atravessa o morro do Fontana.

Neste trabalho procurar-se-á estudar as duas primeiras ocorrências. As intrusivas que atravessam o morro do Fontana no tunel rodoviário serão objeto de um outro estudo.

a) — A ocorrência na pedreira de São Vicente consiste de três diques que aí atravessam o granito. O dique principal tem espessura de cêrca 30 cm e atravessa a rocha encaixante, segundo a direção N 70°E, tendo mergulho pràticamente normal. Dado o estado de alteração pronunciada da rocha intrusiva na superfície e sendo parcialmente coberto pelos detritos da pedreira, fàcilmente escapa à observação. A fotografia n.º 1 apresenta um aspecto dêste dique.

A uma distância de aproximadamente 100 metros dois diques menores, paralelos ao primeiro, foram registrados. Têm êles espessura de não mais de 10 cm, sendo a rocha muito menos alterada que o dique maior.

 A segunda ocorrência de rochas básicas observada é a da ilha Porchat. É esta sem dúvida, a ocorrência mais importante de tôdas as que foram observadas. A fotografia n.º 2 apresenta um aspecto dêste dique. A rocha encaixante é um gnaisse que apresenta xistosidade pronunciada, observando-se mesmo zonas de biotita xisto puro (fotografia n.º 3). Encontra-se aquí ainda extensos veieiros de pegmatitos como o mostra a mesma fotografia. A direção do gnaisse varia de N 14°W a N 34°W sendo o mergulho práticamente sempre normal.

O dique de rocha básica atravessa o gnaisse quase normalmente. A sua direção ao longo da face de contacto com o gnaisse é de N 30°E com mergulho normal, ou pouco inclinado para fora. Nota-se que o dique teve inicialmente espessura de 15 metros mais ou menos, sendo erodido no correr do tempo parte do mesmo, de maneira a formar um vale estreito, tendo do lado oeste o antigo paredão de contacto gnaíssico e do lado leste a escarpa formada pelo dique cuja espessura atual é reduzida a 8 m aproximadamente. Não se figura impossível a idéia de uma fratura tectônica ou falha ao longo do plano de contacto do dique com o gnaisse encaixante. Conforme se observa nas fotografias n.º 4 e 5, apresenta o dique certa disjunção colunar, com o eixo longitudinal principal pràticamente normal a face do contacto leste, face que pode também ser vista nessas fotos.

c) — Considerando a modalidade de apresentação das rochas descritas, assim como o seu respectivo caráter petrográfico, parece poder concluir-se que se trata de intrusões distintas de idades geológicas bem diversas. O diabásio da ilha Porchat apresenta textura holocristalina das rochas consolidadas em profundidade, ao passo que a rocha dos diques da pedreira de São Vicente mostra ter cristalizado próximo a superfície, como o indicam as amígdalas abundantes que contém. Tanto a primeira como a segunda variedade de intrusivas básicas, devem ter a sua origem ligadas aos movimentos epeirogênicos, que tiveram lugar no fim do terciário cu no começo do quaternário. Possível admitir, ser o diabásio da ilha Porchat, que apresenta características petrográficas semelhantes à rocha que se encontra numa pedreira localizada ao lado da Via Anchieta, logo no início da descida da serra, geològicamente mais antigo que as intrusivas de São Vicente. Não é permitido entretanto em face dos elementos de que se dispõe ser muito positivo a respeito.

Em face da modalidade de apresentação das diversas ocorrências mencionadas, que sugeriram a conveniência de um melhor conhecimen-

to dos mesmos, julgou-se justificada uma amostragem completa nas mesmas para efeito do respectivo estudo petrográfico.

ESTUDO PETROGRÁFICO

Rocha Pv (a) — dique lamprofírico da pedreira Voturuá (São Vicente)

Exame macroscópico

Rocha homogênea, compacta, afanítica, de còr cinzenta-esverdea-da escura, ultra-melânica, exibindo, às vezes, finas veias e amígdalas preenchidas por material claro. Apresenta fratura conchoidal a plana e superfícies planas delimitando formas prismáticas decorrentes de diaclasamento. Tratada com HCl dá reação com efervescência não só em sua superfície como especialmente nas vênulas e amígdalas. Pulverizada, os fragmentos resultantes são fàcilmente atraidos pelo imã. O pó é parcialmente solúvel nos ácidos, com efervescência, resultando solução amarelo-esverdeada muito acentuada que dá reação característica de Fe em presença de KCNS. Pêso específico = 2,994.

Exame microscópico

A textura exibida pela rocha é panidiomórfica porfirítica (Fig. 1). Os principais fenocristais encontrados são os de olivina, por vezes idiomorfos, exibindo hábitos prismáticos, clivagem, alteração e reabsorção incipientes (fotomicrog. 1). Alguns fenocristais também de titanoaugita, sendo por vezes zonados (fotomicrog. 2).

No feltro foi possível identificar cristais de biotita, às vezes exibindo faces (001), ripas (microlitos) do piroxênio acima citado e cristais de magnetita, numerosos e de diferentes tamanhos, exibindo, por vezes, hábito octaédrico, identificáveis também pelo comportamento de fragmentos da rocha em presença do imã. Ocorrem também vênulas preenchidas por calcita e amígdalas por calcita e analcita (Fig. 2 e fotomicrog. 3). Em uma das amígdalas (Fotomicrog. 4) em que ocorrem cristais idiomorfos de analcita foi possível confimar-la procedendo a medida, na platina Universal, dos ângulos 211 Λ 121=33° e 211 Λ 211=48°. Outro dado seguro para sua identificação foi verificação de clivagens seg. (100) em alguns exemplares dos cristais das amígdalas. A massa fundamental, isótropa, não foi identificada diretamente em lâminas ao microscópio, mesmo quando em uma delas procurou-se reduzir ao mínimo a espessura (± 15 μ). Para procurar resolver o problema foi um fragmento da rocha finamente pulverizado (peneira 150 mshs.) e o pó resultante submetido por centrifugação em bromofôrmio com o objetivo de isolar o material

siálico encontrado exclusivamente na massa fundamental. O material mais leve, assim separado, filtrado e sêco em estufa, foi submetido aos seguintes ensaios:

a) - exame macrocópico pelo método da imersão

Alguns dos grânulos examinados mostrando fraca birrefringência, exibiram índices de refração em redor de 1,49 dando, por conseguinte, a impressão de se tratar de analcita ou de sodalita. Como, entretanto, a pulverização da rocha poderia ter acarretado também a trituração do material que preenche as amígdalas (o que sem dúvida deve ter acontecido, pois foram também identificados muitos grânulos de calcita) e consequentemente da analcita ali presente, não ficou satisfatoriamente resolvido o problema no que concerne a natureza do material da base. Ficou entretanto, de certa maneira, excluída a possibilidade de ser o material da base constituído de substância vítrea pois segundo Grout (1932) esta apresentaria índice superior a 1,56.

b) tratamento por HNO3, seguido de evaporação lenta

O método preconizado por Winchell (1933) destinou-se a decidir se o material siálico, representado pelos grânulos alguns dos quais exibiram índices de refração em tôrno de 1,49, seria constituído de analcita ou de sodalita. Este último mineral, pelo processo em aprêço daria origem a pequenos cubos de salgema. Tendo a prova sido negativa, concluiu-se que o material em aprêço seria constituído de analcita.

c) aquecimento em tubo aberto

O ensaio revelou desprendimento de vapor d'agua que se condensou sob forma de gotículas nas paredes frias do tubo de ensaio.

d) tratamento com HC1

Tratando o pó pelo HCl dil. 1: 1, verificou-se preliminarmente efervescência, provàvelmente causada pela presença de calcita e posteriormente, após aquecimento mais prolongado, gelatinização.

Tôdas essas provas foram de certa maneira concludentes em relação à presença de analcita no material estudado muito embora não tivessem o mérito de demonstrar que êste material seria o constituinte da base, podendo muito bem ser, como acima foi dito, resultante do material que preenchia as amígdalas.

Verificou-se, entretanto, a existência de certas peculiaridades muito evidentes particularmente em uma das lâminas estudadas. Essas consistiam na presença de zonas bem diferenciadas, espécies de espaços miarolíticos, de natureza pegmatóide, onde os cristais presentes, encontrados também no corpo da rocha, especialmente biotita e titanoaugita se desenvolveram mais acentuadamente do que na matriz, como consequência da ação de gazes que teriam emprestado, nesses pontos, maior fluidez ao magma. Nessas zonas (Fig. 2 e Fotomicrog. 5) foi verificada a presença, como base, do mesmo material isótropo encontrado nas amígdalas, isto é, de analcita, o que conduziu a hipótese de ser êste mineral o formador da base no próprio corpo da rocha, portanto de origem primária como propõe Lindgreen (1890).

Vale assinalar que no material próximo ao contacto ocorrem variações não só texturais como na composição mineralógica. Além de apresentar-se mais compacta, pràticamente destituída de amígdalas, os fenocristais de *olivina* exibem nítida serpentinização e carbonatação e os cristais de *biotita* são raros e pouco desenvolvidos.

Dados mineralógicos quantitativos

A determinação na platina integradora deu os seguintes resultados (aproximadamente):

a) Determinação volumétrica:

1) Fenocristais —
$$31\%$$
 $\left\{ egin{array}{lll} 17,9\% & {\rm de \ olivina} \\ 13,8\% & {\rm de \ titanoaugita} \end{array} \right.$ Feltro — $68,3\%$

2) A determinação feita por mineral, incluindo fenocristais e material que preenche as amígdalas, forneceu os seguintes resultados:

 Olivina
 — 15,6%

 Titanoaugita
 — 54,9%

 Biotita
 — 6,7%

 Minerais siálicos *
 — 14,1%

 Magnetita
 — 8,5%

(* Minerais siálicos compreende: analcita, calcita, apatita.)

b) Determinação em pêso (resultados globais)

Olivina	_	15,9%
Titanoaugita	_	54,2%
Biotita		5,4%
Siálicos		10,0%
Magnetita		13,6%

Analise química *

A análise química realizada para fins de contrôle forneceu os seguintes resultados :

SiO_2	_	38,9%
Al_2O_3	-	9,5%
Óxidos de ferro		
(em Fe ₂ O ₃)	_	12,1%
TiO_2		2,7%
MgO	—	13,3%
MnO	_	0,2%
CaO		12,7%
SO_3	_	não encontrado
Óxidos de metais al-		
calinos (por dife-		
rença)		4,8%

CONCLUSÃO

O estudo da literatura sôbre rochas portadoras de olivina e piroxênios de caráter amigdaloidal, hipoabissal, leva à conclusão que a rocha em estudo pode ser considerada um termo da família 3125E, segundo Johannsen (1938) ou mais pròximamente do tipo ankaratrítico-analcítico. A admissão de se tratar de um ankaratríto, Lacroix (1916) ou melhor de uma variedade limburgítica dessa rocha resultou da quase perfeita identidade no que concerne à composição mineralógica como da semelhança entre as análises químicas (vol. 3 — pag. 365 — tabela 131-7). A presença de amígdalas preenchidas por analcita e calcita põe em evidência a solidificação próxima à superfície, embora a rocha ocorra sob forma de dique. Rochas semelhantes foram também estudadas por L. V. Pirsson (1905) sob a designação de monchiquose (analcita-basalto).

^(*) Anglista: I. P. T.

Rocha Pv (b) — do pequeno dique lamprofírico da pedreira Voturuá.

Exame macroscópico

Rocha homogênea, mais compacta do que a acima descrita, de côr cinza escura bem esverdeada, ultramelânica, desprovida de amígdalas visíveis com auxílio de lupa e cortada por algumas veias finas preenchicas por material claro. Fratura conchoidal a plana. Superfícies planas delimitando formas prismáticas por diaclase. Tratada com HCl dá reação de efervescência em vários pontos de sua superfície, especialmente onde ocorrem veias e depósitos secundários de calcita. O pó resultante da trituração é também, como na rocha anteriormente estudada, fàcilmente atraido pelo imã. O pó tratado pelo HCl é soluvel com alguma efervecência e a solução amarelo-esverdeada dá reação característica para o Fe em presença do KCNS. Pêso específico: 2,874.

Exame microscópico

A textura é também panidiomórfica porfirítica, exibindo os microcristais do feltro nítida orientação fluidal (Fig. 3). Os fenocristais de olivina muito bem formados e numerosos, exibem hábitos prismáticos e alteração em antigorita, carbonatos e magnetita, sendo pouquíssimos os cristais parcialmente preservados. Os fenocristais de piroxêno aegirina-augita, apresentam-se por vezes geminados e geralmente bem formados. Numa das lâminas observou-se um fenocristal de aegirina-augita, parcialmente alterado em serpentina e exibindo núcleo de piroxênio rômbico-enstatita (Fig. 4). No feltro predominam as ripas muito finas de aegirina-augita, sendo pequena ou quase nula a presença de biotita. Numerosíssimos são os cristais de magnetita, que mostram, às vezes, hábito octaédrico. A base, como na rocha anterior, é constituida de analcita a qual é também observada em espaços amigdalóidais no corpo da rocha. A fotomicrog. 6 exibe também uma zona diferenciada do tipo miarolítico em tudo semelhante ao descrito na rocha anterior.

Dados mineralógicos quantitativos

Na platina integradora foram determinados os seguintes valores volumétricos (aproximados):

Olivina (fenocristais)	9%
Aegirina-augita (fenocristais)	10%
Feltro (pirox. + magnt. + analcita)*	80%
Amígdalas (espaços amigdaloidais)	1%

(* A textura extremamente fina do feltro não permitiu a contagem isoladamente dos minerais que o constituem).

Os fenocristais de olivina variem entre média de 20 a 500µ
" aegirina-augita " " 10 a 20µ

Análise química

A análise química realizada para fins de controle, forneceu os seguintes resultados:

SiO_2	38,2 %
Al_2O^3	10,6 %
Óxidos de ferro (em	
$\mathbf{Fe_2O^3}$	11,8 %
${f TiO_2}$	2,7 %
Cao	12,3 %
MnO	0,20%
SO ³	não encontrado
Óxidos de metais alca-	•
linos (por diferença)	2,6 %

Conclusão: Apesar das diferenças texturais, da análise química e de composição mineralógica — natureza do piroxênio, ausência quase completa de biotita — foi a rocha considerada equivalente à anteriormente descrita.

As rochas dos diques lamprofíricos aqui estudadas e que foram consideradas como uma variedade limburgitica de um analcita ankaratrito, encontram-se de fato constituido têrmos intermediários entre as famílias dos piroxênitos e dos peridotitos cujos têrmos ankaratrítico de um lado e picrítico de outro apresentam alguns pontos de contactos e outros de divergência. São entretanto ligadas por seu aspecto geral e composição mineralógica de certa maneira aos jacupiranguitos de cujo magma podem derivar ou mostrar relações de consangüinidade. Othon Leonardos (1941) descreve no rio Batatal dique limburgítico cortando filitos cloríticos. Rochas também semelhantes cuja composicão mineralógica é em tudo semelhante a aqui descrita são assinaladas também em Fernando Noronha por Campbell e Burri (1933).

Tentando uma classificação dessas rochas, segundo Tröger (1935), vimos que apresentam várias relações com ankaratritos, Lacroix da família dos ijolitos; limburgitos, Rosembuch, da família dos exessitos; jacupiranguitos, Derby e bebedouritos, Tröger, da família dos piroxenitos.

Rocha Ip-dique da Ilha Porchat (São Vicente)

Exame macroscópico

Rocha homogénea, compacta, fanerítica, de côr cinzenta-escura, melanocrática, apresentando fratura sub-conchoidal a plana. Formas prismáticas de secção hexagonal decorrem dos planos de diaclasamento. Não há efervescência excepto, como é obvio, nos pontos onde se

deposita calcita secundária e fàcilmente reconhecível a olho nú. Pulverizada, são os fragmentos resultantes atraidos pelo imã. O pó é parcialmente solúvel nos ácidos, com ligeira efervescência, resultando, especialmente após aquecimento, solução amarelo-esverdeada que dá reação característica para o Fe em presença de KCNS. Pêso específico = 2.975.

Exame microscópico

A textura exibida pela rocha é ofítica apresentando regiões, onde se aglomeram piroxênios, tendendo a granular. Os cristais ripiformes de plagioclásio são constituídos de labradorita e o piroxênio, por vezes idiomorfo, às vezes exibindo geminações, é constituído de augita. O mineral metálico é formado por magnetita o que é identificável pedo hábito e pelo comportamento de fragmentos da rocha em presença do imã. Encontra-se também alguma ilmenita parcialmente alterada em leucoxênio (Fig. 5 e fotomicrografia 8). Numa das lâminas estudadas foi observada estrutura reticulada resultante de pseudomorfose de antigorita sôbre um cristal provávelmente de olivina (?), como pode ser observada na Fig. 6. A suposição de se tratar de olivina decorre do fato de se encontrar grânulos de magnetita demarcando as linhas de clivagem e de fratura-Dana (1950).

Dados mineralógicos quantitativos:

Na platina integradora foram obtidos os seguintes resultados aproximados (em pêso):

Labradorita	41%
Augita	29%
Magnetita	7%
Minerais alterados	22%

Conclusão: Por sua composição mineralógica, textura e ocorrência em dique pode ser a rocha considerada como um diabásio.

CONCLUSÕES GERAIS

- Não existem dados que permitam afirmar que o diabásio encaixado no gnaisse da ilha Porchat seja anterior ou posterior aos considerados réticos e comuns no planalto do Brasil Meridional.
- 2) Embora os diques de diabásio e os lamprofiritos descritos estejam próximos e no mesmo nível, julgamos que tiveram êles origem em épocas diferentes.

- A textura ofítica do diabásio e sua espessura, 15 m e a ausência de olivina são outros indícios que parecem confirmar o que ficou dito acima.
- A estrutura dos diques lamprofíricos-porfirítica amigdaloidal sugerem terem êles se formado pràticamente na superfície e como tal ligados a uma manifestação vulcânica anterior ou posterior ao rético.
- 5) Considerando o granito da pedreira de Voturuá, encaixado em gnaisses de idade pré-devoniana, os diques seriam òbviamente posteriores ou contemporâneos a êle.
- 6) Outras evidências entretanto não existem no que concerne as idades das rochas consideradas.

AGRADECIMENTOS

Somos gratos aos professores Viktor Leinz e Rui Ribeiro Franco, assim como ao colega Dr. José Moacyr Vianna Coutinho pelas valiosas sugestões e orientação nos trabalhos petrográficos; ao snr. Diocleciano Soares Araujo pela confecção das lâminas e ao snr. G. Oscar Campiglia, da Divisão de Documentação da Reitoria, pelas fotografias e fotomicrografias que ilustram o presente trabalho.

BIBLIOGRAFIA

- GROUT, F. (1932), Petrography and Petrology McGraw Hill Company Inc., New York, N. Y.
- WINCHELL, A. N., (1933), Elements of optical Mineralogy: An introduction to microscopic Petrography: John Wiley and Sons, Inc., New York, London.
- LINDGREEN, W. (1892), Eruptive rocks from Montana: Proc. California Acad. Sci. Ser. 2, vol. III, 1890, p. 51.
- JOHANNSEN, A., (1938), A descriptive petrography of the igneous rocks: vol. IV The University of Chicago Press. Chicago, Illinois, USA.
- LACROIX, A., (1916), La constitution des roches vulcaniques de l'extreme nord de Madagascar et de Nosy bé; les ankaratrites de Madagascar en general; Comp. Rend., CLXIII, 1916, pp. 256-358.
- PIRSSON, L. V., (1905), Petrography and Geology of the igneous rocks of the Highwood Moutains, Montana: U.S.G.S. Bull., 237, 1905, pp. 149-158.

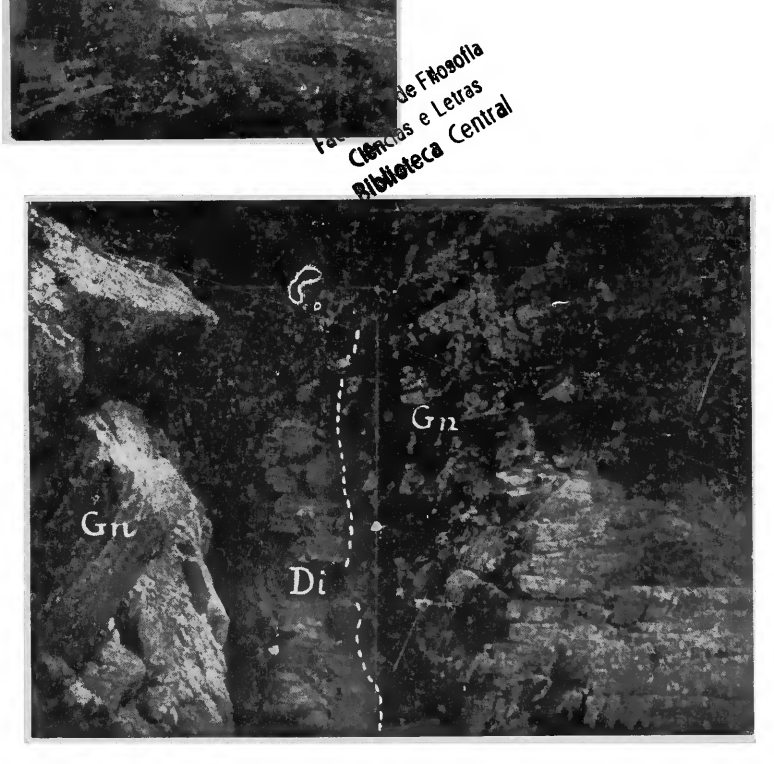
- DANA, E. S., (1950), Text-Book of Mineralogy: IV edition. John Wiley & Sons, Inc. New York, USA.
- LEONARDOS, O. H. (1941), Notas petrográficas sôbre a série Ribeira: Mineralogia n.º 4, Bol. Fac. Fil. Ci. Letras n.º XXI, USP. p. 10.
- CAMPBELL, S. W. e BURRI, C. (1933), The igneous rocks of Fernando Noronha: Bol. Suisse e Min. e Petrog., vol XVII.
- TRÖGER, W. E. (1935), Spezielle Petrographie der Eruptivegesteine: Berlin W. 35 Vertag der Rentschen Mineralogischen Gesselchafte V.
- ESKOLA, P. (1954), Ein Lamprophyrgang in Helsinki und die Lamprophyr probleme: Tscherm. Min und Petrog. Mitt. vol. 4.

MAPA GEOLÓGICO DA REGIÃO



Fotografia 1

Dique 'amprofírico da Pedreira Voturuâ, São Vicente. Gr=granito D. L. =dique



Fotografia 2 Dique de diabásio da ilha Porchat. Gn= gnaisse Di= diabásio



Fotografia 3

Rocha encaixante com veieiros de pegma-

tito. Gn= gnaisse

Peg= pegmatito
BiX= Biotita xisto

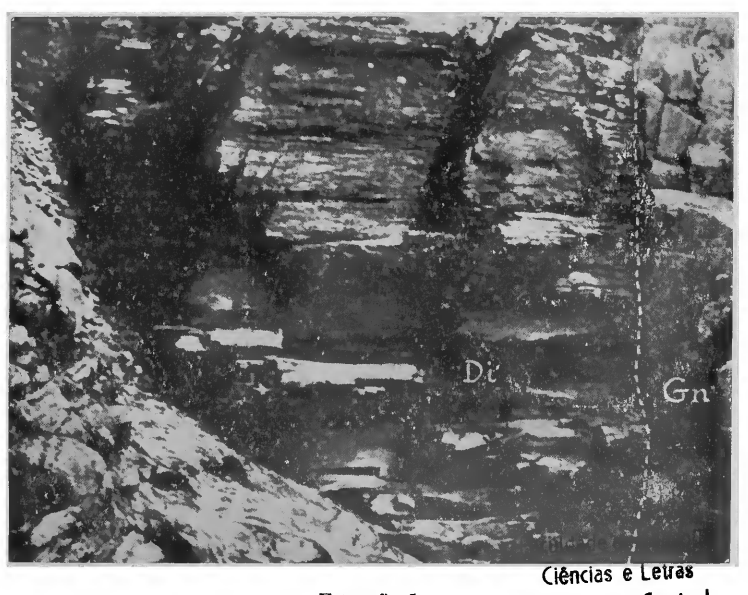
Fotografia 4

Aspecto do contacto do diabásio com a rocha encaixante.

Gn= gnaisse

Di= diabásio





Fotografia 5 Disjunção colunar do dique de diabásio. Gn= gnaisse Di= diabásio

Biblioteca Central

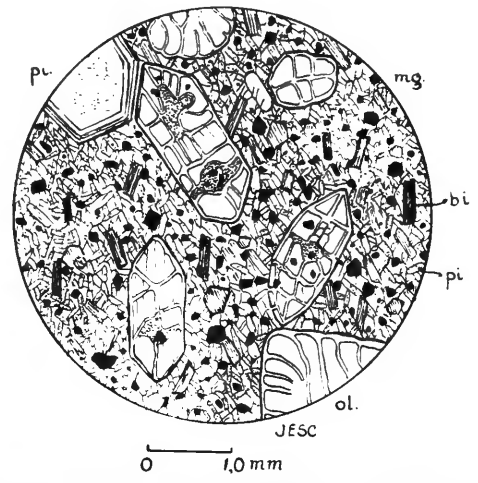


Figura 1 — Fenocristais de olivina (ol) e um fenocristal zonado de titanoaugita (pi), mergulhados num feltro no qual se distinguem numerosos cristais de magnetita (mg), pequenos cristais de biotita (bi), às vezes exibindo faces (001) e numerosos cristais ripiformes de titanoaugita (pi). Os espaços em branco correspondem ao material da base que de acôrdo com as observações levadas a efeito poderá ser considerado como constituído de analcita.

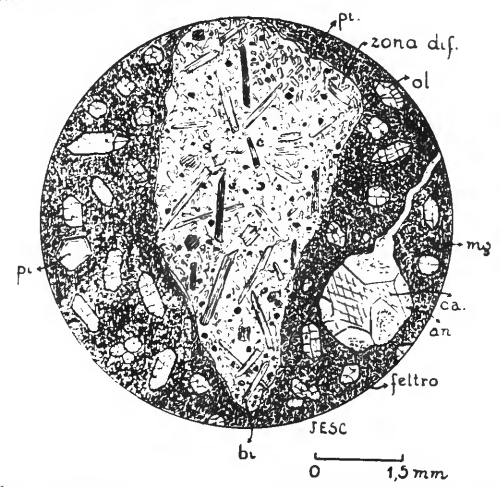


Figura 2 — Exibe o corpo da rocha com as características já descritas, mostrando fenocristais de olivina (o1) e titanoaugita (pi) mergulhados num feltro rico em magnetita em cujo seio encontra-se a zona diferenciada (zona dif.), referida no texto, na qual observa-se crista s de piroxênio titanoaugita (pi) e biotita (bi) muito maiss desenvolvidos do que no corpo da rocha cujos interatícios são preenchidos por magnetita e analcita. A direita observa-se também uma amidgada preenchida por calcita (ca) com clivagem romboédrica e cristais de analcita (an) de hábito (211),

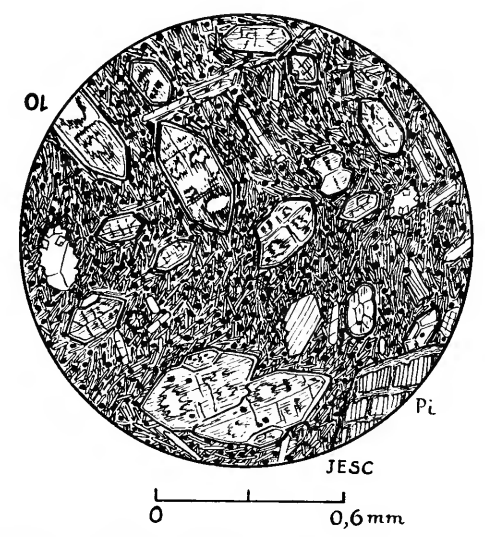


Figura 3 — Fenocristais de olivina (ol) alterados em antigorita, carbonatos etc., e de piroxênio (pi) imersos num feltro constituído de ripas de aegirina-augita, cristais numerosos de magnetita e cujos intertícios em branco correspondem à analcita da base. Observam-se também duas amígdalas das quais, a maior, à esquerda, exibe cristais de analcita e de calcita.

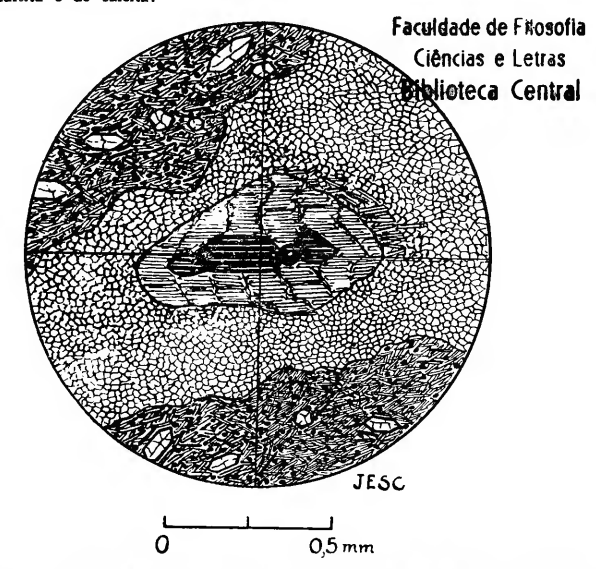


Figura 4 — Exibe um fenocristal de aegirina-augita, parcialmente alterado, em cujo seio ocorre núcleo de piroxénio rômbico, identificado como enstatita. Envolvendo o fenocristal de aegirina-augita há um bordo de reação que o separa do corpo da rocha no qual se observa a estrutura descrita na figura anterior.

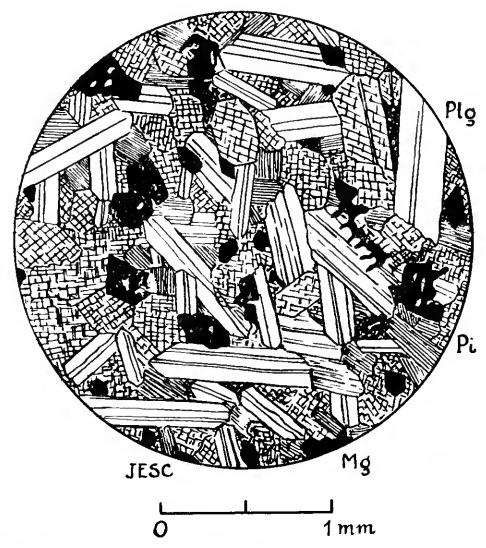


Figura 5 — Cristais ripiformes de labradorita (Plg) e de augita (Pl), muitos dos quais geminados, exibindo textura ofítica tendendo a granular. Observam-se também cristais de magnetita (Mg).

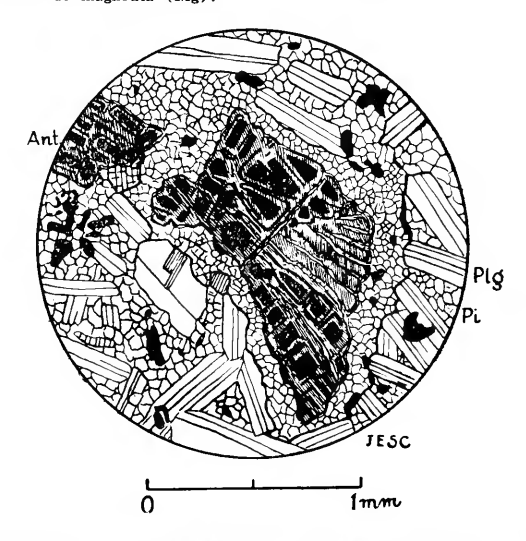
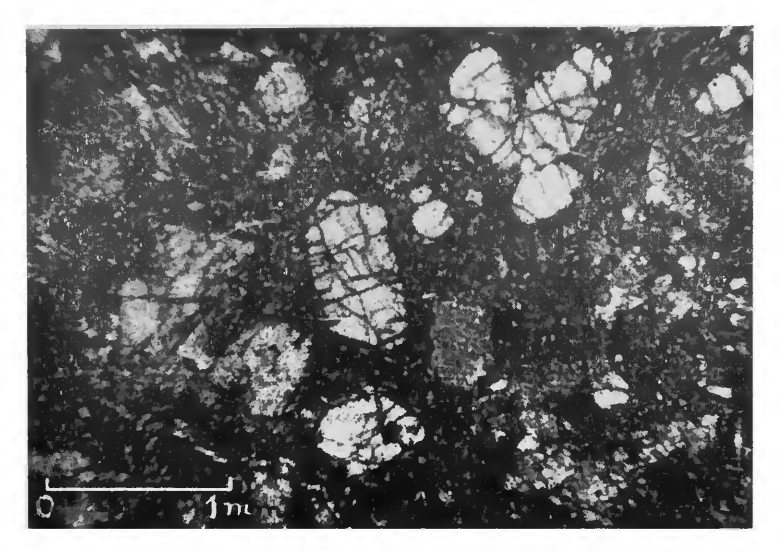
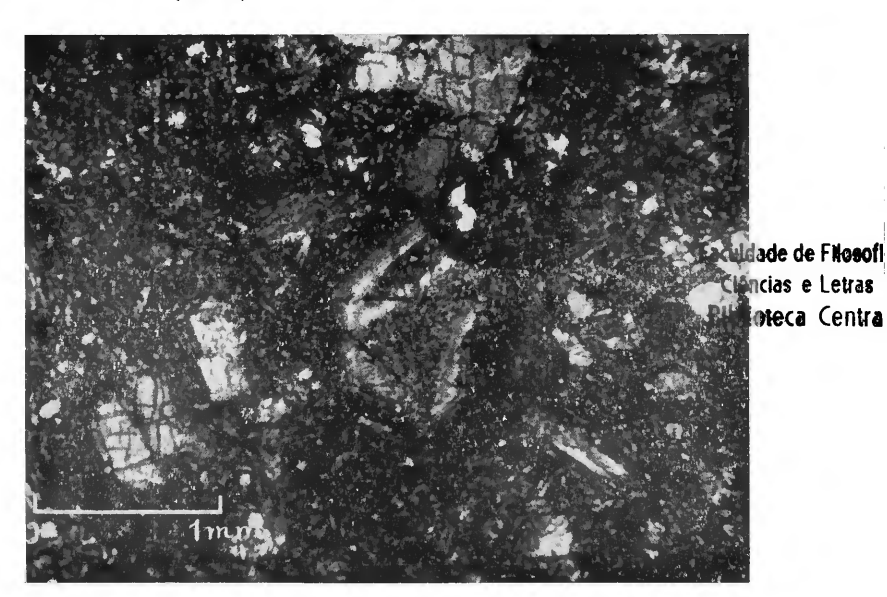


Figura 6 — Reticulado de serpentina (Ant.) pseudomorfa sóbre olivina (?), mostrando bordo de reação e metgunado no alabrado onde são observados cristais ripiformes de labradorita (Plg) em cujos interstícios ocorrem cristais euhedrais de augita (Pi).



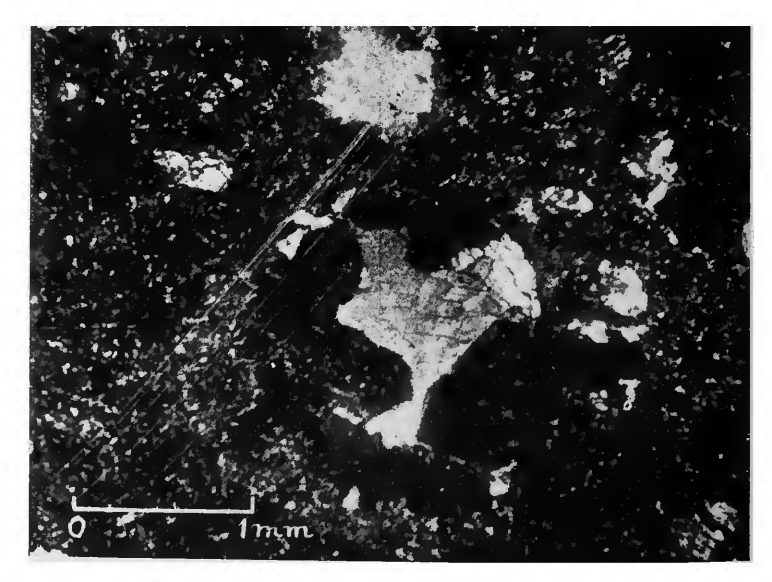
Fotomicrografia 1 — (Nicois cruzados-50x) — Fenocristais de olivina e titanoaug'ta, mergulhados num feltro constituído de biotita, magnetita, titanita e material isotropo
(analcità).



Fotomicrografia 2 — (Nícois cruzados-50x) — Fenocristais de olivina e, no centro, um cristal zonado de titanoaugita, mergulhados no feltro.



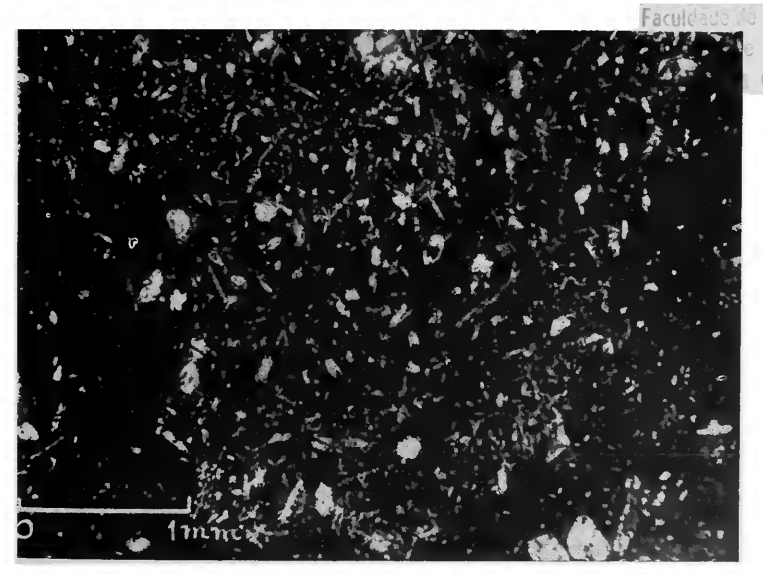
Fotomicrogrufia 3 — (Nícois paralelos-90x) — Cristal idiomorfo de olivina, mergulhado na base onde se distriguem cristais de magnetita, biotita e titanoaugita e a base siálica (analcita).



Fotomicrografia 4 — (Nicois cruzado-50x) — Amigdalu preenchida por calcita (observe-se a clivagem) e cristais isótropos de analc.ta de hábitos (211) mostrando clivagem (100) e ligeira birrefringência nos bordos.



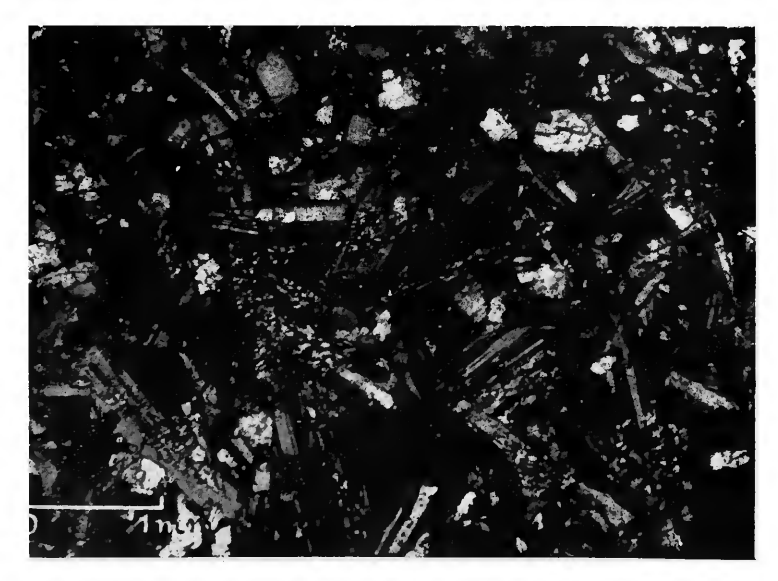
Fotomicrografía 5 — (Nícois paralelos-90x) — Zona diferenciada descrita no texto, onde são observados cristais bem desenvolvidos de biotita e de titanoaugita e a base (em branco) constituída de analcita.



Fotomicrografia 6 - Zona diferenciada da rocha Pv (b).



Fotomicrografia 7 - Xenocristais de plagicclásio mergulhados no corpo da rocha Pv (b).



Fotomicrografia 8 — Textura ofítica do diabásio — Cristais r'piformes de labradorita; cristais de augita e de magnetita.

CONTRIBUIÇÃO AO CONHECIMENTO DE ESTRUTURAS MIGMATÍTICAS NO COMPLEXO BRASILEIRO*

Rui Ribeiro Franco

(Da Universidade de São Paulo)

ABSTRACT

It is the purpose of this paper to present briefly the results of a study of the genetic relations of the migmatite structures of the area named Praia do Tombo, ilha Santo Amaro, State of São Paulo, Brazil. The migmatites in the area in question present the following petrographic features: the old rock, a biotite-hornblende gneiss, was intruded by granitic material whose main constituent is microcl'ne. The illustrations give an idea of forming process. Pegmatite dikes cutting through the migmatite rock has provoked the formation of a characteristic greisening zone by a process of metasomatic alteration.

INTRODUÇÃO

O estudo das rochas de origem "ultrametamórfica", isto é, das rochas comumente denominadas venitos, arteritos, migmatitos, palingenitos e diapiritos, Fenner (1914), Sederholm (1926), Stark (1935) Barth (1936), Guimarães (1937), Turner (1942), Turner e Verhoogen (1951, pp. 285, 297), Ramberg (1952) e outros, tem sido objeto de nossa cegitação, principalmente pela importância que elas representam para o conhecimento do embasamento arqueano do Brasil. Reconhecemos, evidentemente, que a nossa contribuição ao conhecimento dêste embasamento é limitada, tal é o grau de complexidade mineralógica, química e estrutural apresentada pelas rochas em questão. A nosso ver sòmente uma equipe constituida de especialistas poderá dizer a última palavra sôbre o assunto, principalmente quando se tratar de tirar conclusões mais amplas que abordem problemas de gênese global e tectonismo.

Exemplo característico do que acima foi dito verifica-se na bem conhecida serra do Mar, onde ocorrem, pràticamente, tôda sorte de ultra-

^(*) Trabalho realizado com auxílio do C.N.Pq.

metamorfitos. Assim, gnaisses venulados dêste complexo rochoso, frequentes em numerosos trechos da via Dutra (estrada de rodagem que liga as cidades de São Paulo e Rio de Janeiro) e pedreiras esparsas no planalto e litoral de São Paulo, não puderam até o presente ser totalmente diferenciados entre venitos e arteritos pois dificílima é a verificação da origem do material das veias e vênulas, isto é, se derivado da própria rocha, por exudação, ou se injetado a partir de um magma. Para muitos gnaisses fitados e lamelares por nós estudados ao longo de cortes da referida via é perfeitamente aconselhável o uso da expressão flebito. pois é quase impossível fazer-se qualquer distinção entre material segregado ou injetado. Problemas relativos à determinação do metassoma e paleossoma, respectivamente as partes mais recentes e mais antigas de uma área migmatizada ou assimilada, principalmente quando se trata de faixas pegmatitizadas, nem sempre tiveram solução. Se pudemos, em muitos casos, recorrer à hipótese da diferenciação metamórfica, Eskola (1932), para explicar a formação de gnaisses fitados e lamelares do litoral de São Paulo, em outros pareceu-nos aconselhável admitir fenômenos de injeção como fatores fundamentais de sua gênese, tal é o caso dos gnaisses de injeção das proximidades da ilha Porchat, na bahia de Santos. Há casos, referimo-nos a alguns gnaisses ocelares e facoidais, onde parece não haver a menor dúvida de que êstes se originaram pelo crescimento de porfiroblastos de feldspato (principalmente microclínio) em biotita xistos. Corpos pegmatíticos, muitas vezes concrecionários e constituidos predominantemente de quartzo, microclínio, albita e mica mostram-se rodeados de biotita e hornblenda, que formam verdadeiras molduras ao longo de todo o contacto do pegmatito com o biotita gnaisse e o biotita granito. O crescimento de tais pegmatitos provoca a concentração da biotita nos seus bordos, deixando as suas partes centrais sem êsse mineral fêmico.

Remanescentes de biotita xistos e biotita-hornblenda gnaisses de várias dimensões e forma no interior de alguns corpos pegmatíticos fortalecem a hipótese da existência de processos de substituição, migração e granitização. Pegmatitos quartzo-feldspáticos que cortam discordantemente biotita-hornblenda gnaisses da ilha Porchat (litoral de São Paulo) evidenciam nítido processo de substituição sem dilatação do gnaisse. Tal verificação é fácil por que as camadas gnaissícas dos dois lados dos diques pegmatíticos mostram perfeita continuidade. Pegmatitos de estrutura

estrangulada (pinch and swell structure) em gnaisses localizados na região de Santos e ao longo da via Dutra (E. do Rio de Janeiro) são bons indícios de que êstes pegmatitos se originaram por crescimento em rocha cristalina já formada, por que material magmático intrusivo não poderia produzir tais estruturas, Fig. 1, Ramberg (1952, p. 256).

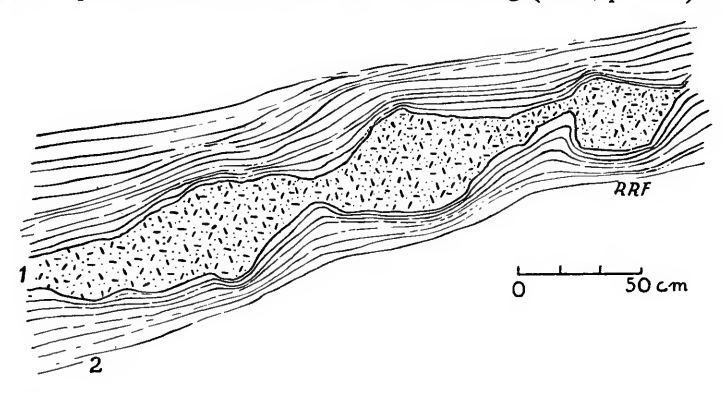


Figura 1 — Gnaisse de estrutura estrangulada (pinch and swell structure), via Dutra,
Estado do Rio. 1. Microclínio, quartzo e muscovita; 2. Biotita gnaisse

Maiores complicações surgem nas regiões onde ocorrem anfibolitos. Aqui não só existem as já conhecidas dificuldades da determinação de sua origem, como também a dificuldade de estabelecer as corretas relações dos fenômenos de injeção quartzo-feldspato que ocorrem nelas. Referimo-nos, especialmente ,ao caso das rochas epidoto anfibolíticas de Guaruíhos, SP, objeto de outro estudo que estamos ultimando.

O presente trabalho visa contribuir alguns dados para o esclarecimento de certas estruturas migmatíticas em rochas do litoral da ilha de Santo Amaro, Praia do Tombo, Fig. 2, no Estado de São Paulo.

Foram estudadas duas pedreiras de "Pedreira Santo Amaro Ltda", de propriedade do sr. Manoel Corrêa da Fonseca e trabalhadas desde julho de 1946. Situam-se nas proximidades da cidade de Guarujá e distam uma da outra cêrca de 250m.

Não levaremos em consideração questões de tectonismo. Nossas observações limitaram-se aos fenômenos extritamente ligados à migmatização.

Exame macroscópico

Os planos principais de diaclasamento dirigem-se para N65E e dividem a rocha das pedreiras em blocos tabulares verticais, seccionados algumas vezes pelas diaclases secundárias. Atravessando o corpo da pedreira, em direções que cruzam a diaclase principal, ocorrem veias pegmatíticas de espessuras variadas, contituidas predominantemente de feldspato róseo, albita e quartzo e disseminações de pirita, calcopirita, magnetita, mica e molibdenita. Os cristais de quartzo e feldspato atingem nestes pegmatitos dimensões de até 15cm. Diques e veias de textura aplítica, sacaróide e de coloração róseo-avermelhada são comuns.

No seio da massa principal da rocha das pedreiras — um granito com grandes cristais de feldspato róseo, quartzo e biotita, em certos pontos exibindo textura não orientada e em outros nitidamente orientado — distribuem-se massas escuras, de formas diversas e dimensões que

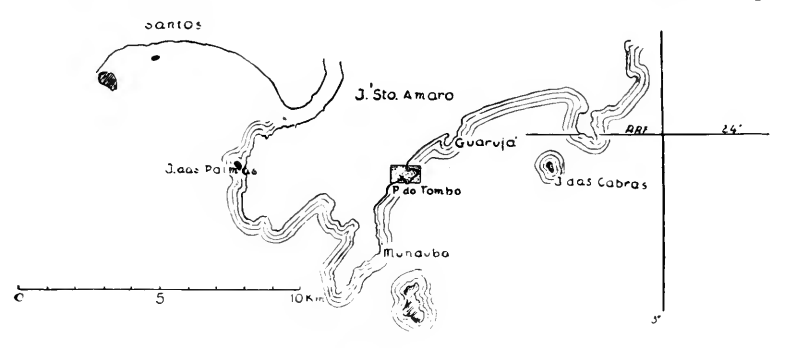
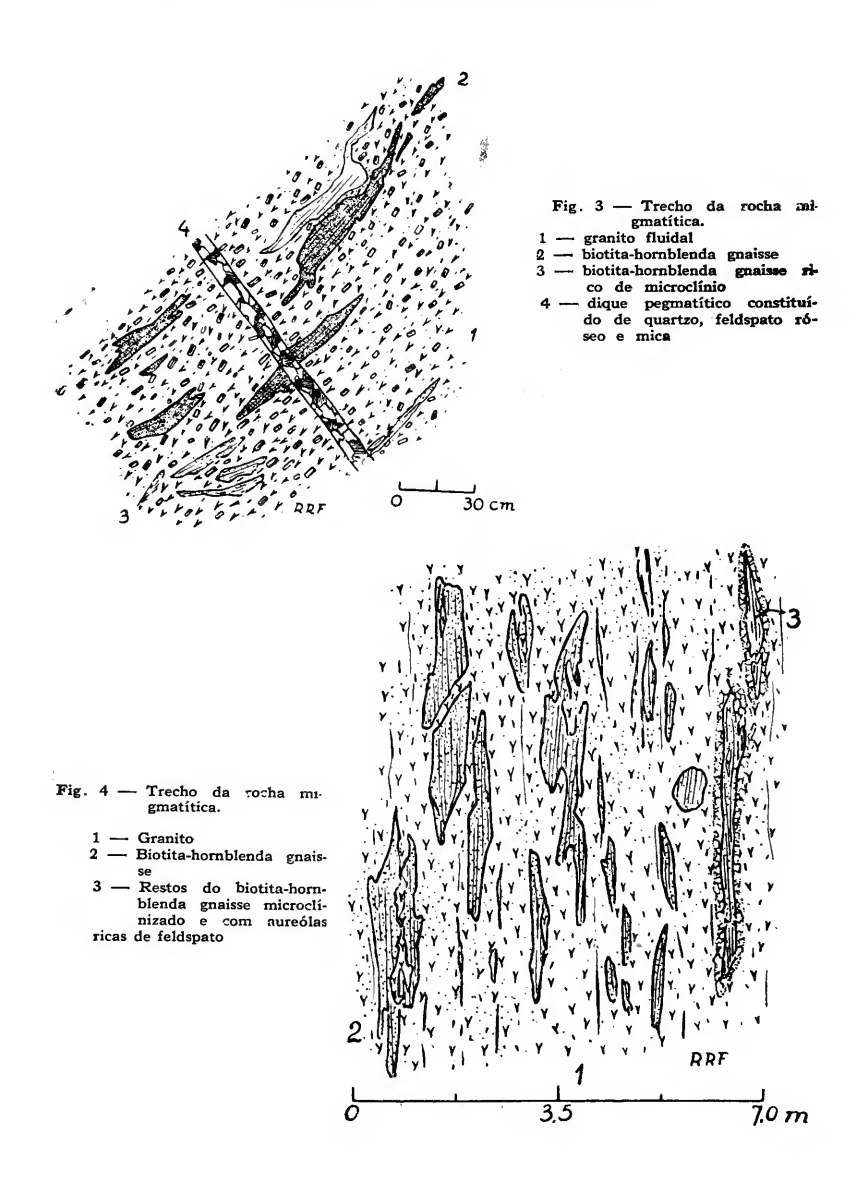


Figura 2

variam de alguns centímetros a muitos metros de comprimento e largura, Figs. 3, 4 e 5. Estas exibem colorações que vão do cinza claro ao preto. Sua direção na massa do granito porfiróide é aproximadamente N60W. Apresentam textura de rocha metamórfica, ora xistosa, ora gnaíssica, a biotita sendo o seu componente mais em evidência. Não fôsse a textura xistosa apresentada por êstes xenólitos e considerando-se sòmente os inteiramente isolados no granito, poder-se-ia pensar que êles fossem segregações de biotita formadas diretamente do magma granítico no início de sua consolidação. São muitas vezes cortadas por veias cla-



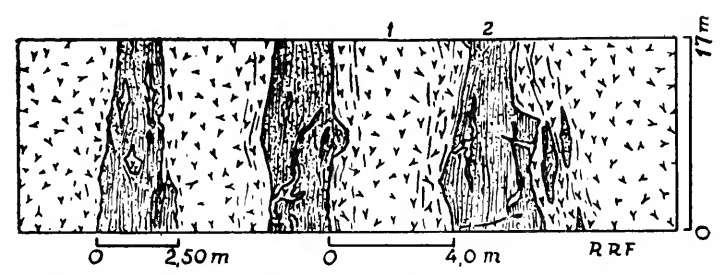


Fig. 5 — Secção principal da pedreira. 1 — granito. 2 — Biotita-horblenda gnaisse.

ras (quartzo-feldspato). Algumas massas acham-se circundadas por auréolas mais claras. No interior das massas escuras, principalmente ao longo dos planos de menor resistência, são comuns bem desenvolvidos cristais de pirita, calcopirita, esfeno e quartzo. Este último, não raro, apresenta-se sob a forma de cristais lenticulares.

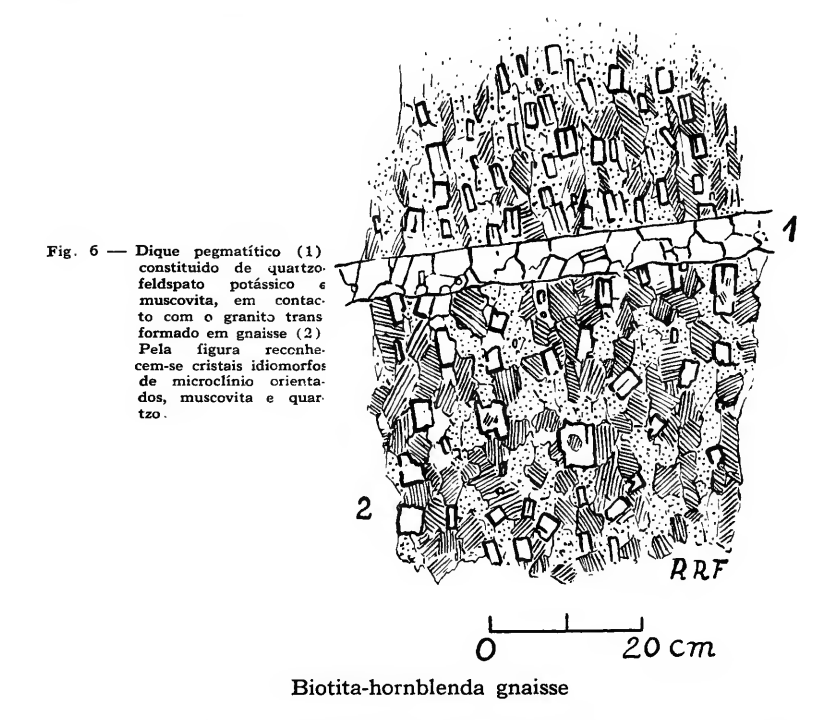
Verifica-se ,ainda macroscòpicamente, em certas regiões do granito, nítida textura orientada, na qual os cristais de feldspato róseo se distribuem com seus planos de geminação (plano 100, lei de Carlsbad) na direção de menor resistência do material escuro, isto é, coincidindo com a direção de gnaissificação.

Exame atento ao longo do contacto entre o granito e as veias ou diques de pegmatito revela que o primeiro sofreu modificação não só em sua textura mas também em sua composição mineralógica, pois nota-se evidente enriquecimento do granito em muscovita. Outro fato para o qual tivemos nossa atenção voltada foi para a maior modificação sofrida pelo granito na parte inferior da veia. A formação de mica a par tir da veia é mais intensa ao longo dos planos de menor resistência do granito, Fig. 6. A transformação é visivelmente restrita pois a distância máxima medida a partir dos diques pegmatíticos não ultrapassou 35cm. Na faixa de alteração o granito passa a um graisen característico com os feldspatos parcial ou totalmente substituidos por mica e calcita.

Exame microscópico

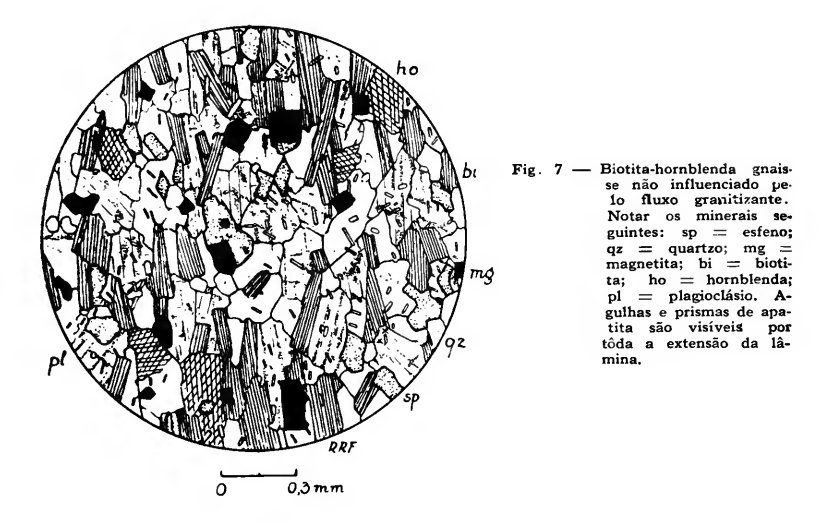
O exame microscópico de numerosas amostras selecionadas das áreas mais representativas das pedreiras confirmou nossas primeiras idéias.

Trata-se, sem dúvida, de rochas migmatizadas, pois é fácil reconhecer mistura de rochas, sendo o granito um dos componentes, isto é, o metassoma.

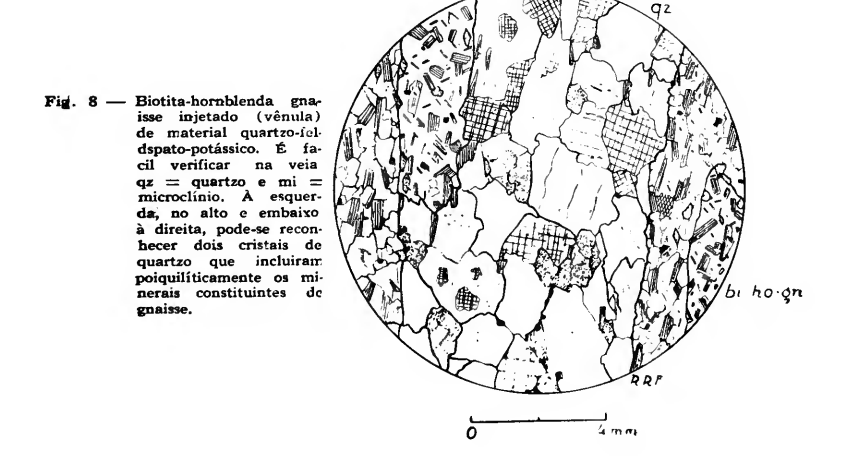


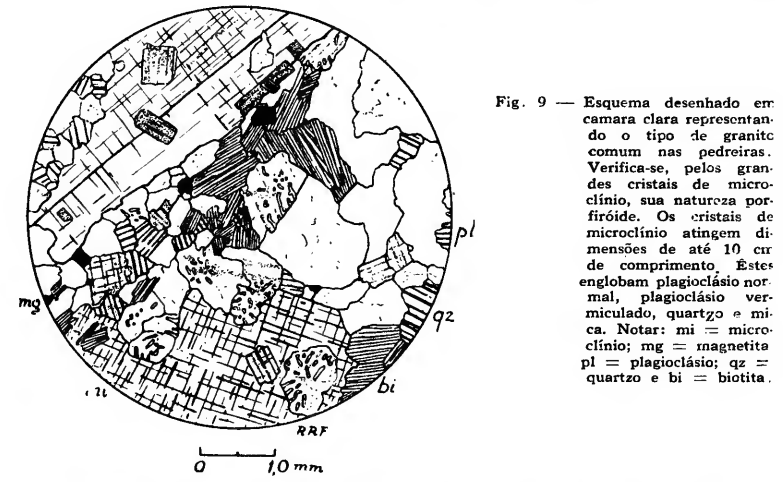
As massas escuras, englobadas pelo granito, exibem textura gnaíssica, Fig. 7. Uma dessas massas, a que julgamos menos atingida pela manifestação granítica que aí se estabeleceu, e que apresentava coloração pràticamente preta, tinha a seguinte composição mineralógica:

Plagioclásio (oligoclásio-andesina)	44.0
Quartzo	26.0
Biotita	13.0
Hornblenda	7.0
Esfeno	5.0
Apatita, Epídoto, Magnetita, Clorita, Zircão	Ortoclásio 5.0



A textura é granoblástica passando em alguns pontos a lepidoblástica xistosa. Os restos do biotita-hornblenda gnaisse atingidos e infiltrados pelo material granítico tornam-se bem mais claros, passando de preto para cinza, até cinza bem claro. Lâminas delgadas dêsse material põem





em evidência a intensa microclinização que ai teve lugar. O biotita--hornblenda gnaisse que pràticamente não possui feldspato potássico enriquece-se de microclínio que invade, substitui e engloba o gnaisse. Fig. 8. Restos de quartzo, plagioclásio, biotita, hornblenda e esfeno englobados no microclínio formado durante a infiltração do material granitizante dão-lhe característica textura poiquilítica. Desenvolvem-se texturas micropegmáticas e mirmequíticas nas áreas injetadas. Os principais elementos para a identificação do que fôra antes o gnaisse (referimo nos às áreas intensamente injetadas) são o esfeno (=titanita) e os cristais de microclínio que englobam os restos dos minerais do gnaisse. Em tais casos palecssoma e metassoma se intermisturam tão intimamente a ponto de formar um granito de granulação fina a média, perfeitamente homogêneo e uniforme, ao mesmo tempo rico de microclínio, quartzo, plagioclásio, biotita, hornblenda e esfeno, Fig. 9. O quartzo, que não raramente substitui plagioclásios inalterados e saussuritizados e biotita, é por sua vêz substituido por microclínio e feldspato pertítico.

CONCLUSÕES

Embora reconheçamos, pelas evidências de campo e análises petro gráficas a existência de numerosas e extensas áreas migmatíticas em rochas pré-cambrianas do complexe cristalino brasileiro, julgamos opor-

tuno e prudente deixar aberta a questão de sua origem. Dizer que os migmatitos agora estudados tenham se originado exclusivamente por ação de fluxos viscosos de natureza granítica que penetraram o hornblenda-biotita gnaisse seria, provàvelmente, incorrer em êrro. É bem possível que simultâneamente ao processo de injeção tenham ocorrido fenômenos de refusão, recristalização e substituição. Intercrescimentos gráficos e mirmequíticos, efeitos cataclásticos e textura cristaloblásticas, contactos irregulares, bordos corroidos, minerais alterados invadidos por outros inalterados falam em favor de fenômenos deuteríticos e de substituição.

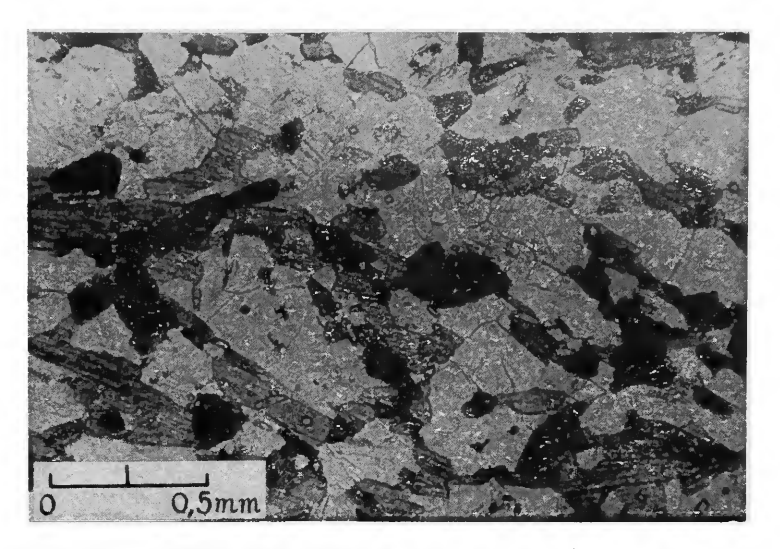
A nosso ver a sequência de fenômenos teria sido a seguinte:

- a) Fluxo de material granítico penetrou hornblenda-biotita gnaisse (é bem possível que êste último tivesse sido anteriormente hornblenda-biotita xisto) de òrigem duvidosa isto é, se magmática ou sedimentar.
- b) Intrusão do hornblenda-biotita gnaisse mais o fluxo granítico por magmas viscosos que formariam massas graníticas não contaminadas pelo material do gnaisse.
- c) Formação dos diques de pegmatito que cortam o granito e o hornblenda-biotita anteriormente injetado. Formação das faixas graisenficadas.

BIBLIOGRAFIA

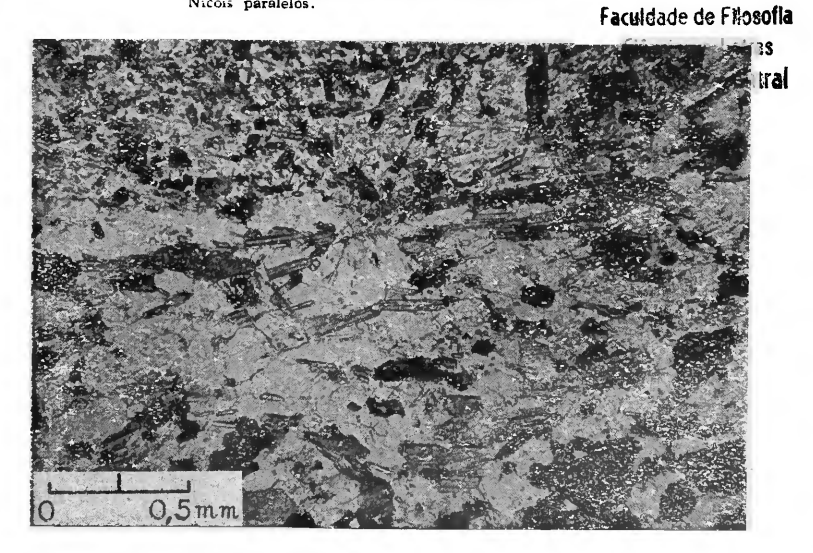
- BARTH, T. F. W. (1936), Structural and Petrologic studies in Dutchess County, New York: Geol. Soc. America Bull., vol. 47, pp. 803-806, 825-832.
- ESKOLA, P. (1932), On the Principles of Metamorphic Differentiation: Comm. Geol. Filand Bull. n.o 97, pp. 68-77.
- FENNER, C. N. (1914), The Mode and Formation of Certain Gneisses in the Highlands of New Jersey: Jour. Geology, vol. 22, p. 701.
- GOLDSCHMIDT, V. M. (1922), On the metasomatic processes in silicate rocks: Economic Geology, vol. XVII, pp. 105-123.
- Guimarães, D. (1937), Contribuição à Metallogenese do Massiço Brasileiro: Dep. Nac. Prod. Mineral, Bol. 16, pp. 1-86.
- RAMBERC, H. (1952), The origin of Metamorphic and Metasomatic Rocks: The University Chicago Press, Chicago U.S.A., pp.

- SEDERHORM, J. J. (1926), On Migmatites and Associated Pre-Cambrian Rocks of South-Western Finland: Comm. Geol. Finland Bull.n.º 77, pp. 1-143.
- STARK, J. T. (1935), Migmatites of the Sawatch Range, Colorado: Jour. Geology, vol. 43, pp. 1-26.
- Turner, F. J. (1948), Mineralogical and Structure evolution of the metamorphic rocks: Mem, Geol. Soc. Am., 30.
- TURNER, F. J. and VERHOOGEN, J. (1951), Igneous and Metamorphic Petrology: McGraw-Hill Book Company, Inc., New York, Toronto Londres.

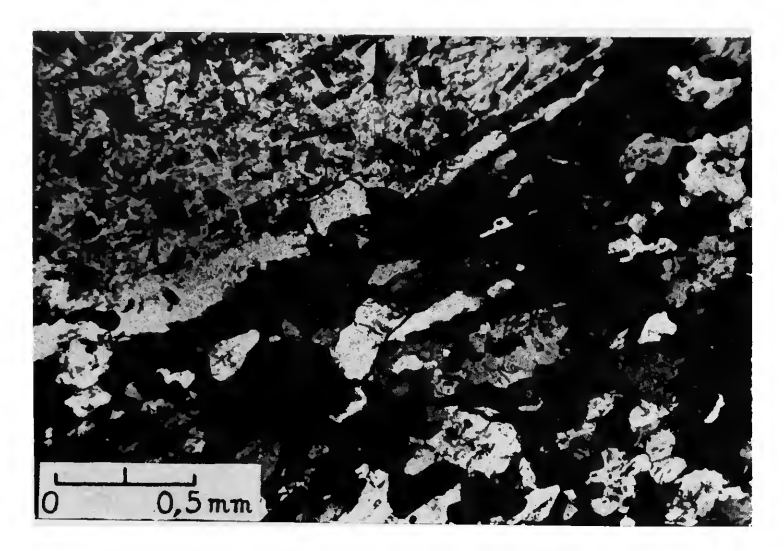


Ectemorografia 1 — Biotita-hornblenda gnaisse. Mineral escuro, alto relêvo—esfeno; mineral cinza com traços de chivagem om uma só direção—biotita; minerais incolores—quartzo, ortoclásio-plagioclásio. Agulhas de apatita e cristaisinhos de magnetita são também visíveis na fotografia.

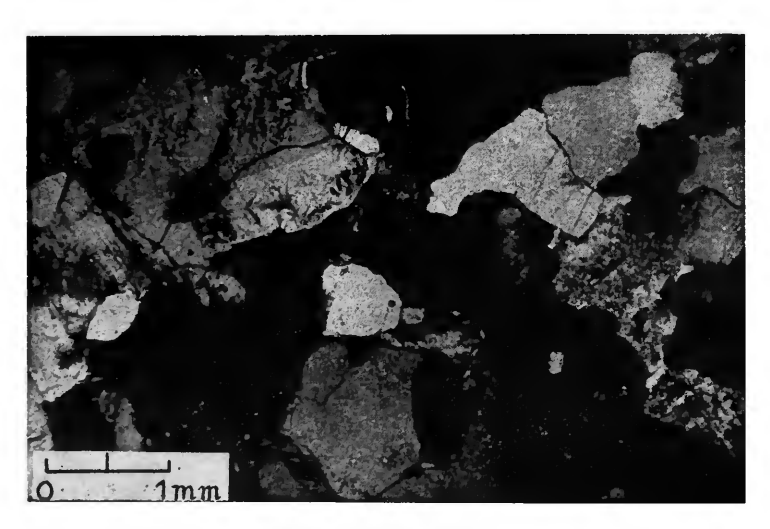
Nicois paralelos.



Fotomicrografia 2 — Biot'ta-hornblenda gnaisse. Na parte superior da fotografia pode ser vista irregular aglomeração de cristaisinhos de biotita, hornblenda, esfeno, apatita e feldspato no interior de um cristal de quartzo que penetrou o gnaisse. Nícois paralelos.



Fotomicrografia 3 — A mesma de n.º 2 com nicois cruzados.



Fotomicrografia 4 - Grenito

Faculdade de Flicaciia



Fotomicrografia 5 — Granito. Nesta fotografia são visíveis quartzo, ortoclásio, microclínio plagioclás'o, biotita e um grânulo mirmequítico.

APLICAÇÕES DA TRIGONOMETRIA ESFÉRICA EM PROBLEMAS DA SIMETRIA CRISTALOGRÁFICA

WILLIAM G.R. DE CAMARGO (da Universidade de São Paulo)

ABSTRACT

The present article deals with the application of elementary spherical trigonometry to solution of symmetry problems. The main purpose of the article is to point out symmetry axis associations, and to show the possibilities and impossibilities of several associations, revealed through spherical trigonometric relations.

The following axis associations have been a matter of study:

a) 6 + 6; b) 4 + 4; c) 2 + 2; d) 6 + 3; e) 6 + 4; f) 6 + 2; g) 4 + 3.

For solution of all the proposed problems only one trigonometric formula has been used: $\cos a = \cos b \cos c + \sin b \sin c \cos A$ which is applicable to scalene triangles.

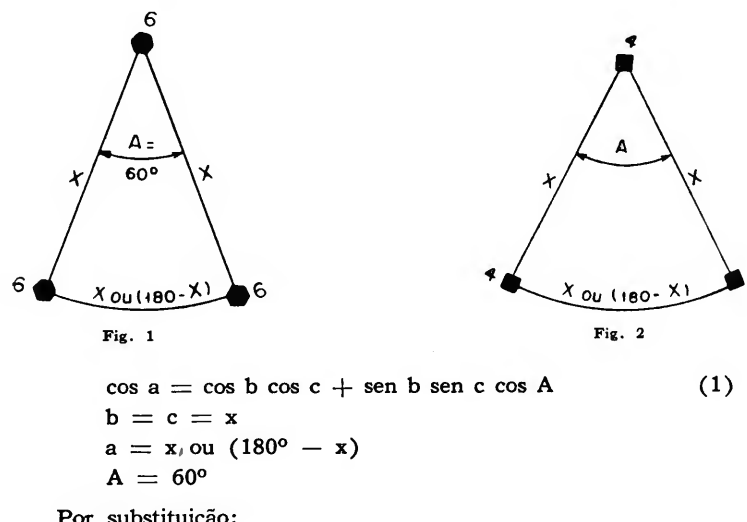
Em trabalho anterior (1) foi estudada a combinação de eixos ternários nos cristais, tendo sido discutido como essa combinação poderia ser resolvida com relativa facilidade por intermédio da trigonometria esférica.

No presente artigo serão tratadas associações de eixos de simetria de outras ordens, recorrendo ao mesmo método trigonométrico. Parte-se de uma dada hipótese, e se esta for incompatível, isto será revelado atravéz das deduções matemáticas, pelo aparecimento de resultados absurdos ou imaginários.

Os seguintes casos de associações serão objeto de análise no presente artigo: a) 6 + 6; b) 4 + 4; c) 2 + 2; d) 6 + 3 e) 6 + 4; f) 6 + 2; g) 4 + 3.

a) Associação 6 + 6 — Supondo-se um eixo senário vertical e a êle associado um segundo eixo da mesma ordem, fazendo com o primeiro um certo ângulo x, desconhecido, o segundo eixo deve ser repetido seis vezes em um giro de 360°, em virtude da lei de recobrimento. O ângulo de recobrimento é igual a 60º e igual também ao ângulo interno do triângulo esférico formado por três eixos senários vizinhos (fig. 1).

Pela fig. 1, aplicando a fórmula geral da trigonometria esférica para triângulos escalenos, ter-se-á:



Por substituição:

$$\pm \cos x = \cos^{2}x + \sin^{2}x \cos 60^{\circ}$$

$$\pm \cos x = \cos^{2}x + \frac{1}{2} \sin^{2}x$$

$$\pm \cos x = \cos^{2}x + \frac{1}{2}(1-\cos^{2}x)$$

$$\cos^{2}x \pm 2 \cos x + 1 = 0$$
(2)

Resolvendo esta equação trigonométrica (2) do segundo grau:

$$\cos x = \frac{\pm 2 \pm \sqrt{4 - 4}}{2} = +1 \text{ ou } -1$$

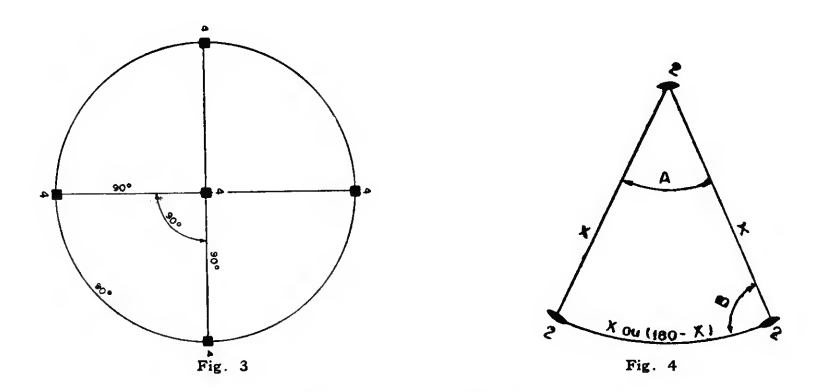
$$\vdots$$

$$. \quad x = 0^{\circ} \text{ ou } 180^{\circ}$$

Conclue-se, por conseguinte, pela existência de um único 6 e qualquer associação entre eixos senários é absurda.

b) Associação 4 + 4 — No caso dos eixos quaternários será feita a mesma suposição inicial imaginada para os eixos senários. Assim, por aplicação da fórmula (1) (fig. 2):

Nos resultados 0° e 180° , haverá existência de um único 4, polar no primeiro caso e bipolar no segundo. Para $x=90^{\circ}$, aparecem três eixos quaternários bipolares, em conseqüência do recobrimento tetrassimétrico (fig. 3).

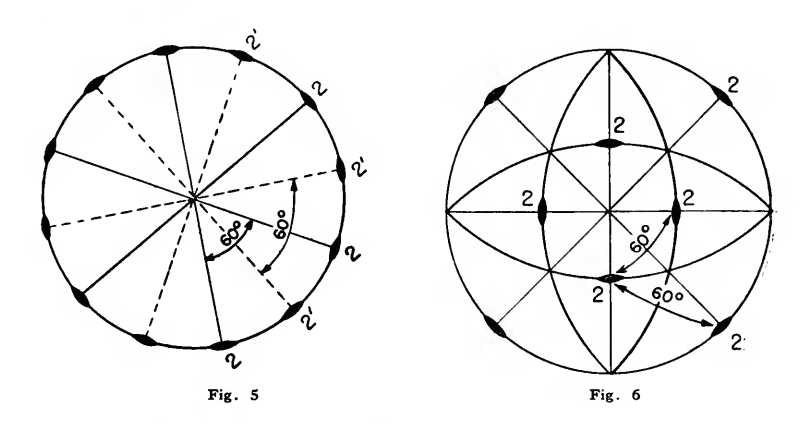


c) Associação 2+2 — Considerando a fig. 4 e aplicando-se a fórmula (1) novamente:

$$\begin{array}{l} \pm \cos x_0 = \cos^2 x + \sin^2 \cos 180^{\circ} \\ \pm \cos x = \cos^2 x - \sin^2 x \\ 2 \cos^2 x \pm \cos x - 1 = 0 \\ \text{Resolvendo esta equação (4):} \\ \cos x = +1, -1, +\frac{1}{2}, -\frac{1}{2} \\ x_0 = 0^{\circ}, 180^{\circ}, 60^{\circ}, 120^{\circ} \end{array}$$

Nos dois primeiros casos deve aparecer um único 2, polar e bipolar respectivamente. Quando $x = 60^{\circ}$, dois casos são possíveis: 1- sistema hexagonal, nas classes onde ocorrem seis eixos binários (três de uma espé-

cie e três de outra) (fig. 5); 2- sistema monométrico, nas classes que possuem seis 2 equivalentes, (fig. 6). Para $x = 120^{\circ}$, o caso representa o sistema trigonal, quando ocorrem três 2 polares (fig. 7)



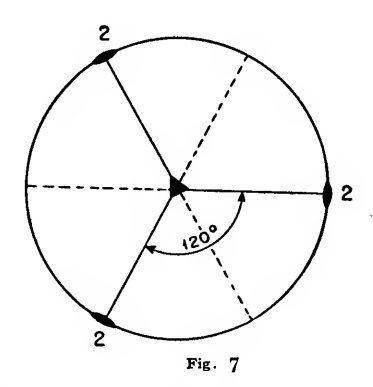
Existem ainda classes de simetria, onde aparecem eixos binários ortogonais. São certas classes de simetria do sistema monométrico (da pirita com grao de simetria m3 e da ullmanita com grao de simetria 23) e algumas classes do sistema rômbico (da barita, mmm, e da epsomita, 222).

Para provar a ortogonalidade dos eixos binários nestes casos, deverás ser seguido caminho inverso daquele utilizado até agora. Antes conhecia-se A e procurava-se x; agora será admitido um valor para x e A será calculado. Pela simetria, verifica-se posteriormente a viabilidade da hipótese. Considerando a fig. 4:

cos a = cos b cos c + sen b sen c cos A
a = x ou (180° -x)
b = c = x = 90°
cos x =
$$\cos^2 x + \sin^2 x \cos A$$

cos 90° = $\cos^2 90$ ° cos A
cos A = O
A = 90°

O ângulo A entretanto, não deve aqui ser considerado como período do eixo binário, que continua e deve ser 180°. A deve constituir apenas o ângulo interno do triângulo esférico, formado por três eixos binários imediatamente vizinhos. No sistema rômbico, os três eixos são de espécies diferentes, e no sistema monométrico, embora os três 2 sejam equivalentes e da mesma espécie, a configuração completa do grao de simetria, o qual ainda pode envolver a presença de eixos ternários polares, assegura o período de 180° para os eixos binários (fig. 8 e 9).



d) Associação 6 + 3 — O ângulo entre dois eixos ternários, como iá foi deduzido em artigo anterior (1):

$$y = 0^{\circ}$$
, 180°, 109° 28' 16"

Aplicando a fórmula (1) ao triângulo da fig. 10:

$$\cos y = \cos^2 x + \frac{1}{2} \sin^2 x$$

porque $A = 60^{\circ} e \cos 60^{\circ} = \frac{1}{2}$

$$\cos y = \cos^2 x + \frac{1}{2} (1 - \cos^2 x)$$

 $\cos^2 x = 2 \cos y - 1$

$$\cos^2 x + 1 = 2 \cos y$$

Dando valôres sucessivos a y (Oo, 1800, 1090 28' 16"), teremos:

$$\cos^2 x + 1 = 2 \cos O^o$$

$$\cos x = \pm 1$$
 $x = 0^{\circ}$ ou 180°

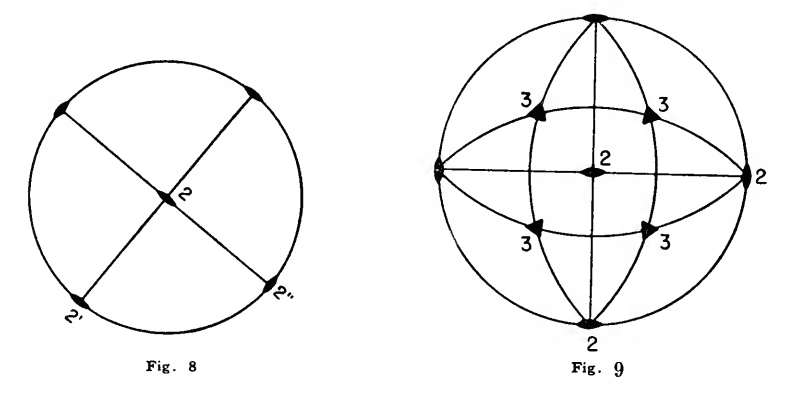
$$\cos^2 x + 1 = 2 \cos 180^\circ$$

$$\cos^2 x = -3$$

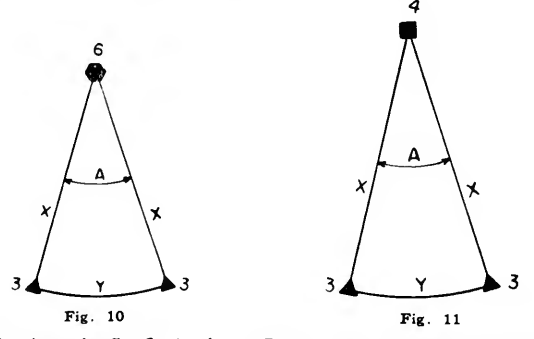
cos x = imaginário

 $\cos^2 x + 1 = 2 \cos 109^{\circ} 28' 16''$ $\cos^2 x + 1 = 2 . -0.3334$ $\cos^2 x = -1.6668$ $\cos x = imaginário$

No primeiro caso (x = O° ou 180°), 6 deve coincidir com 3, hipótese esta redundante, pois o eixo senário pode funcionar como ternário. As duas outras hipóteses são absurdas, em virtude dos resultados imaginá-



rios. A conclusão final é pela impossibilidade dentro da simetria cristalográfica da associação de eixo senário com ternário.



e) Associação 6 + 4 — Por nova aplicação da fórmula (1): $\cos y = \cos^2 x + \sin^2 x \cos A$ $\cos y = \cos^2 x + \frac{1}{2} \sin^2 x$

$$\cos y = \cos^2 x + \frac{1}{2} (1 - \cos^2 x)$$

 $2 \cos y = \cos^2 x + 1$ (5)

Os valores possíveis de y, ângulo 4-4 são O°, 180°, e 90°. Substituindo êstes valores na equação (5):

$$2\cos O^\circ = \cos^2 w + 1$$
 $\cos^2 x = 1$
 $\cos x = \pm 1$
 $x = O^\circ$ ou 180°
 $2\cos 180^\circ = \cos^2 x + 1$
 $\cos^2 x = -3$
 $\cos x = \text{imaginário}$
 $2\cos 90^\circ = \cos^2 x + 1$
 $\cos^2 w = -1$
 $\cos x = \text{imaginário}$

Nos três casos os resultados são absurdos. No primeiro por incompatilidade, pois um eixo senário não pode ser ao mesmo tempo um quaternário, e nos demais pelos resultados imaginários.

f) Associação 6 + 2 — Foi visto anteriormente que o ângulo y, entre dois eixos binários poderia assumir os seguintes valores: 0°, 60° 90°, 120° e 180°. Por aplicação da fórmula (1):

$$\cos y = \cos^2 x + \frac{1}{2} \sin^2 x$$

 $\cos^2 x = 2 \cos y - 1$ (6)

Substituindo os valores possíveis de y nesta equação (6):

$$\cos^2 x = 2 \cos 0^\circ - 1$$
 $\cos^2 x = 1$
 $\cos x = \pm 1$
 $x = 0^\circ \text{ ou } 180^\circ$
 $\cos^2 x = 2 \cos 60^\circ - 1$
 $\cos^2 x = 2 \cdot \frac{1}{2} - 1$
 $\cos x = 0$
 $x = 90^\circ$
 $\cos^2 x = 2 \cos 90^\circ - 1$
 $\cos^2 x = -1$
 $\cos x = imaginário$
 $\cos^2 x = 2 \cos 120^\circ - 1$
 $\cos^2 x = -2 \cdot \frac{1}{2} - 1$
 $\cos^2 x = -2$
 $\cos x = -imaginário$
 $\cos^2 x = 2 \cos 180^\circ - 1$
 $\cos^2 x = -3$
 $\cos x = imaginário$

Em tôdas as substituições, sòmente as duas primeiras são viáveis. No primeiro caso deveria haver coincidência de 6 com 2, o que constitui uma redundância, pois o eixo senário pode funcionar como binário. No segundo caso, o ângulo 6-2 deve ser igual a 90°, fato que sucede no sistema hexagonal.

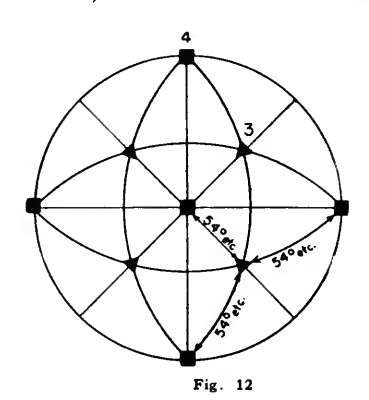
g) Associação 4 + 3 — Considerando a fig. 11, o ângulo 3-3 (y) apenas pode assumir os seguintes valores: Oo, 180o, e 109o 28 16". O ângulo interno A é igual a 90o, em virtude do período do eixo 4. Aplicando-se a fórmula (1):

$$\pm \cos y = \cos^2 x + \sin^2 x \cos A$$

 $\pm \cos y = \cos^2 x$

Substituindo os valores possíveis de y nesta última equação:

$$\pm \cos 0^{\circ} = \cos^{2}x$$
 $\cos^{2}x = \pm 1$
 $\cos^{2}x = + 1$
 $x = 0^{\circ}$
 $\cos^{2}x = - 1$
 $x = \text{imaginário}$
 $\pm \cos 180^{\circ} = \cos^{2}x$
 $\cos^{2}x = \pm 1$
 $\cos^{2}x = \pm 1$
 $\cos^{2}x = + 1$
 $x = 0^{\circ}$
 $\cos^{2}x = - 1$
 $x = \text{imaginário}$
 $\pm \cos 109^{\circ} 28' 16'' = \cos^{2}x$
 $\cos^{2}x = \pm 0,3334$
 $\cos^{2}x = + 0,3334$
 $x = 54^{\circ} 44' 09''$
 $\cos^{2}x = - 0,3334$
 $x = \text{imaginário}$



Dos resultados obtidos apenas dois se mostram viáveis. Porém, quando x = 0°, embora a solução matemática esteja certa, existe incompatibilidade, pois em tal caso deveria ser admitida a coincidência de 4 com 3, o que constitue um absurdo. O único ângulo possível, portanto, entre um eixo quaternário e um ternário é 54° 44' 08" (fig. 12)

Qualquer que seja, por conseguinte a associação entre eixos de simetria imaginada, tal associação poderá ser confirmada ou rejeitada por dedução matemática, aplicando-se simplesmente uma fórmula elementar da trigonometria esférica.

Referências bibliográficas

- 1. CAMARGO, W.G.R. Associação de eixos ternários na simetria cristalográfica, Ciência e Cultura vol. 6, n. 3, 1954, pg. 132.
- 2. HAMMOND, J.R. (1934) Concise spherical trigonometry.
- Niggli, P. (1919) Geometrische Kristallographie des Deskontinuums.
- 4. NIGGLI, P. (1924) Lehrbuch der Mineralogie.

ARSENOPIRITA DE JUCA VIEIRA, CAETÉ, MINAS GERAIS, BRASIL

RUI RIBEIRO FRANCO e WILLIAM G.R. de CAMARGO (Da Universidade de São Paulo)

ABSTRACT

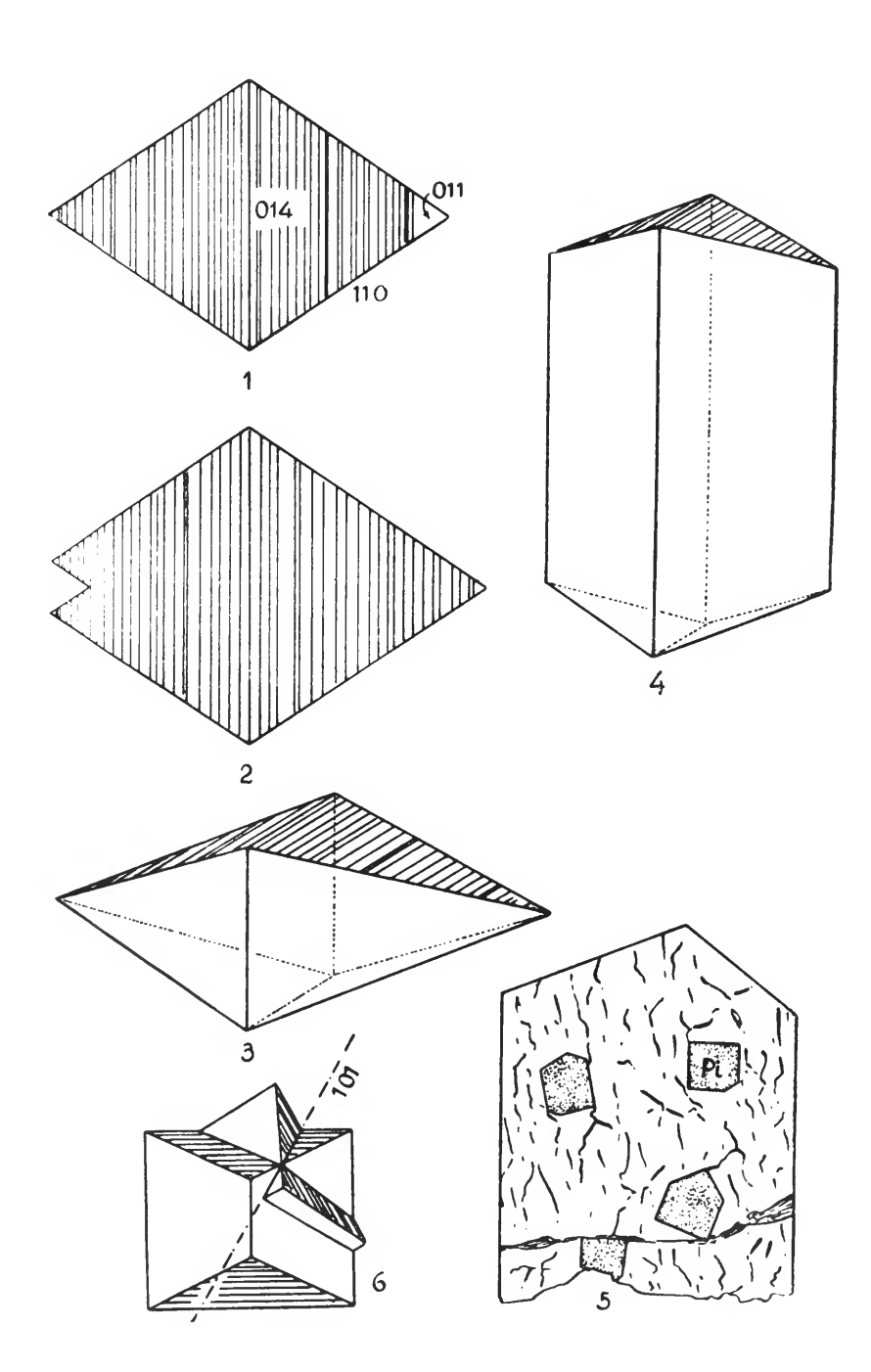
Well-formed arsenopyrite crystals occur included into sericite talc schists, associated with pyrite. The arsenopyrite, commonly twinned after (101) and (110), shows the following crystallographic forms: (110), (014) and more rarely (001) and (011). The arsenopyrite is frequently fractured, exhibiting inclusions of euhedral pyrite crystals, which probably have been formed through replacement by penetration of forming solutions into the arsenopyrite small cracks.

Na mina de ouro Juca Vieira, município de Caeté, Estado de Minas Gerais, ocorrem cristais de arsenopirita e pirita que, associados ao quartzo, penetram sericita-talco xistos segundo suas direções de menor resistência.

Arsenopirita e pirita ocorrem sob a forma de cristais bem formados, ora isoladamente, ora formando agregados irregulares. A arsenopirita apresenta-se comumente em geminados. A pirita, não raro, encontra-se inteiramente limonitizida, enquanto a arsenopirita mostra suas faces brilhantes e inalteradas.

Os cristais de arsenopirita, comumente não ultrapassando 1 centímetro de diâmetro, apresentam-se de hábito simples sendo constituidos, de preferência pelas formas (110)*, (014) e mais raramente (001) e (011), Figs. 1, 2, 3, 4 e 7. Mesmo nos indivíduos geminados o hábito é ainda muito simples. Crescimentos paralelos são relativamente frequentes, Fig. 2. Característica e constante é a estriação das faces cor respondentes ao prisma horizontal (014). O desenvolvimento desigual dos prismas vertical e horizontal dão aos cristais formas ora achatadas, Fig. 3, ora alongadas, Fig. 4.

^{*} Seguindo a nova orientação, que visa facilitar a impressão, escreveremos os símbolos de formes entre parêntesis e os símbolos de faces sem qualquer assinalação especial.



Os geminados são essencialmente de dois tipos: segundo (101) e segundo (110), Figs. 6 e 7. Predominam, nitidamente, os primeiros.

Cristais de arsenopirita observados ao microscópio de reflexão, em secções polidas, revelam fendilhamento muito pronunciado em várias direções, Fig. 5. Inclusões de cristais idiomorfos de pirita são comuns na arsenopirita. Estas inclusões ter-se-iam formado por metassomatismo, as soluções formadoras tendo penetrado a arsenopirita através de suas fendas. O carater idiomorfo da pirita deve-se, provàvelmente, à grande fôrça de cristalização dêste mineral. Uma das evidências mais importantes da substituição da arsenopirita pela pirita é o fato dêste último mineral ser encontrado, com frequência, ao lado de fendas. Outra evidência reside na falta de fendilhamento pronunciado nos cristais de pirita.

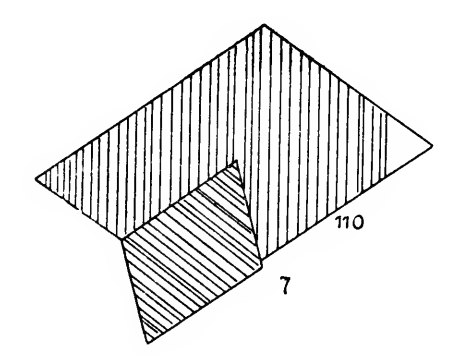


Fig. 7 — Éste tipo de geminação foi encontrado sòmente em três cristais de ums partida de 380.

O exame microquímico foi realizado com o CsCl sólido. Em primeiro lugar alguns fragmentos microscópicos de arsenopirita foram colocados sôbre uma lâmina e atacados a quente sôbre chama de alcool, com HNO₃ 1:1. O resíduo insolúvel foi atacado com HCl 1:5 e em seguida foi adicionado pequeno fragmento de clorêto de césio. Com evaporação formaram-se cristais amarelo-castanho na periferia da gota, de clorêto duplo césio e ferro, o que denuncia a presença do elemento ferro. O teste microquímico foi realizado, entretanto, mais com a finalidade de verificar possível existência de cobalto. Porém, não se formaram os cristais típicos, azuis, de clorêto duplo de césio e cobalto, fato que comprova ausência de Co, mesmo em pequenas proporções.

AGRADECIMENTOS

Os autores agradecem ao prof. dr. Djalma Guimarães as amostras do material objeto dêste estudo.

BIBLIOGRAFIA

DANA, J. D. (1920), The System of Mineralogy: pg. 97.

HINTZE, C. (1904), Handbuch der Mineralogie: Bd. I, pg. 833.

PALACHE, C., BERMAN, H., FRONDEL, C. (1944): The System of Mineralogy: v. I, pg. 315.

SHORT, M. N. (1948), Microscopic determination of ore minerals: Bull. U. S. Geol. Surv. 914.

SÔBRE UMA ROCHA COM ESCAPOLITA DE ACOPIÁRA, ESTADO DO CEARÁ

Rui Ribeiro Franco

(Universidade de São Paulo)

ABSTRACT

This paper deals with a lime-magnesia-silicate-rock produced by metamorphic, metassomatic, and pneumatolytic metamorphism. Especial attention is given to the mineralogical composition and the production of scapolite. Apatite, a common associate of scapolite occurs scarcely in the rock

This scapolitized lime-silicate-rock occurs in a belt formed by carbonate rocks.

RESUMO

O autor descreve e analisa exemplar de rocha calco-silicática da região de Acopiára, Estado do Ceará. Os constituintes principais: diopsidio, feldspatos, β -zoisita apresentam-se em boa

parte substituidos por escapolita. Embora o autor não tenha feito observações "in situ" deduz, pela presença na região de Acopiara de calcários, dolomitos e rochas com magnesita, que a rocha escapolitização originou-se em consequência de fenômenos de metamorfismo termal e metassomático.

INTRODUÇÃO

Esta nota preliminar dá conta de um exemplar de rocha que nos foi enviado para estudo pelo sr. Fausto Magalhães, residente em Fortaleza, Ceará, Brasil. Procede da localidade de Acopiára, Estado do Ceará, região próxima de Iguatu, onde ocorrem extensas jazidas de calcários, dolomitos e rochas magnesíticas.

Publicamos o resultado de nossas observações por termos verificado tratar-se de rocha "sui generis" no Brasil, se levarmos em consideração a sua composição mineralógica e textura. Não pudemos fazer verificações "in situ" sôbre as relações de campo. Julgamos, entretanto, oportuno, lembrar que associações como a descrita a seguir, são comuns em rochas calcárias que sofreram metamorfismo termal e fenômenos pneumatolítices com introdução de cloro ou fluor.

AGRADECIMENTOS

O autor agradece aos que prestaram colaboração no decorrer dêste trabalho: Dr. José Moacyr Viana Coutinho pelas sugestões apresentadas; Sr. Oscar G. Campiglia pela execução das fotomicrografias; Srs. Deocleciano Soares de Araujo e Italo Bello pela confecção das lâminas delgadas que possibilitaram as várias fases do trabalho e à Companhia Paulista de Mineração por ter providenciado gentilmente, a análise química da rocha estudada.

MORFOLOGIA

A rocha na observação macroscópica apresenta-se de côr branco-acin zentado, massiça, exibindo em algumas regiões minerais de aspecto fibroso e lamelar. Listas sub-paralelas e manchas de coloração cinza menos regulares na distribuição, denunciam que a rocha não é homogênea Fig. 1.

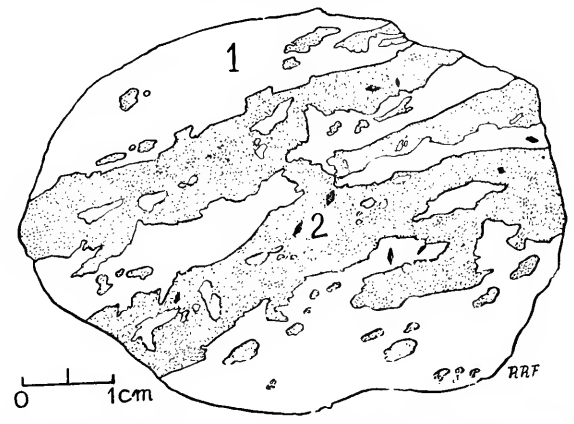


Fig. 1 — Secção polida da rocha com escapolita. Acopiára, Ceará. As áreas brancas (1) representam as faixas ou regiões onde há predominância de escapolita. As áreas (2) representam as faixas com diopsídio. Os pontos escuros de forma losangular são cristais idiomorfos de titanita.

Mesmo sem lupa é fácil verificar, embora escassos, pequenos cristais escuros, de forma navicular ou achatada. Não nos foi possível isolar cristais individuais. A rocha é resistente ao choque e apresenta dureza ao redor de 5,5. O pêso específico resultou 2,88. Ao contacto com ácido clorídrico diluido, 1:1, mesmo sem triturar, há efervescência à maneira da calcita.

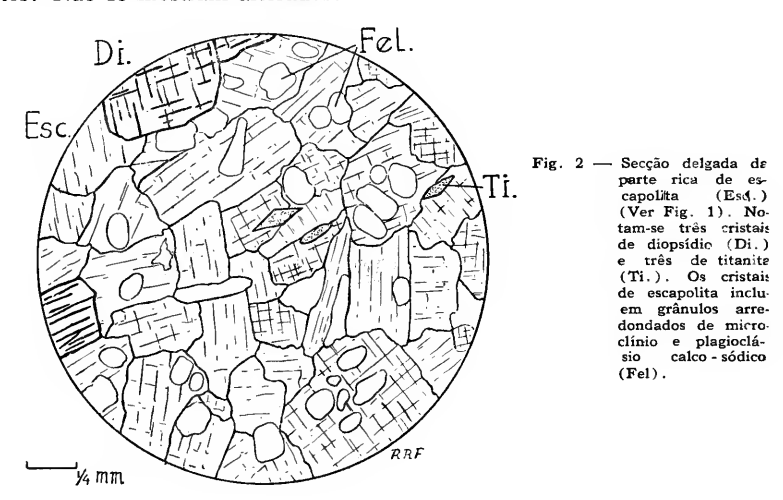
TEXTURA

O exame microscópico revelou ser a rocha constituida predominantemente de escapolita e diopsídio. Seguem, em ordem de importância, microclínio e plagioclásio cálcico (andesina-labradorita). Minerais subordinados são a titanita, a apatita e a β -zoisita, Figs. 2 e 3. As faixas claras já referidas na Fig. 1, correspondem às regiões em que há predominância de diopsídio sôbre a escapolita. Este último mineral forma as faixas cinzentas, de brilho ora vítreo, ora leitoso.

Escapolita — Os índices de refração determinados pelo método de imersão: N_{ω} -1,578, N_{ε} -1,555, definem a variedade como mizzonita (Me_{70} Ma_{30}). Apresenta-se, não raro, em cristais xenomórficos. Inclui, comumente, cristais globulares de microclínio e plagioclásio cálcico (andesina-labradorita), diopsídio e β -zoisita.

Diopsídio — Ocorre, ora em cristais idiomorfos, ora em cristais ripiformes ou grânulos arredondados. É incolor.

Microclínio e plagioclásio cálcico: Estes dois minerais ocorrem, comumente, sob a forma de grânulos de superfícies arredondadas e de maneira geral incluidos ou cercados por escapolita e diopsídio. Cristais maiores, não incluidos na escapolita e de formas irregulares são menos frequentes. Não se mostram alterados.



Titanita, Apatita e β -zoisita: Disseminados pela rocha ,na maior parte idiomorfos, ocorrem esparsos cristais dêsses três minerais.

Análise química da rocha forneceu, os seguintes resultados:

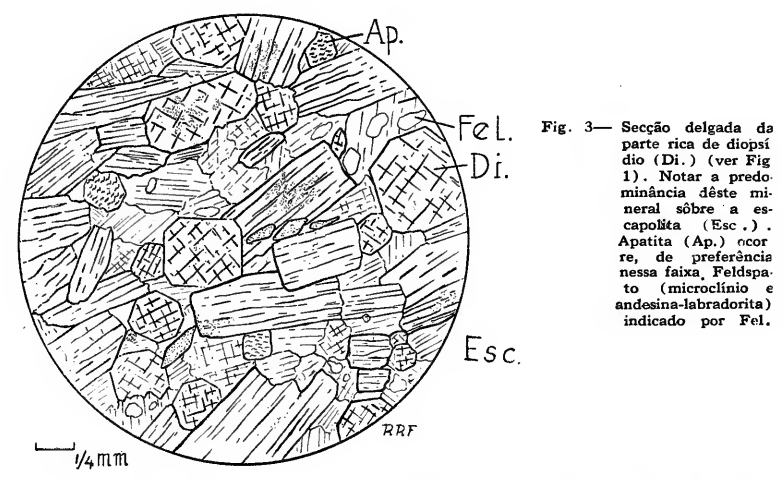
CONSIDERAÇÕES GENÉTICAS

SiO_2		51.0%
$A1_20_3$		17.3
\mathbf{Fe}_20_3	_	0.6
Fe0		0.9
Mg0	_	6.8
Ca0	_	18.3
Na_20	_	2.7
K_20		1.0
H_20 -	_	0.1
$C0_2$		0.1
C1		0.3
TiO_2		traços
SO ₃		ausente
F	_	ausente
P.F.	_	0.7
		99.8%

Analista: Henrique H. Faber

A julgar pelo estudo microscópico, principalmente a textura e associação mineralógica, aventamos a hipótese de se tratar de rocha que sofreu, pelo menos, dois tipos de metamorfismo — um responsável pela formação de diopsídio e feldspatos a partir do calcário impuro e outro que possibilitou a conversão dêstes minerais (principalmente microclínio e plagioclásio) em escapolita. O fenômeno de escapolitização não foi total, como pode ser visto nas Figs. 2 e 3, que mostram os restos de feldspatos e diopsídio, geralmente arredondados, no interior dos cristais de escapolita. β-zoisita parece ter assumido papel similar ao da escapolita, pois também

substitui (em menor escala) o microclínio. Bordos de reação entre diopsídio, feldspato e β -zoisita e a escapolita são frequentes por tôda a rocha (Fig. 8). A falta de inclusões de feldspatos no diopsídio (geralmente idiomorfo), a sua alteração em material microcristalino, permitem deduzir que o diopsídio foi o primeiro mineral a se formar durante o fenômeno metamórfico. Sua alteração pode estar ligada às soluções que deram origem aos feldspatos e também aos agentes fluidos responsáveis pela escapolitização dêstes minerais.



O alto teor de cálcio e magnésio; a presença de cristais de calcita como mineral normal da rocha (Fig. 6), mesmo em quantidade mínima e a associação diopsídio-andesina-labradorita-microclínio fornece elementos para concluir que a rocha que se converteu parcialmente em escapolita é um "skarnito" calco-silicático.

A ampla documentação em gravuras é apresentada como contribuicão para estudo de futuras ocorrências de rechas do mesmo tipo.

BIBLIOGRAFIA

- CATHREIN, A. (1885) Unwandlugen der Granaten in Amphibol-Schipolith nach Granat — Zeitschr. Kryst. Min., vol. 9, p. 378,
- CATHREIN, A. (1885) Unwandlungen der Granaten in Amphibol-Schiefern der Tiroler Centralalpen Zeitschr. Kryst. Min., vol. 10, p. 434.
- ECKERMANN, H. v. (1922) The rocks and contact minerals of the Mansjö Mountain (Academical Dissertation) Geologiska Föreningens, Förhandlingar, vol. 44, n.349, h.3-4 pp. 323-401.
- HARKER, A. (1950) Metamorphism, A study of the transformations of rockmasses: Methuen and Co. Ltd. London, pp. 124-256.

- JUDD, J. W. (1889) On the processes by which a plagioclase feldspar is converted into a scapolite — Mineralog. Mag., vol. 8, p. 186.
- LACROIX, A. (1889) Contributions à l'étude des gneiss à pyroxene et des roches à wernérite Bull. Soc. Min., vol. 12, p. 83
- LACROIX, A. (1891) Sur la transformation des feldspaths en dipyre: Bull. Soc. Min., vol. 14, p. 16.
- LENK, H. (1899) Studien an Gesteinen aus dem mexicanischen Staat Oaxaca Neues Jahrb., vol. 1, ref. 73.
- RAMBERG, H. (1952) The origin of metamorphic and metasomatic rocks University of Chicago Press III., U.S.A. pp. 160-215, 268-269.
- WINCHELL, A. N. e WINCHELL, H. (1951) Elements of Optical Mineralogy, An introduction to microscopic Petrography John Wiley and Sons, Inc., New York, Parte II, 4.ª edição pp. 352-354.

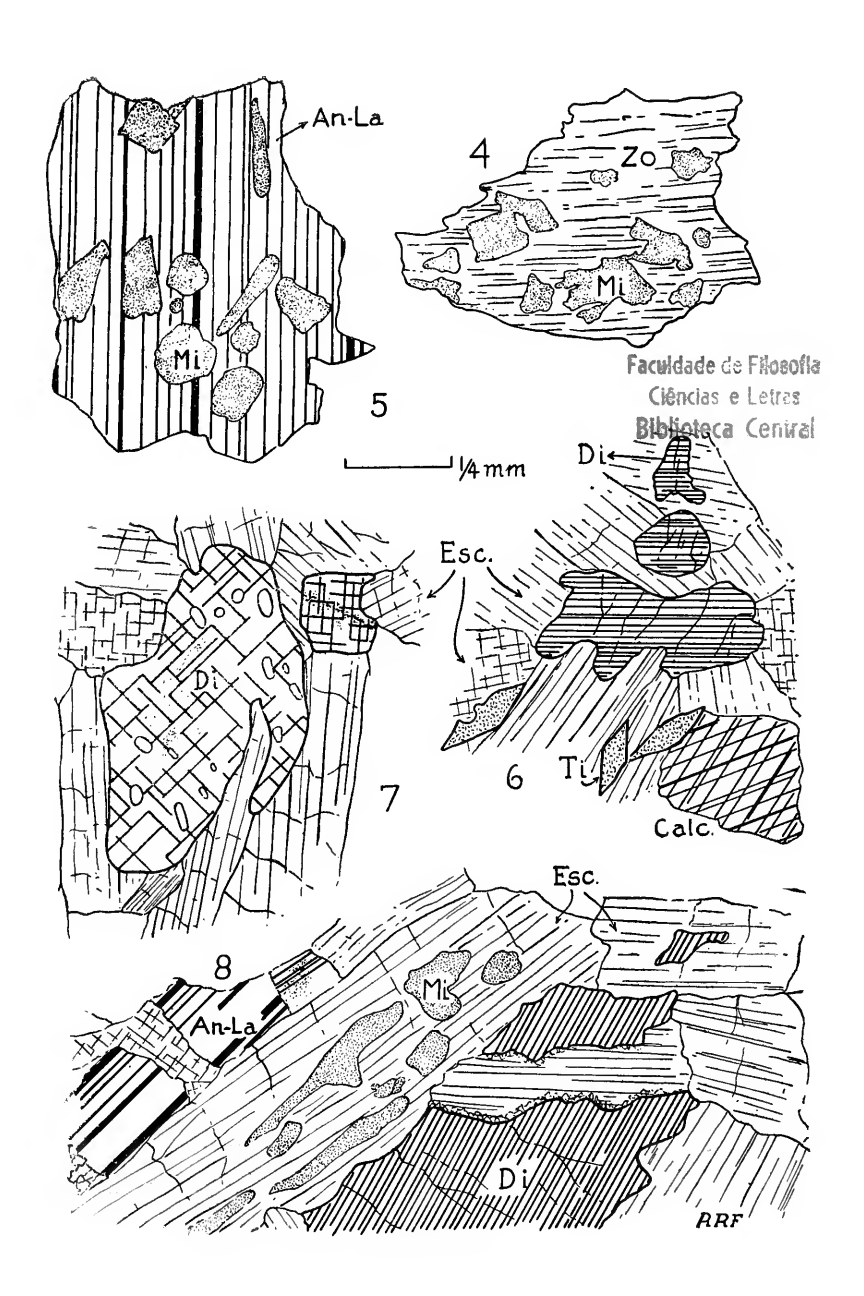
Fig. 4 — Cristal de β -zoisita (Zo) incluindo restos informes e arredondados de microclínio.

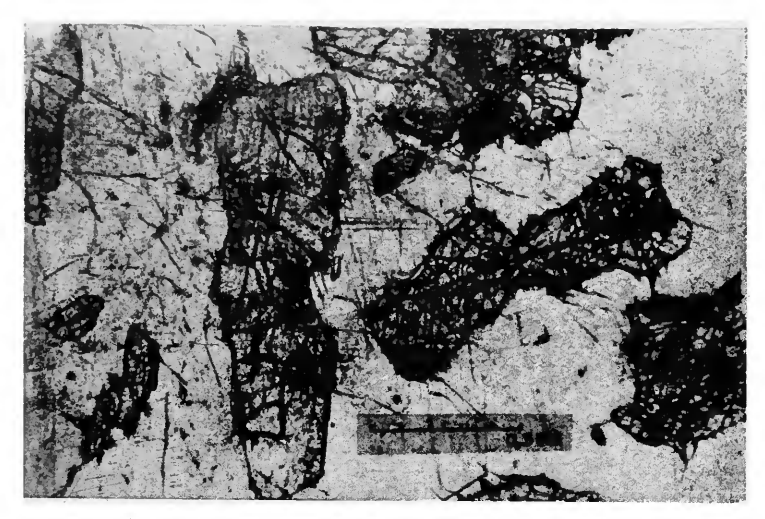
Fig. 5 — Cristal de andesina-labradorita incluindo restos informes e arredondados de microclínio. Tanto em 4, como em 5, tudo parece indicar que a β-zoisita e o feldspato calcosódico se tenham formado, pelo menos em parte, às expensas do microclínio.

Fig. 6 — Exemplo característico da substituição diopsídio por escapolita. É fácil notar, no diopsídio, fenômenos de reabsorção estrangulamento e mesmo separação de suas partes. Nêste desenho podem ser vistos, ainda, três cristais de titanita (quase sempre idiomorfa) e um cristal de calcita.

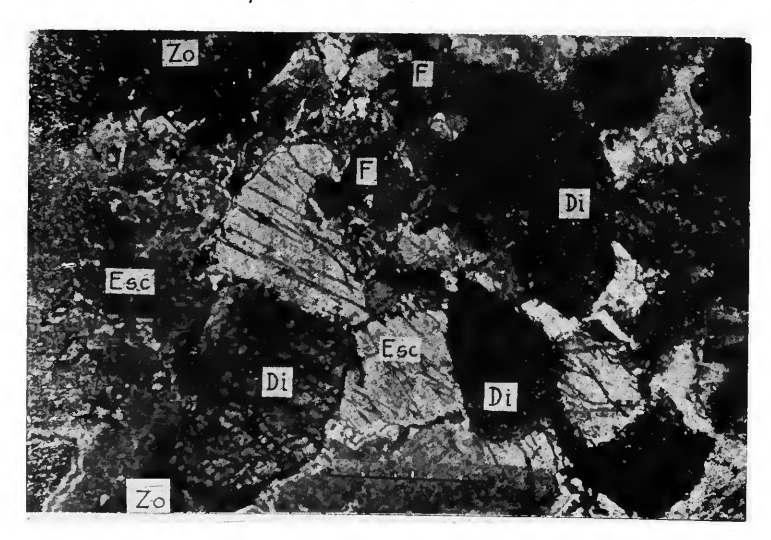
Fig. 7 — Dois cristais de diopsídio exibindo evidentes sinais de reabsorção e substituição pela escapolita.

Fig. 8 — Cristais de diopsídio, microclínio andesina-labradorita em diferentes fases de substituição pela escapolita.





Fotomicrografia 1 — São vistos cristais de diopsídio (relêvo forte) intercalados por cristais de escapolita. Na parte superior aparece um cristal de β-zoisita (o mais escuro de todos). Nícois perafelos.



Fotomicrografia 2 — Notar os seguintes minerais: diopsídio (Di), escapolita (Esc), β -zoisita (Zo), feldspato (F). Nícois cruzados.

LANTANITA DE CURITIBA, PARANÁ

J. MOACYR V. COUTINHO

(Departamento de Mineralogia e Petrografia, Universidade de S. Paulo)

ABSTRACT

Minute amethystine crystals of lanthanite were found covering fissure surfaces of carbonate concretions in sedimentary pleistocene rocks at Curitiba, State of Paraná. The crystals show platy (001) habit, bounded by very narrow (100) (010) (110) and (111) faces. Besides micaceous (001) cleavage,, two other parting (?) directions were also observed. The crystals are invariably twinned according to (110) plane. Four pairs cross groups are common. Optical data are given.

Some amount of rare earths of the cerium group may have been concentrated into ashes through prolonged plant decay. The lanthanite crystals would be the result of extration of lanthanum from ionic soil solutions, fixation on the surfaces of some colloidal body (psilomelane in case) and final crystallization.

Durante excursões efetuadas nos arredores de Curitiba, tivemos oportunidade de colher algumas amostras de rocha sedimentar, onde pudemos verificar a ocorrência de pequenos cristais ametistinos de uma substância não identificavel no campo. Os estudos efetuados revelaram tratar-se de lantanita um mineral de terras raras do grupo do cério; (La,Di, Ce)₂(CO₃)₃.8 H₂O.

Por se tratar de mineral até hoje não mencionado no Brasil, e por apresentar algumas peculiaridades cientificamente interessantes, passamos a descreve-lo.

Jazimento

Os cristais se acham recobrindo uma superfície irregular de fratura em leitos secundários (concrecionais) de calcáreo argilo-arenoso das camadas pleistocênicas de Curitiba (5).

Os calcáreos da bacia de Curitiba caracterizam-se fàcilmente no campo, por se apresentarem em leitos irregulares esbranquiçados, próximos à superfície. São ainda porosos e friaveis, embora menos que os arenitos da mesma formação.

O carbonato nas amostras se encontra sob a forma de calcita finamente granulada, cimentando grãos de origem clástica. Mas também pode a calcita formar cristais maiores e mais ou menos perfeitos em vesículas, ou ainda se recristalizar em granulação grosseira ao longo de fendas e outras aberturas das concreções.

Algumas provas rápidas, químicas e microscópicas, revelaram a existência de 15 a 25% de material detrítico contido nas concreções. A maior parte (± 90%) desse resíduo é formada por quartzo e mineral argiloso, provavelmente montmorilonítico como faz crer sua baixa refringência e alta birrefringência. Há ainda pequena quantidade de feldspato predominando o plagioclásio oligoclásio sobre o feldspato alcalino. Minerais pesados em quantidade mínima, são raramente observados em lâmina. Foram identificados: turmalina, magnetita e anfibolio.

Preenchendo também finas fraturas nas concreções, ocorre abundantemente o manganês.

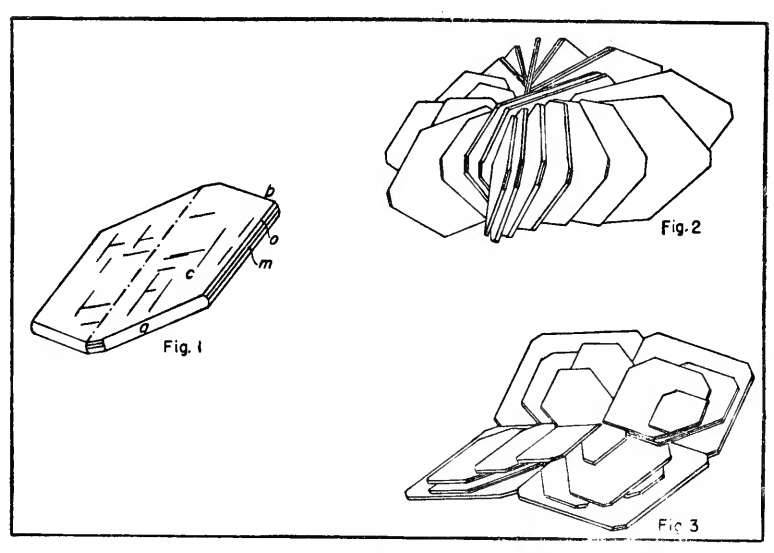
Os cristais de lantanita recobriam uma superfície rugosa e irregular interrompendo os filetes de calcita e manganês, comuns na rocha. Não se observou o mais leve sinal de movimentação ao longo daquela fratura.

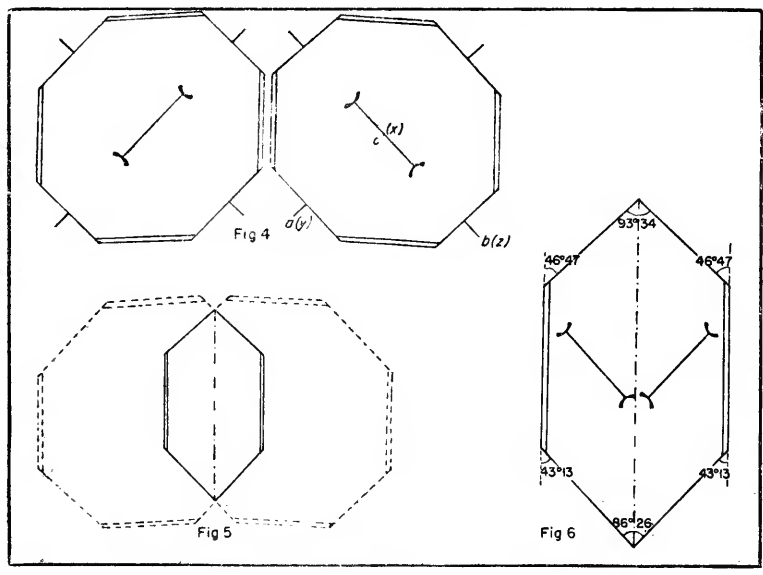
Morfologia

Os cristais de lantanita se agregavam às paredes da fratura, sob a forma de rosetas, esferulitos, agregados cruciformes, grupos irregulares ou ainda, dispostos isoladamente. (figs. 2 e 3)

Os cristais examinados apresentavam-se com dimensões excessivamente pequenas para o estudo goniométrico. O microscópio nos possibilitou confirmar a simetria rômbica bipiramidal dada pelos autores consultados (2 e 4).

Os cristais se apresentavam em lâminas muito finas com apenas uma forma bem desenvolvida; a basal c (001) (fig 1). As outras faces: pinacoidais, a (100) e b (010); prismáticas m (110) e piramidais o (111) são finíssimas, com microns de largura e completam o contorno do cristal, dando-lhe um aspecto rômbico. As maiores placas não excediam as dimensões de:





1 mm de comprimento 0,7 a 1 mm de largura 0,01 a 0,04 mm de espessura

A espessura pode ser até quintuplicada se considerarmos que normalmente são encontrados varios cristais laminares superpostos paralelamente. (fig 3)

Além da clivagem basal micácea, observamos duas outras direções de facil separação (fig. 1), aproximadamente a 90° uma da outra e correspondentes à forma (110). Esta clivagem não se acha consignada nos textos consultados.

Os cristais são invariavelmente geminados em pares (fig 1 e 6). A face de geminação e contacto é também a do prisma (110). Entretanto o fenómeno só pode ser claramente verificado ao microscópio, já que à lupa não se observam ângulos reentrantes. Apenas tênue linha, coincidindo com o maior diametro do polígono, nos faz prever alí um plano de geminação.

O indíviduo isolado (rômbico holoédrico) de pseudo-simetria tetragonal, quando geminado em pares, mostra uma pseuso-simetria rômbica (fig. 6). A explicação do fato não é dificil se admitirmos os indivíduos isolados com cortono octogonal formado pelas faces: (100), (010) e (110), todas fazendo entre sí, ângulos variando pouco de 45°: (100) \angle (110)= 43°13'; (110) \angle (010)= 46°47'. A geminação segundo (110) pode se efetuar de tal modo que, como mostram as figs. 4, 5, e 6, ficam eliminados dois lados de cada octógono individual. Ou então estes podem aparecer em pequena extensão (fig. 1) de modo a não destruir a resultante pseudo-simetria rômbica. A existência de finas facetas piramidais (111) nas posições esperadas no geminado (fig. 6) e as características óticas, confirmam a lei de geminação. Para maior segurança, mediu-se a ligeira variação angular entre os pinacoides (100) e (010) e prismas (110). Esta variação é igual para os dois lados do plano de geminação (fig. 6), que é também de simetria para o geminado.

São comuns os conjuntos de 4 pares de geminados, agrupados em cruz, de tal modo que se restabelesce a pseuso-simetria tetragonal, como mostra a fig. 3. A implantação na rocha se faz sempre pelo vértice obtuso dos pares (ângulo interno de ± 93°½). Assim, verifica-se um desajuste angular de ± 14° entre o primeiro e o quarto par, o que é.

compensado pelo crescimento não coplanar dos cristais, resultando as rosetas caliciformes esquematizadas na fig. 3.

Ótica

Os índices de refração, medidos sôbre as placas cristalinas pelo método de imersão em líquidos, são os seguintes:

$$N_y = 1,589 \ (\pm 0.003)$$

$$N_z = 1,612 (\pm 0,003)$$

Birrefringência das placas:

$$N_z - N_y = 0.023$$

o que indica que a espessura dos cristais isolados, não passa de 20 micra (côres cinza a amarelada ao polariscópio)

 $2 \text{ V} = 60^{\circ}$, medido com a platina universal.

Com os dados; Nz, Nv, e 2V, segue-se por cálculo, que:

 $N_x = 1,514$ e portanto

 $N_z - N_x = 0,098$, birrefringência máxima para a lantanita de Curitiba.

Orientação;

$$a = Y; b = Z; c = X.$$

Plano dos eixos óticos 1 (001) e // (100)

Origem:

A lantanita provém, segundo os autores, da alteração de minerais de cério. Destes, os citados na literatura são a cerita e a alanita, sôbre os quais têm-se encontrado algumas vezes, incrustações de lantanita. É possível que, nesses casos se trate de ação de águas contendo CO₂ sôbre aqueles minerais. Esta reação já foi obtida em laboratório. (4).

Sjögren (8) para a ocorrência de Bethleen, Pennsilvania, considera a hipótese da precipitação em calcáreos do carbonato de terras raras, a partir de soluções sulfatadas provenientes da alteração de veios metalíferos. Alí, a lantanita se acha associada com a calamina em calcáreo decomposto.

A precipitação se faz evidentemente sob condições superficiais, só se tendo encontrado lantanita em sólos ou rocha já alterada (2, 7, 8.).

A ocorrência de Curitiba se encontra a menos de 3 metros da superfície de solo e as concreções calcáreas são posteriores à deposição dos sedimentos pleistocênicos, formando-se muito recentemente e provavelmente quando a rocha já começava a se decompor e desagregar, entrando no regime de formação de solos. Nessas condições, e sendo a lantanita posterior às concreções, não se pode deixar de lhe dar uma idade muito moderna.

A lantanita parece, na ocorrência, geneticamente ligada às camadas calcáreas. Só nos poucos centímetros de espessura das concreções foi ela encontrada. A subtância original que lhe forneceu por alteração as terras raras, permanece incerta quanto à sua natureza e jazimento.

Pede-se pensar em duas fontes originais, ricas em minerais de terras raras: o embasamento cristalino e o próprio sedimento pleistocênico. O embasamento cristalino é composto de gnaisses, e estes podem apresentar certa porcentagem de alanita e principalmente monazita, esparsas como accessórios. Entretanto a monazita é muito dificilmente soluvel sob condições superficiais, formando como se sabe, depositos arenosos em que ela se apresenta como mineral altamente estavel. Além disso, não se encontra concentrada nos gnaisses. Muito menos a alanita.

Pgmatitos cortando o gnaisse e interrompidos na base da bacia de Curitiba poderiam apresentar minerais portadores de terras raras, resolvendo assim o problema. Mas, pelo menos citado na bibliografia, nada consta sôbre a existência de pegmatitos com aquele tipo de mineralização dos arredores de Curitiba.

Pode-se considerar ainda a hipótese de leitos mais ricos em minerais pesados nos próprios sedimentos pleistocênicos de Curitiba. Entretanto o embasamento cristalino na zona de ocorrência está há poucos metros de profundidade, e, nos cortes percorridos não observamos leitos visivelmente enriquecidos em monazita. Fica sempre a hipótese da origem descendente da lantanita, a partir de soluções que atravessassem camadas superiores, já levadas pela erosão.

Rankama e Sahama (7) admitem que o lantânio bem como algumas outras terras raras existentes como traços em sedimentos lateritizados formam soluções iônicas durante o intemperismo e, deixando o solo, infiltram-se pelos sedimentos inferiores indo substituir isomorficamente o calcio de calcáreos subjacentes. A análise espectrográfica do calcareo da ocerrência de Curitiba revela realmente traços de terras raras

especialmente lantânio. Porém o material para análise foi retirado da mesma amostra que continha lantanita individualizada em cristais e não se poderia garantir com absoluta certeza que o material examinado não estivesse contaminado em certo grau. Suposta verdadeira a hipótese da existência de terras raras impurificando metasomáticamente o calcáreo, seria possivel pensar-se em uma ulterior eliminação das mesmas e cristalização de minerais lantaníferos em fendas.

De qualquer modo é preciso sempre admitir um processo de concentração de terras raras no próprio sólo, que é o depósito imediatamente superior às concreções.

Milton, Murata e Knechtel. (6) estudando um outro mineral secundário de terras raras (weinschenkita — YPO₄. 2 H₂O) chegaram à conclusão de ter havido uma extração contínua e demorada de ítrio do solo logo acima da ocorrência. por intermedio do sistema fascicular de plantas como a nogueira e o castanheiro. As terras raras, presentes tanto em minerais detríticos como a xenotima e monazita, como em substituições isomórficas em feldspatos e minerais argilosos, podem, apesar de sua quantidade mínima, sob condições como as mencionadas, se concentrar nas folhas daquelas plantas. Assim, ao passo que os sedi mentos argilosos e seus solos não contém normalmente mais que alguns milésimos porcento de óxidos de terras raras, já as cinzas das folhas de certas plantas chegam a mostrar mais de 1%. Um longo período de quedas de folhas e uma superfície de sólo isenta de erosão são pois, condições favoraveis à uma contínua concentração de terras raras.

Para o caso especial de Curitiba, após um ciclo talvês semelhante, a laterização do solo levaria à formação de soluções ionicas que, ao atravessar o calcáreo subjacente deixariam precipitar o lantânio sob a forma de carbonato. Já se disse que as concreções são cortadas por numerosos filetes de manganês de origem anterior à lantanita. Como diz Milton, Murata e Knechtel, é possivel a adsorção de ions de terras raras nas superfícies livres de uma substância admissivelmente coloidal como é a psilomelana, permitindo assim uma gradual concentração, suficiente para a fixação final de lantânio em um precipitado carbonatado como a lartanita.

Parece-nos este, o mecanismo mais razoavel para explicar a origem daquele raro mineral.

BIBLIOGRAFIA

- BLAKE, W. P. (1853) On the ocurrence of crystallized carbonate of lanthanum. Am. J. Sci. 2a. s. v. XVI n.º 47 pg. 228.
- 2) DANA, E. S. (1920) A System of Mineralogy. pg. 302.
- 3) FORD, W. E. (1932) Dana's Textbook of Mineralogy. pg. 530.
- 4) HINTZE, C. (1930) Handbuch der Mineralogie. pg. 3.495.
- MAACK, R. (1947) Breves noticias sôbre a geologia dos estados Paraná e Santa Catarina. Arquivos de Biologia e Tecnologia do I. B. P. T. Paraná. Vol 2. pg. 145.
- MILTON, CH.; MURATA, K. J.; KNECHTEL, M. M. (1944) Weinschenkite, yttrium phosphate dihydrate, from Virginia. Am. Min. v. 29, pg. 92.
- 7) RANKAMA, K. e SAHAMA TH. G. (1950) Geochemistry. Chicago.
- SJOGREN, H. J. (1912) Doelter, Handbuch der Mineralchemie. pg. 525.